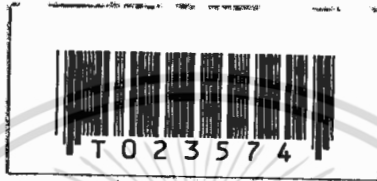


# สำนักหอสมุดกลาง พระจอมเกล้าลาดกระบัง

การศึกษาคุณลักษณะแรงดันเบรคความไวในก๊าซที่กำหนดบางชนิดโดยการปรับแรงดันและ  
ระยะเก็บ

THE STUDY OF BREAKDOWN VOLTAGE CHARACTERISTICS IN SOME  
SPECIFIED GASES BY VARYING PRESSURE AND GAP DISTANCE



นายณรงค์ชัย สุ่มงาม

MR. NARONGCHAI SUMNGARM

วิทยานิพนธ์  
ห้ามนำออกนอกห้องสมุด

วิทยานิพนธ์นี้เป็นส่วนหนึ่งของการศึกษาตามหลักสูตรปริญญาวิศวกรรมศาสตรมหาบัณฑิต

สาขาวิชาวิศวกรรมไฟฟ้า

บัณฑิตวิทยาลัย

สถาบันเทคโนโลยีพระจอมเกล้าเจ้าคุณทหารลาดกระบัง

พ.ศ. 2538

ISBN 974-621-284-2

ลิขสิทธิ์ของบัณฑิตวิทยาลัย สถาบันเทคโนโลยีพระจอมเกล้าเจ้าคุณทหารลาดกระบัง

เอกสารนี้เป็นเอกสารที่สงวนไว้สำหรับการใช้งานเพื่อการศึกษาเท่านั้น ไม่อนุญาตให้นำไปใช้ประโยชน์ด้านการค้า

ไม่ว่ากรณีใดๆทั้งสิ้น อีกทั้งห้ามมิให้ดัดแปลงเนื้อหา และต้องอ้างอิงถึงเจ้าของลิขสิทธิ์ 23574 ใช้

เลขที่.....  
เลขทะเบียน.....  
วัน, เดือน, ปี..... 6 ก.ค. 2538

**THE STUDY OF BREAKDOWN VOLTAGE CHARACTERISTICS IN SOME  
SPECIFIED GASES BY VARYING PRESSURE AND GAP DISTANCE**



**A THESIS SUBMITTED IN PARTIAL FULFILLMENT OF THE REQUIREMENT  
FOR THE DEGREE  
MASTER OF ENGINEERING IN ELECTRICAL ENGINEERING  
GRADUATE SCHOOL  
KING MONGKUT'S INSTITUTE OF TECHNOLOGY LADKRABANG  
1995**

**ISBN 974-621-284-2**

เอกสารนี้เป็นเอกสารที่สงวนไว้สำหรับการใช้งานเพื่อการศึกษาเท่านั้น ไม่อนุญาตให้นำไปใช้ประโยชน์ด้านการค้า  
ไม่ว่ากรณีใดๆทั้งสิ้น อีกทั้งห้ามมิให้ตัดแปลงเนื้อหา และต้องอ้างอิงถึงเจ้าของเอกสารทุกครั้งที่มีการนำไปใช้

หัวข้อวิทยานิพนธ์

การศึกษาคุณลักษณะแรงดันเบรคดาวน์ในก๊าซที่กำหนด  
บางชนิดโดยการปรับแรงดันและระยะเก็บ

นักศึกษา

นายณรงค์ชัย สุ่มงาม

อาจารย์ผู้ควบคุมวิทยานิพนธ์

รศ. ดร. นิพนธ์ สุขุม

อาจารย์ผู้ควบคุมวิทยานิพนธ์ร่วม

รศ. ศุภี บรรจงจิตร

ระดับการศึกษา

วิศวกรรมศาสตรมหาบัณฑิต สาขาวิศวกรรมไฟฟ้า

ภาควิชา

วิศวกรรมไฟฟ้า สถาบันเทคโนโลยีพระจอมเกล้า

เจ้าคุณทหารลาดกระบัง

พ.ศ.

2538

### บทคัดย่อ

ในห้องปฏิบัติการ (Laboratory) ที่ภาควิชาวิศวกรรมไฟฟ้า สถาบันเทคโนโลยีพระจอมเกล้าเจ้าคุณทหารลาดกระบัง ในขณะนี้มีการศึกษาการเบรคดาวน์ระหว่างอิเล็กโตรดรูปทรงต่าง ๆ โดยใช้  
อากาศที่ความดัน 1 บรรยากาศโดยไม่มี การเปลี่ยนแปลงความดัน แต่ในการศึกษานี้จะศึกษาแรงดัน  
เบรคดาวน์ในก๊าซบางชนิดคือ ก๊าซฟร็อน ก๊าซไนโตรเจน ก๊าซคาร์บอนไดออกไซด์ ก๊าซฮีเลียม  
และก๊าซอาร์กอน ซึ่งเป็นการศึกษาแรงดันเบรคดาวน์ที่เป็นฟังก์ชันของ  $pd$  ในสนามไฟฟ้าสม่ำเสมอ  
( $p$  เป็นแรงดันหรือความดัน และ  $d$  เป็นระยะเก็บหรือระยะห่างระหว่างอิเล็กโตรด) โดยมีการ  
เปลี่ยนแปลงความดันและระยะห่างระหว่างอิเล็กโตรด ทำให้สามารถทำการทดลองที่  $pd$  ต่ำ ๆ ได้

Thesis Title	The Study of Breakdown Voltage Characteristics in Some Specified Gases by Varying Pressure and Distance
Student	Mr. Nrongchai Sumngarm
Thesis Advisor	Assoc. Prof. Dr. Niphon Sukhum
Thesis Co-advisor	Assoc. Prof. Sulee Bunjongjit
Level of Study	Master of Engineering in Electrical Engineering
Department	Electrical Engineering King Mongkut 's Institute of Technology Ladkrabang
year	1995

Abstract

In the laboratory at Electrical Engineering Department, King Mongkut's Institute of Technology Ladkrabang, there have been studies of breakdown voltage between electrodes of various shapes in air. The pressure used has been invariably one atmosphere. This thesis concerns with the studies of uniform field breakdown in freeon, nitrogen, carbon dioxide, helium and argon by plotting breakdown voltage against  $pd$ . ( $p$  is the pressure and  $d$  is the gapsetting) Because of lower pressures used we could obtain experimental points at low  $pd$ ' s

## กิตติกรรมประกาศ

ข้าพเจ้าขอขอบคุณ รศ.ดร.นิพนธ์ สุขุม และ รศ.ศุติ บรรจงจิตร เป็นอย่างมากที่ให้คำแนะนำปรึกษาเกี่ยวกับ วิธีการทดลอง การใช้เครื่องมือ อุปกรณ์ และทฤษฎีต่าง ๆ ที่เกี่ยวข้องกับการนำไฟฟ้าของก๊าซ ขอขอบคุณ ผศ. อนุพงษ์ สรงประภา ที่ให้คำแนะนำเกี่ยวกับระบบสุญญากาศและเครื่องมือที่ใช้วัดค่าความเป็นสุญญากาศ และขอขอบคุณ อาจารย์นิมิต บุญภิรมย์ ที่ให้คำปรึกษาในการทำวิจัย

1 ก.พ. 2538

ณรงค์ชัย สุ่มงาม



เอกสารนี้เป็นเอกสารที่สงวนไว้สำหรับการใช้งานเพื่อการศึกษาเท่านั้น ไม่อนุญาตให้นำไปใช้ประโยชน์ด้านการค้า  
ไม่ว่ากรณีใดๆทั้งสิ้น อีกทั้งห้ามมิให้ดัดแปลงเนื้อหา และต้องอ้างอิงถึงเจ้าของเอกสารทุกครั้งที่มีการนำไปใช้

## สารบัญ

	หน้า
บทคัดย่อภาษาไทย	I
บทคัดย่อภาษาอังกฤษ	II
กิตติกรรมประกาศ	III
สารบัญ	IV
สารบัญตาราง	VII
สารบัญภาพ	X
<b>บทที่</b>	
1 บทนำ	1
1.1 กล่าวนำ	1
1.2 รายละเอียดของวิทยานิพนธ์	2
<b>บทที่</b>	
2 ทฤษฎีการชนกันของอะตอมและ โมเลกุล และกระบวนการต่าง ๆ ที่ทำให้เกิดการเบรคดาวนในก๊าซในสนามไฟฟ้าสม่ำเสมอ	3
2.1 การชนกันของอะตอมและ โมเลกุล	3
2.1.1 ทฤษฎีจลน์ศาสตร์ของก๊าซ	3
2.1.2 การเคลื่อนที่ของอิเล็กตรอนในสนามไฟฟ้าแบบสม่ำเสมอในสุญญากาศเมื่อความเร็วต้นเป็นศูนย์	7
2.1.3 การนำไฟฟ้าในก๊าซ	10
2.1.3.1 โฟโตไอไอไนเซชัน	13
2.2 กระบวนการต่าง ๆ ที่ทำให้เกิดการเบรคดาวนในก๊าซในสนามไฟฟ้าสม่ำเสมอ	14
2.2.1 ทาวน์เซนตดีส์ซาร์จ	15
2.2.2 เงื่อนไขการเกิดการเบรคดาวนของทาวน์เซนต	20
2.2.3 ทฤษฎีสตรีมเมอร์	22
<b>บทที่</b>	
3 อุปกรณ์แบบ Steady - State ของ Townsend	26
3.1 จุดประสงค์ของการทดลองศึกษา	26
3.2 มูลฐานของวิธี	26

## สารบัญ

	หน้า
3.2.1 การคำนวณหาแรงดันเบรคความถี่ในก๊าซ	26
3.3 ไอโอไนเซชันแชนเบอร์	29
3.3.1 เกจวัดความดันแบบเบอร์คอน	30
3.3.2 ปีม์สูญญากาศ	31
3.3.3 การพัฒนาและการออกแบบฮาโนคและกาโถด	31
3.3.4 การวัดความต้านทานรั่ว	47
3.3.5 การทดสอบการวัดความดันในไอโอไนเซชันแชนเบอร์	47
3.3.6 หน่วยวัดสูญญากาศ	50
3.3.7 การวัดแรงดันในช่องว่างระหว่างอิเล็กโตรดทรงกลม	51
<b>บทที่</b>	
4 การทดลองหาแรงดันที่เริ่มเกิดการเบรคความถี่ และความผิดพลาดที่อาจเกิดขึ้น	54
4.1 การทดลองหาแรงดันที่เริ่มเกิดการเบรคความถี่	54
4.1.1 คุณสมบัติทางกายภาพและทางเคมีของก๊าซที่ใช้ในการทดลอง	54
4.2 ความผิดพลาดที่อาจเกิดขึ้น	55
4.2.1 ความผิดพลาดเนื่องจากโวลเตจ	55
4.2.2 ความผิดพลาดเนื่องจากความดัน	55
4.2.3 ความผิดพลาดเนื่องจากการตั้งระยะห่างระหว่างอิเล็กโตรด	55
4.2.4 ความผิดพลาดเนื่องจากความไม่สม่ำเสมอของสนามไฟฟ้า	55
<b>บทที่</b>	
5 ผลการทดลองในก๊าซสามัญ	57
5.1 ผลการทดลองในก๊าซฟร็อน	57
5.2 ผลการทดลองในก๊าซไนโตรเจน	61
5.3 ผลการทดลองในก๊าซคาร์บอนไดออกไซด์	65
5.4 ผลการทดลองในก๊าซซีเลียม	69
5.5 ผลการทดลองในก๊าซอาร์กอน	73
5.6 การเปรียบเทียบผลการทดลองในก๊าซสามัญกับผลการทดลองในอากาศ	77
5.7 การเปรียบเทียบผลการทดลองในก๊าซไนโตรเจนกับผลการทดลองที่ผ่านมา	79

## สารบัญ

	หน้า
5.8 การเปรียบเทียบผลการทดลองในก๊าซก๊าซฮีเลียมกับผลการคำนวณ บทที่	83
6 บทสรุปและวิจารณ์	85
เอกสารอ้างอิง	92
ภาคผนวก ก	93
ภาคผนวก ข	102
ประวัติผู้เขียน	132



## สารบัญตาราง

	หน้า	
ตารางที่ 2.1	แสดงระดับพลังงานดิสโซซิเอชันของก๊าซชนิดต่าง ๆ	4
ตารางที่ 2.2	แสดงค่าระยะอิสระเฉลี่ยของก๊าซชนิดต่าง ๆ ที่ความดัน 1.mmHg ที่อุณหภูมิ 25°C	7
ตารางที่ 2.3	แสดงค่าไอโอไนเซชันโพเทนเชียลของก๊าซชนิดต่าง ๆ	11
ตารางที่ 2.4	แสดงค่าเวอร์ฟิงก์ชันของโลหะบางชนิดที่ได้จากการวัดโดยวิธีการโฟโตมิสชันและเทอร์โมไอออไนสิชัน	21
ตารางที่ 3.1	แสดงค่าคงตัว A และ B ของก๊าซชนิดต่าง ๆ	28
ตารางที่ 3.2	แสดงการหาค่า X, Y โดยสมมติ $\Psi = 0.2\pi$	33
ตารางที่ 3.3	แสดงการหาค่า X, Y โดยสมมติ $\Psi = 0.4\pi$	33
ตารางที่ 3.4	แสดงการหาค่า X, Y โดยสมมติ $\Psi = 0.5\pi$	34
ตารางที่ 3.5	แสดงการหาค่า X, Y โดยสมมติ $\Psi = 0.6\pi$	34
ตารางที่ 3.6	แสดงการหาค่า X, Y โดยสมมติ $\Psi = 0.67\pi$	34
ตารางที่ 3.7	แสดงการหาค่า X, Y โดยสมมติ $\Psi = 0.8\pi$	35
ตารางที่ 3.8	ตารางแสดงการหา Diameter ของจุดต่าง ๆ บน Profile ที่ออกแบบ	45
ตารางที่ 3.9	แสดงค่าความดันภายในแชมเบอร์กับเวลาของการปั๊มเป็นวินาที	48
ตารางที่ 3.10	แสดงการเปรียบเทียบหน่วยและการเปลี่ยนหน่วยความดัน	50
ตารางที่ 3.11	ตารางแสดงระยะห่างระหว่างอิเล็กโตรดที่เป็นทรงกลมกับแรงดันเบรคดาวน์ (เป็น kV) ที่วัดได้ในอากาศที่อุณหภูมิ 30°C	51
ตารางที่ 3.12	ตารางแสดงระยะห่างระหว่างอิเล็กโตรดที่เป็นทรงกลมกับแรงดันเบรคดาวน์ (เป็น kV) ตามมาตรฐาน IEC 52 ที่ความดันบรรยากาศที่อุณหภูมิ 20°C	52
ตารางที่ 5.1.1	แสดงระยะห่างระหว่างอิเล็กโตรดกับแรงดันที่เริ่มเกิดการเบรคดาวน์ (เป็น kV) ที่วัดได้ในก๊าซฟรอนที่ความดัน (P) ต่าง ๆ	58
ตารางที่ 5.2.1	แสดงระยะห่างระหว่างอิเล็กโตรดกับแรงดันที่เริ่มเกิดการ	

## สารบัญตาราง

	หน้า
เบรคดาวน (เป็น kV) ที่วัดได้ในก๊าซไนโตรเจนที่ ความดัน (P) ต่าง ๆ	62
ตารางที่ 5.3.1 แสดงระยะห่างระหว่างอิเล็กโตรดกับแรงดันที่เริ่มเกิดการ เบรคดาวน (เป็น kV) ที่วัดได้ในก๊าซคาร์บอนไดออกไซด์ ที่ความดัน (P) ต่าง ๆ	66
ตารางที่ 5.4.1 แสดงระยะห่างระหว่างอิเล็กโตรดกับแรงดันที่เริ่มเกิดการ เบรคดาวน (เป็น kV) ที่วัดได้ในก๊าซฮีเลียมที่ความ ดัน (P) ต่าง ๆ	70
ตารางที่ 5.5.1 แสดงระยะห่างระหว่างอิเล็กโตรดกับแรงดันที่เริ่มเกิดการ เบรคดาวน (เป็น kV) ที่วัดได้ในก๊าซอาร์กอนที่ความ ดัน (P) ต่าง ๆ	74
ตารางที่ 5.6.1 แสดงระยะห่างระหว่างอิเล็กโตรดกับแรงดันที่เริ่มเกิด การเบรคดาวน (เป็น kV) ที่วัดได้ในอากาศที่ความ ดัน (P) ต่าง ๆ	77
ตารางที่ 5.6.2 ตารางแสดงการเปรียบเทียบผลการทดลองของก๊าซสามัญ กับผลการทดลองของอากาศที่ความดันเท่ากับ 100 Torr และมีระยะห่างระหว่างอิเล็กโตรดเท่ากับ 1.80 และ 3.00 cm.	78
ตารางที่ 5.7.1 ตารางแสดงการเปรียบเทียบแรงดันที่เริ่มเกิดการเบรคดาวน ในก๊าซไนโตรเจนที่ได้ในงานวิจัยนี้กับในงานวิจัยที่ผ่านมาที่ pd เท่ากับ 60, 180 และ 360 Torr.cm	82
ตารางที่ 5.8.1 ตารางแสดงระยะห่างระหว่างอิเล็กโตรดกับแรงดันที่เกิด การเบรคดาวน (เป็น kV) ที่ได้จากการคำนวณในก๊าซฮีเลียม ที่ความดัน (เป็น Torr) ต่าง ๆ	83
ตารางที่ 6.1 ตารางแสดงการเปรียบเทียบแรงดันที่เริ่มเกิดการเบรคดาวน ในก๊าซฟรอน ก๊าซไนโตรเจน ก๊าซคาร์บอนไดออกไซด์ ก๊าซฮีเลียม และก๊าซอาร์กอนที่ pd เท่ากับ 60, 180 และ 360 Torr.cm	86

## สารบัญตาราง

	หน้า
ตารางที่ 6.2 ตารางแสดงการเปรียบเทียบแรงดันที่เริ่มเกิดการเบรคควาน์ ในก๊าซสามัญทั้ง 5 ชนิดที่ใช้ในการศึกษากับก๊าซ SF <sub>6</sub> ที่ pd ต่าง ๆ กัน	88



## สารบัญภาพ

	หน้า
รูปที่ 2.1 รูปแสดงการเคลื่อนที่อย่างไม่เป็นระเบียบของ โมเลกุล	4
รูปที่ 2.2 แสดงการชนกันแบบยืดหยุ่นระหว่าง โมเลกุลของก๊าซสองชนิดที่มีรัศมี $r_1$ และ $r_2$	5
รูปที่ 2.3 แสดงรูปอิลেকโทรดที่เป็นแบบ Rogowski ที่วางขนานกัน	8
รูปที่ 2.4 แสดงวิธีการชนแบบต่าง ๆ ของอิลেকตรอนกับอะตอมและอะตอมกับ อะตอม	12
รูปที่ 2.5 แสดงกระบวนการต่าง ๆ ที่เกิดขึ้นในก๊าซและทำให้ก๊าซเปลี่ยน สภาพจากฉนวนเป็นตัวนำไฟฟ้า	14
รูปที่ 2.6 แสดงกระบวนการดีสชาร์จของทาวน์เซนด์	15
รูปที่ 2.7 แสดงค่าที่วัดได้ของ $\alpha/P$ ที่เป็นฟังก์ชันของ $E/P$ ในก๊าซชนิดต่างๆ	19
รูปที่ 2.8 แสดงวิธีการเกิดการเบรคดาวน์แบบสตรีมเมอร์	23
รูปที่ 3.1 รูปแสดงโครงสร้างของเบอร์คอนเกจรูปตัวซี	30
รูปที่ 3.2 รูปแสดง โครงสร้างของโรตารีเวนปัม	31
รูปที่ 3.3 รูปแสดงการกำหนดตำแหน่งระหว่าง Finite Plane กับ Infinite Plane	35
รูปที่ 3.4 รูปแสดงเส้นแรงไฟฟ้าและเส้นศักย์เท่าที่ขอบของ Finite Plane	36
รูปที่ 3.5 รูปแสดงความสัมพันธ์ของ Stoerk	37
รูปที่ 3.6 รูปแสดงการหา Surface Profile ของ Rogowski Electrode	38
รูปที่ 3.7 แสดงรูป Profile ของอิลেকโทรดที่ออกแบบ	46
รูปที่ 3.8 กราฟแสดงความดันในแชมเบอร์กับเวลาของการปั๊มเป็นวินาที	49
รูปที่ 3.9 กราฟแสดงการเปรียบเทียบแรงดันที่เริ่มเกิดการเบรคดาวน์ในอากาศ ที่ไต้หวันวิจัยนี้ กับแรงดันที่เริ่มเกิดการเบรคดาวน์ในอากาศ ตามมาตรฐาน IEC 52	53
รูปที่ 5.1.1 กราฟแสดงแรงดันที่เริ่มเกิดการเบรคดาวน์ที่เป็นฟังก์ชันของ ระยะห่างระหว่างอิลেকโทรด ( $d$ ) ของก๊าซฟร็อน	59
รูปที่ 5.1.2 กราฟแสดงแรงดันที่เริ่มเกิดการเบรคดาวน์ที่เป็นฟังก์ชันของ ผลคูณของความดันกับระยะห่างระหว่างอิลেকโทรด ( $pd$ )	

## สารบัญภาพ

	หน้า
-ของก๊าซฟรีออน	60
รูปที่ 5.2.1 กราฟแสดงแรงดันที่เริ่มเกิดการเบรคดาวน์ที่เป็นฟังก์ชันของ ระยะห่างระหว่างอิเล็กโตรด (d) ของก๊าซไนโตรเจน	63
รูปที่ 5.2.2 กราฟแสดงแรงดันที่เริ่มเกิดการเบรคดาวน์ที่เป็นฟังก์ชันของ ผลคูณของความดันกับระยะห่างระหว่างอิเล็กโตรด (pd) ของก๊าซไนโตรเจน	64
รูปที่ 5.3.1 กราฟแสดงแรงดันที่เริ่มเกิดการเบรคดาวน์ที่เป็นฟังก์ชันของ ระยะห่างระหว่างอิเล็กโตรด (d) ของก๊าซคาร์บอนไดออกไซด์	67
รูปที่ 5.3.2 กราฟแสดงแรงดันที่เริ่มเกิดการเบรคดาวน์ที่เป็นฟังก์ชันของ ผลคูณของความดันกับระยะห่างระหว่างอิเล็กโตรด (pd) ของก๊าซคาร์บอนไดออกไซด์	68
รูปที่ 5.4.1 กราฟแสดงแรงดันที่เริ่มเกิดการเบรคดาวน์ที่เป็นฟังก์ชันของ ระยะห่างระหว่างอิเล็กโตรด (d) ของก๊าซฮีเลียม	71
รูปที่ 5.4.2 กราฟแสดงแรงดันที่เริ่มเกิดการเบรคดาวน์ที่เป็นฟังก์ชันของ ผลคูณของความดันกับระยะห่างระหว่างอิเล็กโตรด (pd) ของก๊าซฮีเลียม	72
รูปที่ 5.5.1 กราฟแสดงแรงดันที่เริ่มเกิดการเบรคดาวน์ที่เป็นฟังก์ชันของ ระยะห่างระหว่างอิเล็กโตรด (d) ของก๊าซอาร์กอน	75
รูปที่ 5.5.2 กราฟแสดงแรงดันที่เริ่มเกิดการเบรคดาวน์ที่เป็นฟังก์ชันของ ผลคูณของความดันกับระยะห่างระหว่างอิเล็กโตรด (pd) ของก๊าซอาร์กอน	76
รูปที่ 5.7.1 กราฟแสดงค่าแรงดันเบรคดาวน์ (เป็น kV) ที่ pd ต่าง ๆ ที่ได้ในงานวิจัยนี้ ในก๊าซไนโตรเจน	80
รูปที่ 5.7.2 กราฟแสดงค่าแรงดันเบรคดาวน์ (เป็น kV) ที่ pd ต่าง ๆ ในก๊าซไนโตรเจน ในงานวิจัยที่ผ่านมา	81
รูปที่ 5.8.1 กราฟแสดงการเปรียบเทียบแรงดันที่เริ่มเกิดการเบรคดาวน์ที่เป็น ฟังก์ชันของระยะห่างระหว่างอิเล็กโตรด (d) ของก๊าซฮีเลียมที่ ได้จากการคำนวณและการทดลอง	84

# บทที่ 1

## บทนำ

### 1.1 กล่าวนำ

ในปัจจุบันนี้ก๊าซได้ถูกใช้เป็นฉนวนชนิดหนึ่ง ที่มีความสำคัญทางด้านวิศวกรรมไฟฟ้าแรงสูง ซึ่งก๊าซจะถูกนำมาใช้เป็นฉนวนในอุปกรณ์ไฟฟ้าแรงสูง และใช้ตัวอาร์คระหว่างขั้วอิเล็กโทรด (Electrode) ซึ่งจะมีความสำคัญมากในอุปกรณ์ไฟฟ้าแรงสูงที่ทำงานโดยการเคลื่อนที่ของขั้วอิเล็กโทรด เพราะการอาร์คจะทำให้เกิดความร้อนที่บริเวณผิวของขั้วอิเล็กโทรดสูง และจะทำให้ขั้วอิเล็กโทรดสึกกร่อนได้เมื่อเกิดการอาร์คบ่อย ๆ คุณสมบัติที่คืออย่างหนึ่งของก๊าซคือ ขณะเกิดการอาร์คก๊าซจะเสียสภาพการเป็นฉนวนไปชั่วขณะและเมื่ออาร์คนั้นดับลง ก๊าซจะกลับคืนสู่สภาพการเป็นฉนวนตามเดิม ซึ่งการเสียสภาพการเป็นฉนวนของก๊าซนั้นจะเป็นแบบไม่ถาวร

ที่ความดันบรรยากาศ (1 atm) อากาศจะเปลี่ยนสภาพจากการเป็นฉนวนไฟฟ้าไปเป็นตัวนำไฟฟ้าได้ง่าย เมื่อแรงดันไฟฟ้าที่ตกคร่อมขั้วอิเล็กโทรดสูงขึ้นดังนั้นจึงมีความจำเป็นจะต้องศึกษาคุณสมบัติของก๊าซชนิดต่าง ๆ ในการเป็นฉนวนไฟฟ้า ในการศึกษานี้จะมีการเปลี่ยนระยะห่างระหว่างอิเล็กโทรดและความดันที่ใช้

ในวิทยานิพนธ์ฉบับนี้ จะศึกษาคุณสมบัติในการเป็นฉนวนไฟฟ้า ของก๊าซฟร็อน ( $\text{CCl}_2\text{F}_2$ ) ก๊าซไนโตรเจน ( $\text{N}_2$ ) ก๊าซคาร์บอนไดออกไซด์ ( $\text{CO}_2$ ) ก๊าซฮีเลียม ( $\text{He}$ ) และ ก๊าซอาร์กอน ( $\text{Ar}$ ) ว่า ก๊าซชนิดใดมีคุณสมบัติในการเป็นฉนวนไฟฟ้าที่ดี ในการทดลองจะมีการเปลี่ยนระยะห่างระหว่างอิเล็กโทรดและความดันที่ใช้ ซึ่งจะศึกษาว่าปัจจัยทั้งสองนี้มีผลอย่างไรกับก๊าซชนิดต่าง ๆ ที่นำมาศึกษา

## 1.2 รายละเอียดของวิทยานิพนธ์

ในวิทยานิพนธ์ฉบับนี้จะแบ่งออกเป็น 6 บท ในแต่ละบทจะมีรายละเอียดดังนี้

- บทที่ 1 เป็นบทนำจะกล่าวถึงประโยชน์ในการศึกษาคุณสมบัติในการเป็นฉนวนไฟฟ้าของ ก๊าซ
- บทที่ 2 เป็นทฤษฎีเกี่ยวกับการชนกันของอะตอม โมเลกุล ซึ่งการชนกันนี้จะนำไปสู่การเปลี่ยนแปลงสภาพจากฉนวนไปเป็นตัวนำไฟฟ้าและกระบวนการต่าง ๆ ที่ทำให้เกิดการนำไฟฟ้า
- บทที่ 3 เป็นมูลฐานของวิธีและอุปกรณ์ที่ใช้ทดลอง
- บทที่ 4 เป็นวิธีการทดลองหาค่าแรงดันเบรกดาวน์ในก๊าซชนิดต่าง ๆ และความผิดพลาดที่อาจเกิดขึ้น
- บทที่ 5 เป็นผลการทดลองในก๊าซชนิดต่าง ๆ และนำผลการทดลองที่ได้มาพล็อตกราฟ
- บทที่ 6 เป็นบทสรุปและวิจารณ์ผลการทดลองที่ได้



## บทที่ 2

### ทฤษฎีการชนกันของอะตอมและโมเลกุล และกระบวนการต่าง ๆ ที่ทำให้เกิดการ เบรคดาวไนท์ในก๊าซในสนามสม่ำเสมอ

#### 2.1 การชนกันของอะตอมและโมเลกุล

##### 2.1.1 ทฤษฎีจลน์ศาสตร์ของก๊าซ [1]

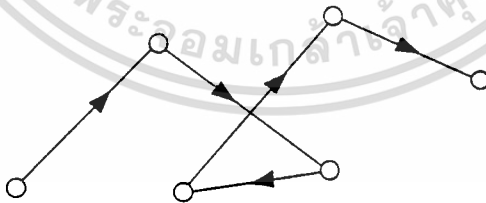
ก๊าซประกอบด้วยอะตอม หรือโมเลกุลเป็นจำนวนมาก ซึ่งเคลื่อนที่อย่างไม่เป็นระเบียบอยู่ตลอดเวลาจึงเกิดการชนกันเองหรือชนกับผนังของภาชนะที่เก็บได้ อะตอมหรือโมเลกุลแต่ละตัวเราอาจจะเปรียบให้เป็นรูปทรงกลมเล็ก ๆ ซึ่งเมื่อชนกันเองหรือชนกับผนังของภาชนะที่เก็บจะสะท้อนออกเมื่ออะตอมของก๊าซหรือโมเลกุลของก๊าซชนกัน จะมีการถ่ายโมเมนตัมและพลังงานจลน์ให้แก่กันโดยไม่เกิดการเอ็กซ์ไซเทชัน (Excitation) ไอโอไนเซชัน (Ionization) หรือ ดิสโซซิเอชัน (Dissociation) เรียกการชนแบบนี้ว่าการชนแบบยืดหยุ่น (Elastic) โดยปกติอะตอมหรือโมเลกุลของก๊าซภายในภาชนะจะอยู่กันอย่างไม่เป็นระเบียบ แต่ความหนาแน่นโดยเฉลี่ยของอะตอมหรือโมเลกุลที่จุดต่าง ๆ จะเท่ากัน โมเลกุลของก๊าซอาจประกอบขึ้นด้วยอะตอมหลาย ๆ อะตอมเช่น โมเลกุลของก๊าซไนโตรเจน ( $N_2$ ) ซึ่งประกอบขึ้นด้วย 2 อะตอม หรือโมเลกุลของก๊าซ คาร์บอนไดออกไซด์ ( $CO_2$ ) ที่ประกอบขึ้นด้วย 3 อะตอม ในส่วนของก๊าซที่โมเลกุลมีอะตอมเดียวได้แก่ก๊าซอาร์กอน (Ar) และก๊าซฮีเลียม (He) เป็นต้น เมื่ออุณหภูมิของก๊าซเพิ่มสูงขึ้นมากพอ โมเลกุลของก๊าซจะดิสโซซิเอตออกเป็น 2 อะตอม เช่น ในกรณีของก๊าซไนโตรเจนโมเลกุลจะดิสโซซิเอตเมื่อได้รับพลังงานจำนวนหนึ่ง เราเรียกพลังงานนี้ว่าพลังงานดิสโซซิเอชันซึ่งค่าของระดับพลังงานนี้ของก๊าซชนิดต่าง ๆ ได้แสดงไว้ตามตารางที่ 2.1

## ตารางที่ 2.1

ระดับพลังงานดิสโซซิเอชันของก๊าซชนิดต่าง ๆ

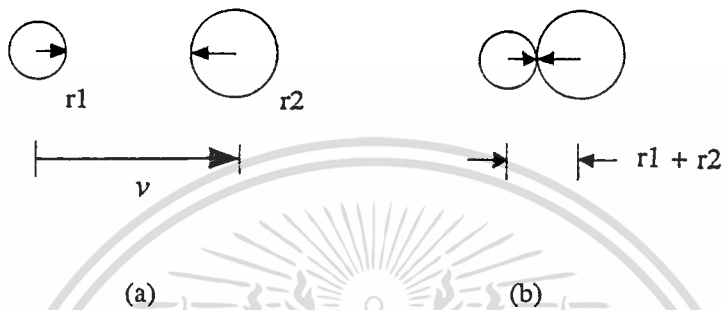
โมเลกุล	พลังงานดิสโซซิเอชัน (ev)
H <sub>2</sub>	4.46
O <sub>2</sub>	5.11
N <sub>2</sub>	9.76
Cl <sub>2</sub>	2.47
Br <sub>2</sub>	1.96

เนื่องจาก โมเลกุลเคลื่อนที่ปะปนกันอย่างไม่เป็นระเบียบ แต่ละตัวอาจจะเคลื่อนที่ซิกแซก ออกห่างไปจากตำแหน่งที่อยู่เดิมตามรูปที่ 2.1. และเราเรียกการเคลื่อนที่แบบนี้ว่าเทอร์รัลอะกิตะชัน (thermal agitation) โมเลกุลของก๊าซแต่ละตัวอาจจะเคลื่อนที่ด้วยความเร็วที่ต่างกันซึ่งการเคลื่อนที่นี้ จะมีความสัมพันธ์กับอุณหภูมิ คือเมื่ออุณหภูมิเพิ่มขึ้นความเร็วของ โมเลกุลจะเพิ่มขึ้นด้วย



รูปที่ 2.1 รูปแสดงการเคลื่อนที่อย่างไม่เป็นระเบียบของโมเลกุล

หลังจากเคลื่อนที่ไปได้ระยะหนึ่งก็จะเกิดการชนกับโมเลกุลตัวอื่น ซึ่งจะทำให้ทิศทางของการเคลื่อนที่ของโมเลกุลเปลี่ยนไป ค่าเฉลี่ยของระยะทางระหว่างที่โมเลกุลเคลื่อนที่ไปชนกันสองครั้งต่อเนื่องกันเราเรียกว่าระยะอิสระเฉลี่ยของโมเลกุล  $\lambda$  (mean free path) ในการหาจำนวนครั้งที่เกิดการชนกัน จะให้โมเลกุลที่มีรัศมี  $r_1$  เคลื่อนที่ด้วยความเร็ว  $v$  ชนโมเลกุลที่มีรัศมี  $r_2$  ที่อยู่กับที่ ตามรูปที่ 2.2



รูปที่ 2.2 แสดงการชนกันแบบยืดหยุ่นระหว่างโมเลกุลของก๊าซสองชนิดที่มีรัศมี  $r_1$  และ  $r_2$

จากทฤษฎีจลน์ศาสตร์ของก๊าซจะได้รับความเร็วสัมพัทธ์เป็น

$$v = \sqrt{v_1^2 + v_2^2} \quad 2.1$$

เมื่อ

$v_1$  คือความเร็วของโมเลกุลของก๊าซชนิดที่ 1

$v_2$  คือความเร็วของโมเลกุลของก๊าซชนิดที่ 2

สมมติให้โมเลกุลของก๊าซชนิดที่ 1 ที่มีรัศมี  $r_1$  เคลื่อนที่ด้วยความเร็ว  $v_1$  ชนกับโมเลกุลของก๊าซชนิดที่ 2 ที่มีรัศมี  $r_2$  (นั่นคือเมื่อจุดกึ่งกลางของโมเลกุลทั้งสองชนิดห่างกันน้อยกว่าระยะ  $r_1 + r_2$  ตามรูปที่ 2.2 (b)) และโมเลกุลของก๊าซชนิดที่หนึ่งจะชนกับโมเลกุลของก๊าซชนิดที่สองทุกตัวในปริมาตร  $\pi(r_1 + r_2)^2 v$  ถ้าให้จำนวนโมเลกุลของก๊าซชนิดที่สองต่อ  $1 \text{ m}^3$  เท่ากับ  $N$  ดังนั้นจำนวนครั้งที่เกิดการชนกันจะเท่ากับ  $\pi(r_1 + r_2)^2 vN$  (ในเวลา 1 วินาที) และเวลาเฉลี่ยระหว่างการชนต่อเนื่องกันสองครั้งจะได้

$$t = \frac{1}{\pi} (r_1 + r_2)^2 v N \quad 2.2$$

ดังนั้นระยะอิสระเฉลี่ย ( $\lambda$ ) ของโมเลกุลของก๊าซที่มีรัศมี  $r_1$  ที่เคลื่อนที่ด้วยความเร็ว  $v_1$  จะเป็น

$$\lambda = v_1 t = \frac{v_1}{\pi (r_1 + r_2)^2 v N}$$

หรือ 
$$\lambda = \frac{1}{\pi (r_1 + r_2)^2} \times \frac{v_1}{(v_1^2 + v_2^2)^{\frac{1}{2}}} \quad 2.3$$

ในกรณีที่ เป็น โมเลกุลของก๊าซชนิดเดียวกัน:  $v_1 = v_2$  และ  $r_1 = r_2 = r$  จากสมการที่ 2.3 จะได้ระยะอิสระเฉลี่ยของโมเลกุล ( $\lambda_M$ ) เป็น

$$\lambda_M = \frac{1}{4\sqrt{2}\pi r^2 N} \quad 2.4$$

ในกรณีที่ เป็น ไอออนหรืออิเล็กตรอนเคลื่อนที่ในก๊าซ (เช่นในกรณีที่มีสนามไฟฟ้าด้วย) เมื่อ เป็น ไอออนเคลื่อนที่

$$v_1 > v_2 \text{ และ } r_1 \cong r_2 = r$$

เมื่อ  $v_1$  เป็นความเร็วของไอออน

$v_2$  เป็นความเร็วของโมเลกุล

$r_1$  เป็นรัศมีของไอออน

$r_2$  เป็นรัศมีของโมเลกุล

ดังนั้นจากสมการที่ 2.3 จะได้ระยะทางอิสระเฉลี่ยของไอออน ( $\lambda_i$ ) เป็น

$$\lambda_i = \frac{1}{4\pi r^2 N} \quad 2.5$$

สำหรับในกรณีที่ เป็น อิเล็กตรอนเคลื่อนที่ในก๊าซ

$$v_1 \gg v_2 \text{ และ } r_1 \ll r_2$$

เมื่อ  $v_1$  เป็นความเร็วของอิเล็กตรอน

$v_2$  เป็นความเร็วของโมเลกุล

เอกสารนี้เป็นเอกสารที่สงวนไว้สำหรับการใช้งานเพื่อการศึกษาเท่านั้น ไม่อนุญาตให้นำไปใช้ประโยชน์ด้านการค้า  
ไม่ว่ากรณีใดๆทั้งสิ้น อีกทั้งห้ามมิให้ตัดแปลงเนื้อหา และต้องอ้างอิงถึงเจ้าของเอกสารทุกครั้งที่มีการนำไปใช้

$r_1$  เป็นรัศมีของอิเล็กตรอน

$r_2$  เป็นรัศมีของโมเลกุล

ซึ่งจะได้ระยะทางอิสระเฉลี่ยของอิเล็กตรอน ( $\lambda_e$ ) เป็น

$$\lambda_e = \frac{1}{\pi r^2 N} \quad 2.6$$

ตารางที่ 2.2 จะแสดงค่าระยะอิสระเฉลี่ยของอิเล็กตรอนและของโมเลกุล ของก๊าซชนิดต่าง ๆ ที่ความดัน  $P = 1 \text{ mmHg}$ . และอุณหภูมิ  $T = 25^\circ \text{C}$

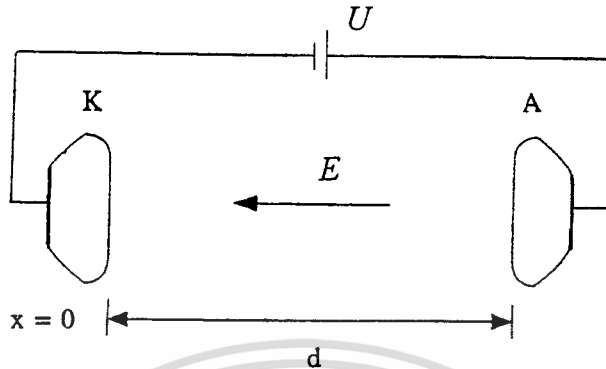
ตารางที่ 2.2  
แสดงค่าระยะอิสระเฉลี่ยของอิเล็กตรอนและของโมเลกุล ของก๊าซชนิดต่าง ๆ  
ที่ความดัน  $1 \text{ mmHg}$ . และที่อุณหภูมิ  $25^\circ \text{C}$

ก๊าซ	$\lambda_e$	$\lambda_M$
Ar	$450 \times 10^{-6}$	$79.5 \times 10^{-6}$
N	$425 \times 10^{-6}$	$75.1 \times 10^{-6}$
H	$189 \times 10^{-6}$	$144.4 \times 10^{-6}$
O	$455 \times 10^{-6}$	$80.5 \times 10^{-6}$
CO <sub>2</sub>	$420 \times 10^{-6}$	$74.3 \times 10^{-6}$

### 2.1.2 การเคลื่อนที่ของอิเล็กตรอนในสนามไฟฟ้าแบบสม่ำเสมอในสุญญากาศ เมื่อความเร็วต้นเป็นศูนย์

ถ้าให้อิเล็กตรอนอยู่ในบริเวณระหว่างอิเล็กโทรด ที่เป็นแบบ Rogowski ที่วางขนานกันคู่หนึ่งในสุญญากาศ และมีทิศทางของสนามไฟฟ้าเนื่องจากความต่างศักย์ระหว่างขั้วทั้งสองดังที่แสดง

ในรูปที่ 2.3 ซึ่งความแรงของสนามไฟฟ้าทุก ๆ จุดในบริเวณระหว่างขั้ว จะมีค่าเท่ากันเราเรียกสนามไฟฟ้านี้ว่า สนามไฟฟ้าแบบสม่ำเสมอ (Uniform Field)



รูปที่ 2.3 แสดงรูปอิเล็กโตรดที่เป็นแบบ Rogowski ที่วางขนานกัน

ถ้าความแรงของสนามไฟฟ้าแต่ละจุดมีค่าไม่เท่ากันเราเรียกสนามไฟฟ้านี้ว่า สนามไฟฟ้าไม่สม่ำเสมอ (Non-Uniform Field)

จากรูปที่ 2.3 สมมติให้อิเล็กโตรด K และ A แทนคาโทดและอโนดตามลำดับ ซึ่งวางอยู่ใน สุญญากาศมีระยะห่างระหว่างกัน  $d$  เมตร และมีค่าต่างศักย์  $U$  โวลต์ ที่  $x=0$  คาโทดจะปล่อยอิเล็กตรอนออกมาเมื่อถูกแสงอุลตราไวโอเล็ต (Ultraviolet) ส่องหรือเมื่อถูกเผาให้ร้อน หรือโดยกรรมวิธีอื่น ๆ อิเล็กตรอนจะมีความเร็วต้นเป็นศูนย์ อิเล็กตรอนนี้จะเคลื่อนที่ไปในสนามไฟฟ้าด้วยความเร่ง  $(a)$  [1]

$$a = \frac{d^2x}{dt^2} = \frac{eEx}{me} = \frac{eU}{me d} \quad \text{m}^2/\text{s} \quad 2.7$$

เมื่อ  $e$  เป็นประจุลบของอิเล็กตรอน ซึ่งมีค่าเท่ากับ  $1.60 \times 10^{-19}$  คูอมปี้

$m_e$  เป็นมวลของอิเล็กตรอน มีค่าเท่ากับ  $9.11 \times 10^{-31}$  กิโลกรัม

อินทิเกรตสมการที่ 2.7 เทียบกับเวลาจะได้เป็นความเร็ว  $(v)$

$$v = \frac{dx}{dt} = \frac{eU}{me d} t \quad \text{m/s} \quad 2.8$$

และอินทิเกรตสมการที่ 2.8 เทียบกับเวลาจะได้เป็นระยะทาง (x)

$$x = \frac{1}{2} \frac{e U}{m e d} t^2 \quad \text{m} \quad 2.9$$

ดังนั้นอิเล็กตรอนที่เคลื่อนที่เป็นระยะ  $x = d$  จะใช้เวลา

$$t_{KA} = \left[ \frac{2med^2}{eu} \right]^{\frac{1}{2}} \quad \text{s} \quad 2.10$$

และความเร็วของอิเล็กตรอนสามารถหาได้จากสมการ

$$ve = \left[ \frac{2eU}{me} \right]^{\frac{1}{2}} \quad \text{m/s} \quad 2.11$$

เมื่อ  $e/me = 1.76 \times 10^{11}$  คูลอมป์/กิโลกรัมดังนั้นจะได้

$$ve = 5.93 \times 10^5 \sqrt{U} \quad \text{m/s} \quad 2.12$$

นั่นคืออิเล็กตรอนที่มีความเร็วต้นเป็นศูนย์เคลื่อนที่ผ่านความต่างศักย์เพียง 1 โวลต์ จะมีความเร็วเป็น  $5.93 \times 10^5$  เมตรต่อวินาที ในกรณีความเร็วของไอออนที่มีประจุไฟฟ้าเป็น  $Z$  เท่าของอิเล็กตรอนและมีมวลอะตอมสัมพัทธ์เป็น  $A_r$  และเคลื่อนที่ในสนามไฟฟ้าด้วยความเร็วต้นเท่ากับศูนย์ผ่านความต่างศักย์  $U$  โวลต์ไอออนจะมีความเร็วเป็น

$$\begin{aligned} v_i &= \left\{ \frac{2eZU}{1.66 \times 10^{-27} \times A_r} \right\} \quad 2.13 \\ &= 1.39 \times 10^4 \left[ \frac{ZU}{A_r} \right]^{\frac{1}{2}} \quad \text{m/s} \end{aligned}$$

### 2.1.3 การนำไฟฟ้าในก๊าซ [1] [2]

เมื่อมีสนามไฟฟ้าในก๊าซอนุภาคที่มีประจุไฟฟ้าคือ อิเล็กตรอนและไอออนบวกจะเคลื่อนที่ในก๊าซเนื่องจากอิทธิพลของสนามไฟฟ้าและจะชนกับอะตอมและโมเลกุลที่เป็นกลาง ซึ่งการชนกันนี้จะมีสองชนิดคือ [2]

1. การชนกันแบบยืดหยุ่น (Elastic) การชนกันแบบนี้จะไม่มีการเปลี่ยนแปลงในพลังงานศักย์
2. การชนกันแบบไม่ยืดหยุ่น (Inelastic) การชนกันแบบนี้จะมีการเปลี่ยนแปลงของพลังงานศักย์

ในการชนกันแบบยืดหยุ่นอิเล็กตรอนจะเสียพลังงานไป  $2m/M$  ของพลังงานที่อิเล็กตรอนมีอยู่เมื่อ  $m$  เป็นมวลของอิเล็กตรอนและ  $M$  เป็นมวลของอะตอมหรือโมเลกุล

ในการชนกันแบบไม่ยืดหยุ่นจะทำให้เกิดกระบวนการต่อไปนี้ [2]

1. เกิดการเอ็กซ์ไซเตชัน
2. เกิดการไอโอไนเซชัน
3. เกิดการเกาะติดของอิเล็กตรอน (Electron Attachment)

กระบวนการที่ทำให้เกิดการนำไฟฟ้าในก๊าซ คือกระบวนการของการไอโอไนเซชันกระบวนการไอโอไนเซชัน เป็นกระบวนการที่แยกอิเล็กตรอนออกจากอะตอมหรือโมเลกุลของก๊าซซึ่งกระบวนการไอโอไนเซชันนี้จะทำให้เกิดไอออนบวกและอิเล็กตรอนอิสระขึ้น ถ้าเป็นในก๊าซไฟฟ้าลบบจะมีไอออนลบเกิดขึ้นด้วย

วิธีของการไอโอไนเซชัน คือเมื่ออิเล็กตรอนหรือไอออนที่มีมวล ( $m$ ) เคลื่อนที่ด้วยความเร็ว ( $v$ ) เข้าชนกับอะตอมหรือโมเลกุลของก๊าซที่เป็นกลาง ขณะที่ชนอิเล็กตรอนหรือไอออน จะถ่ายเทพลังงานจนทำให้กับอะตอมหรือโมเลกุลของก๊าซที่เป็นกลางนั้น และทำให้เกิดการเปลี่ยนแปลงของพลังงานศักย์ขึ้น ถ้าพลังงานนี้ (ยกเว้นถ้าเป็นพลังงานของไอออนบวกจะต้องเป็นอย่างน้อยสองเท่าของพลังงานของการไอโอไนเซชัน) มากกว่าพลังงานของไอโอไนเซชันก็จะเกิดการ ไอโอไนเซชันขึ้นตามสมการ

$$mv^2/2 \geq W_i = U_i \quad 2.14$$

เมื่อ  $mv^2/2$  เป็นพลังงานของอิเล็กตรอนหรือไอออน  
 $W_i$  เป็นพลังงานของการไอโอไนเซชัน  
 $U_i$  เป็นไอโอไนเซชันโพเทนเชียล (Ionization Potentials)

สำหรับไอโอไนเซชันโพเทนเชียลของก๊าซชนิดต่าง ๆ นั้นได้แสดงไว้ตามตารางที่ 2.3

### ตารางที่ 2.3

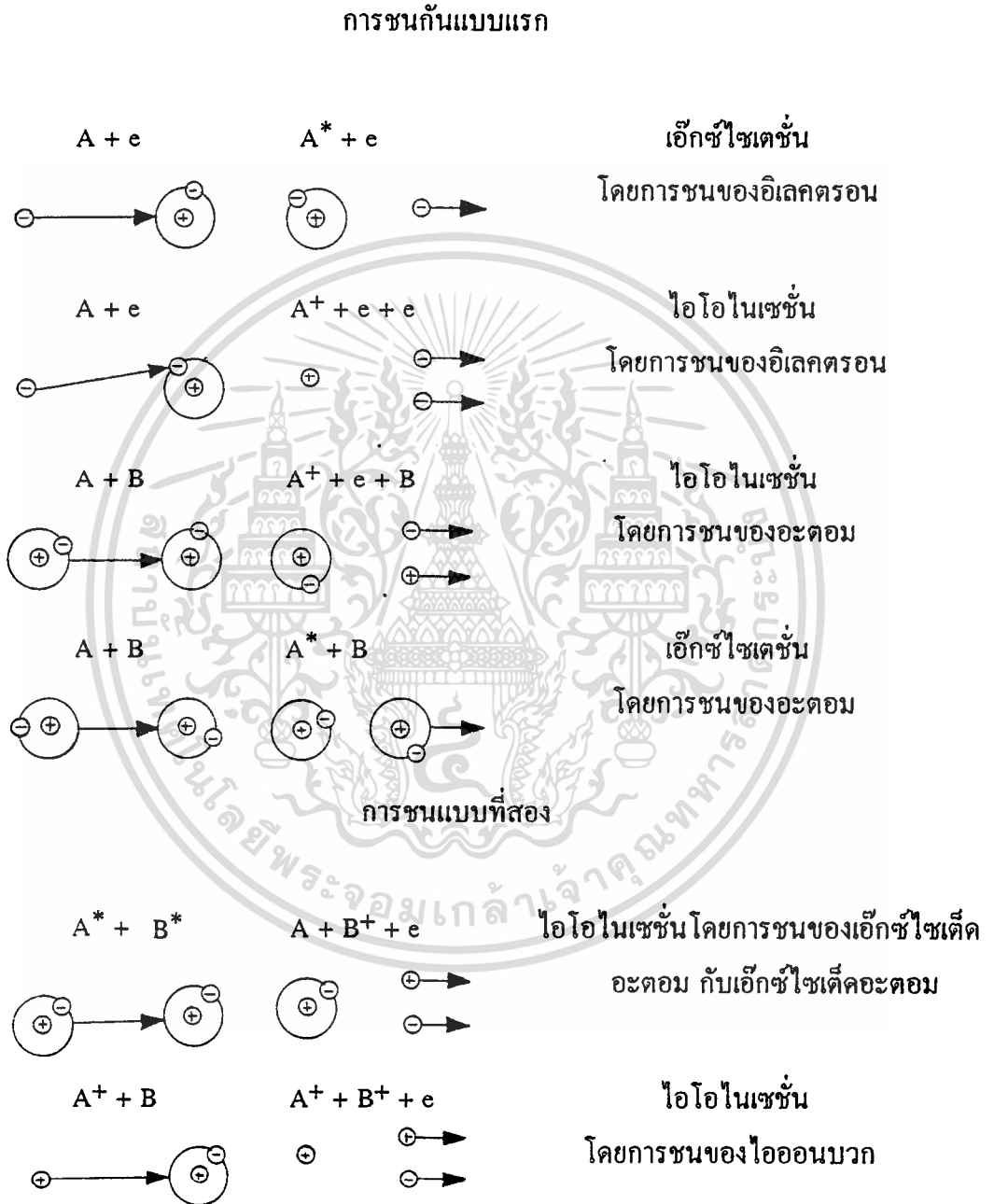
แสดงค่าไอโอไนเซชันโพเทนเชียลของก๊าซชนิดต่าง ๆ [3]

ก๊าซ	ไอโอไนเซชันโพเทนเชียล (v) ของอะตอมและโมเลกุล
He	24.5 (54.2)
Ne	21.5 (41,63,97,126)
Ar	15.7 (28,41)
Kr	14 (27,37,68)
Xe	12.1 (21,32,46,76)
H <sub>2</sub>	15.4
N <sub>2</sub>	15.5
O <sub>2</sub>	12.1
Cl <sub>2</sub>	11.5
Br <sub>2</sub>	10.7
NO <sub>2</sub>	11
CO <sub>2</sub>	13.7

อนุภาคที่มาชนอะตอมหรือโมเลกุลนั้นส่วนมากจะเป็นอิเล็กตรอน เพราะอิเล็กตรอนจะมีความคล่องตัวสูงกว่าไอออน

การชนกันและเป็นผลทำให้เกิดการไอโอไนเซชันหรือเอ็กซ์ไซเตชัน โดยการถ่ายเทพลังงาน จลน์เราเรียกว่าการชนแบบแรก การชนกันซึ่งทำให้เกิดการถ่ายเทพลังงานสัปดาห์บางส่วนต่อกันและทำให้เกิดการไอโอไนเซชันขึ้นเราเรียกว่าการชนกันแบบที่สอง

รูปที่ 2.4 แสดงให้เห็นถึงวิธีการชนกันแบบต่าง ๆ เมื่อ A และ B เป็นอะตอม  $A^*$  และ  $B^*$  เอ็กซ์ไซเท็ดอะตอม  $A^+$  และ  $B^+$  เป็นไอออนบวก  $e$  เป็นอิเล็กตรอนอิสระ (ที่มีลูกศรกำกับแสดงว่ามีพลังงานจลน์) [1]



รูปที่ 2.4 แสดงวิธีการชนแบบต่าง ๆ ของอิเล็กตรอนกับอะตอมและอะตอมกับอะตอม

เอกสารนี้เป็นเอกสารที่สงวนไว้สำหรับการใช้งานเพื่อการศึกษาเท่านั้น ไม่อนุญาตให้นำไปใช้ประโยชน์ด้านการค้า ไม่ว่าจะกรณีใดๆทั้งสิ้น อีกทั้งห้ามมิให้ตัดแปลงเนื้อหา และต้องอ้างอิงถึงเจ้าของเอกสารทุกครั้งที่มีการนำไปใช้

### 2.1.3.1 โฟโตไอโอไนเซชัน (Photo-ionization)

#### 1. โฟโตไอโอไนเซชัน เนื่องจากอะตอมที่อยู่ในสภาพเอ็กซ์ไซเตชัน [4]

เมื่ออะตอมได้รับพลังงานมากขึ้น (เนื่องจากการชนของอิเล็กตรอน ไอออนบวกหรือไอออนลบจะทำให้วงโคจรของอิเล็กตรอนรอบนิวเคลียสมีรัศมีโตขึ้น อิเล็กตรอนนี้จะเคลื่อนที่อยู่ในวงโคจรที่แน่นอนวงหนึ่งตามระดับของพลังงานที่ได้รับ ในลักษณะเช่นนี้เรียกว่าอะตอมอยู่ในสภาพเอ็กซ์ไซเตชันพลังงานนี้จะคงอยู่ในช่วงระยะเวลาสั้น ๆ ( $10^{-8}$  ถึง  $10^{-7}$  วินาที) แล้วอะตอมก็จะกลับสู่สภาพปกติ (Ground state) ขณะที่กลับสู่สภาพปกติก็จะปล่อยพลังงานที่ได้รับมาในตอนแรกออกไปในรูปของโฟตอน (Photon) ถ้าพลังงานนี้วิ่งไปกระทบกับอะตอมหรือโมเลกุลที่เป็นกลางอาจทำให้อะตอมหรือโมเลกุลนั้นเกิดเอ็กซ์ไซเตชันหรือไอโอไนเซชันขึ้นได้ การเกิดการไอโอไนเซชันเนื่องจากโมเลกุลได้รับพลังงานโฟตอนเรียกว่า โฟโตไอโอไนเซชัน (Photo-ionization) พลังงานโฟตอนที่จะทำให้โมเลกุลของก๊าซเกิดไอโอไนเซชันได้จะต้องมีค่าเป็น

$$hf > W_i = eU_i$$

เมื่อ  $h$  คือค่าคงที่ของ Planck (มีค่าเท่ากับ  $6.6257 \times 10^{-34}$  J-s)

$f$  คือความถี่ของแสง

#### 2. โฟโตไอโอไนเซชัน เนื่องจากการฉายแสงหรือรังสีจากภายนอก [1]

แสงหรือรังสีนั้นจะต้องมีความยาวคลื่นเท่ากับ

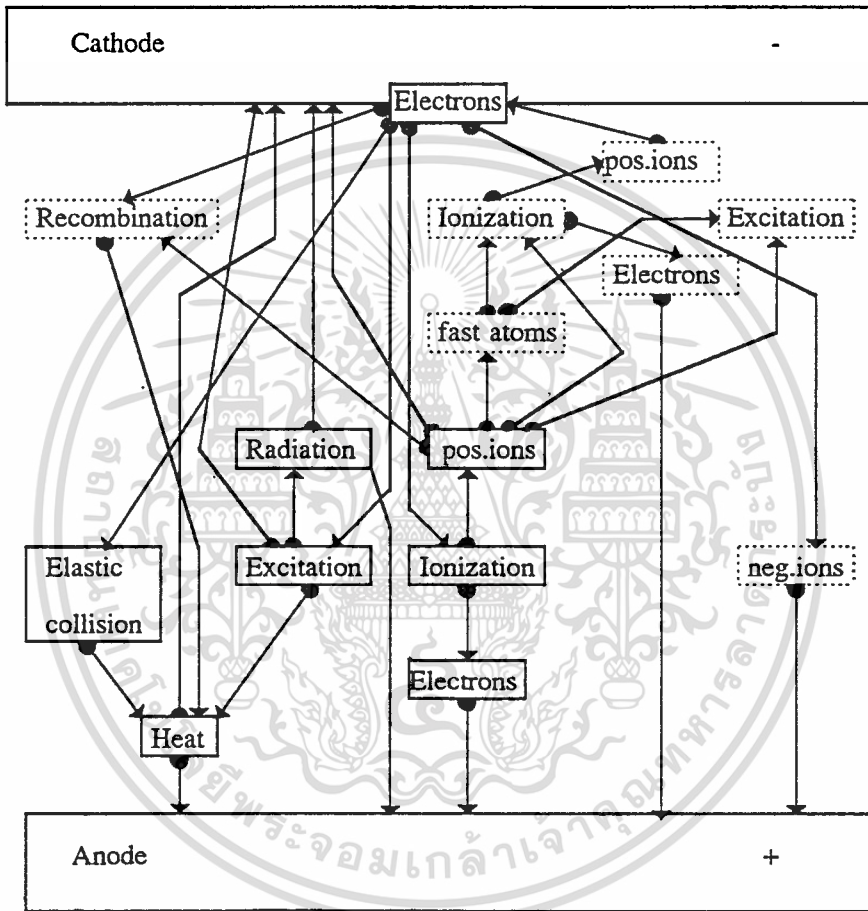
$$\lambda = \frac{ch}{W_i} = \frac{ch}{eU_i}$$

เมื่อ  $c$  เป็นความเร็วของแสง (มีค่าเท่ากับ  $2.998 \times 10^8$  m/s)

แสงที่เห็นได้ด้วยตาจะมีความยาวคลื่นอยู่ในช่วง  $4 \times 10^{-7}$  m ถึง  $7 \times 10^{-7}$  m ซึ่งจะไม่ทำให้เกิดการไอโอไนเซชันขึ้นได้ แสงอุลตราไวโอเล็ตจะมีความยาวคลื่นอย่างต่ำจาก  $1.5 \times 10^{-7}$  ถึง  $2 \times 10^{-7}$  m จะทำให้เกิดการไอโอไนเซชันกับก๊าซที่มีไอโอไนเซชันโพเทนเชียลช่วง 6 ถึง 8 eV ได้ รังสีเอ็กซ์จะมีความยาวคลื่นในช่วง  $10^{-7}$  ถึง  $10^{-12}$  m และรังสีคอสมิกจะมีความยาวคลื่นช่วง  $10^{-13}$  ถึง  $10^{-14}$  m ซึ่งรังสีคอสมิกนี้จะทำให้เกิดโฟโตไอโอไนเซชันได้เป็นอย่างดี

## 2.2 กระบวนการต่าง ๆ ที่ทำให้เกิดการเบรคดาวน์ในก๊าซ ในสนามไฟฟ้าสม่ำเสมอ [1]

กระบวนการต่าง ๆ ที่เกิดขึ้นในก๊าซและทำให้ก๊าซเปลี่ยนสภาพจากฉนวนไฟฟ้าเป็นตัวไฟฟ้าได้แสดงไว้ตามรูปที่ 2.5 ซึ่งจุดดำจะเป็นการเริ่มต้นของกระบวนการ หัวลูกศรเป็นการจบลงของกระบวนการ ชื่อของกระบวนการที่สำคัญจะอยู่ในกรอบของเส้นทึบส่วนกระบวนการที่มีความสำคัญรองลงมาจะอยู่ในกรอบเส้นปะ



รูปที่ 2.5 แสดงกระบวนการต่าง ๆ ที่เกิดขึ้นในก๊าซและทำให้ก๊าซเปลี่ยนสภาพจากฉนวนเป็นตัวนำไฟฟ้า

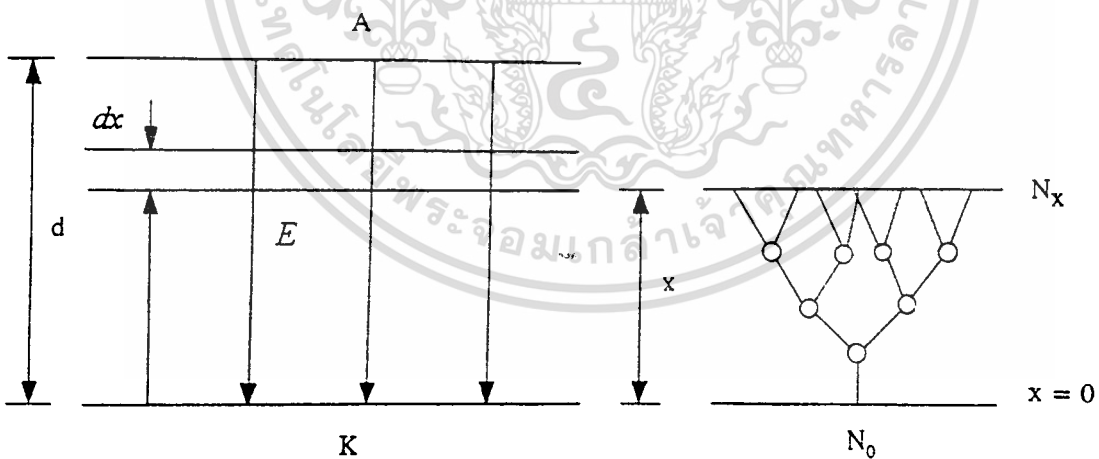
โดยปกติก๊าซจะเป็นฉนวนไฟฟ้าแต่เมื่อเกิดการไอออไนเซชันขึ้นในก๊าซ ก๊าซจะเปลี่ยนสภาพจากฉนวนไฟฟ้าเป็นตัวนำไฟฟ้า เราเรียกปรากฏการณ์นี้ว่าเกิดการเบรคดาวน์ขึ้นในก๊าซ ซึ่งก่อนที่จะ

เกิดเบรคความในก๊าซนั้นจะเกิดกระบวนการไอโอไนเซชันและการปลดปล่อยอิเล็กตรอนที่คาโถดโดยไอออนบวก ฯลฯ ซึ่งจะเป็นจุดเริ่มต้นของกระบวนการต่าง ๆ ที่นำไปสู่การเกิดเบรคความในก๊าซเรียกกระบวนการนี้ว่าก๊าซดีสชาร์จ เราอาจแบ่งก๊าซดีสชาร์จออกเป็น 2 ชนิด คือ

1. ชนิดที่คงสภาพเองไม่ได้ ซึ่งการดีสชาร์จชนิดนี้จะต้องอาศัยพลังงานจากภายนอกทำให้เกิดอิเล็กตรอนหรือไอออนพอเพียงกับการดีสชาร์จถ้าไม่มีพลังงานจากภายนอกเข้าช่วย การดีสชาร์จจะหยุดลง
2. ชนิดที่คงสภาพเองได้ซึ่งเป็นการดีสชาร์จที่ไม่ต้องใช้พลังงานจากภายนอกเข้าช่วยเมื่อเกิดดีสชาร์จขึ้นในก๊าซจะมีกระแสไหลตั้งแต่ค่าน้อย ๆ ไปจนถึงไมโครแอมป์หรือเป็นแอมป์

### 2.2.1 ทาวน์เซนต์ดีสชาร์จ (Townsend Discharge) [1] [4]

อิเล็กตรอนอิสระที่เคลื่อนที่ในสนามไฟฟ้า สามารถทำให้เกิดการไอโอไนเซชันขึ้นกับอะตอมหรือโมเลกุลของก๊าซที่เป็นกลางได้เมื่อความแรงของสนามไฟฟ้ามีค่าเท่ากับหรือมากกว่าความแรงของสนามวิกฤต ( $E_i = W_i/e\lambda$ ) และอิเล็กตรอนที่เกิดขึ้นใหม่ก็มีโอกาสที่จะทำให้เกิดการไอโอไนเซชันได้ สมมติให้  $N_0$  เป็นจำนวนอิเล็กตรอนที่ออกจากผิวของคาโถด (ที่  $x = 0$ ) ในเวลา 1 วินาที ที่ระยะทาง  $x$  จำนวนของอิเล็กตรอนจะเพิ่มขึ้นเป็น  $N_x$  โดยการไอโอไนเซชัน เนื่องจากการชนคังแสดงในรูปที่ 2.6



รูปที่ 2.6 แสดงกระบวนการดีสชาร์จของทาวน์เซนต์

ให้อิเลคตรอนจำนวน  $N_x$  นี้เคลื่อนที่เป็นระยะทาง  $dx$  จาก  $x$  และทำให้เกิดอิเลคตรอนเพิ่มขึ้นอีกเป็นจำนวน  $dN$  ดังนั้นจะมีจำนวนของอิเลคตรอนเพิ่มขึ้นในช่วง  $x$  ถึง  $x + dx$  เท่ากับ

$$dN = N\alpha dx \quad 2.15$$

เมื่อ  $\alpha$  เป็นสัมประสิทธิ์ของการไอโอไนเซชันที่หนึ่งของทาว์นเซนต์ซึ่งเป็นจำนวนของการไอโอไนเซชัน โดยการชนของอิเลคตรอนตัวหนึ่งในระหว่างการเคลื่อนที่ 1 เมตรในทิศทางขนานกับสนามไฟฟ้า จากการอินทิเกรตสมการที่ (2.15) เพื่อหาจำนวนของอิเลคตรอนที่ระยะ  $d$  จะได้

$$N = N_0 e^{(\alpha d)} \quad 2.16$$

ซึ่งกลุ่มของอิเลคตรอน ( $N$ ) นี้เราเรียกว่าอะวาลานซ์ของอิเลคตรอนเมื่อระยะห่างระหว่างอิเล็กโตรดเท่ากับ  $d$  และ  $\alpha$  มีค่าคงที่ (ในสนามไฟฟ้าสม่ำเสมอ) เมื่อคูณด้วยประจุของอิเลคตรอนสามารถเขียนในเทอมของกระแสได้เป็น

$$I = I_0 e^{(\alpha d)} \quad 2.17$$

$I_0$  เป็นกระแสเริ่มต้นที่หลุดออกมาจากคาโทด (ซึ่งส่วนมากจะได้มาจากการฉายแสงอุลตราไวโอเลตลงบนคาโทด)

ที่หน้าอะวาลานซ์ของอิเลคตรอนซึ่งมีประจุไฟฟ้าลบอยู่ประจุไฟฟ้าลบนี้อาจเคลื่อนที่ด้วยความเร็วประมาณ  $2 \times 10^5$  m/s เข้าหาแอนโนด (เมื่อความแรงของสนามไฟฟ้าเท่ากับค่าสนามวิกฤติ) ส่วนไอออนบวกจะเคลื่อนที่ช้ากว่าอิเลคตรอนมาก และเคลื่อนที่เข้าหาคาโทดด้วยความเร็วประมาณ  $10^3$  m/s ซึ่งเมื่อเทียบกับความเร็วของอะวาลานซ์ของอิเลคตรอนแล้วจะคล้ายกับประจุที่ออกันอยู่ในสนามไฟฟ้า เมื่อความแรงของสนามไฟฟ้าสูงมาก ไอออนบวกก็สามารถทำให้เกิดการไอโอไนเซชันได้เช่นกัน โดยวิ่งด้วยความเร็วสูงเข้าชนอะตอมของก๊าซในบริเวณนั้นและที่ผิวของคาโทด นอกจากนี้ยังมีการไอโอไนเซชันเนื่องจากผลของโฟโตอิเล็กทริกของแสงจากหน้าของอะวาลานซ์ของอิเลคตรอน จำนวนของการไอโอไนเซชันจากวิธีการต่าง ๆ เหล่านี้ คือสัมประสิทธิ์การไอโอไนเซชันที่สองของทาว์นเซนต์ ( $\gamma$ ) ซึ่งสามารถจำแนกออกได้เป็น

- ( $\gamma_0$ ) เป็นการ ไอโอไนเซชันเนื่องจากการปล่อยอิเล็กตรอนจากผิวของคาโทดของไอออนบวก
- ( $\gamma_1$ ) เป็นการ ไอโอไนเซชันเนื่องจากการชนระหว่างไอออนบวกกับอะตอมของก๊าซขณะที่ไอออนบวกเคลื่อนที่เข้าหาคาโทด
- ( $\gamma_2$ ) เป็นการ ไอโอไนเซชันเนื่องจากพลังงานโฟตอนที่ตกกระทบลงบนคาโทดที่เกิดจากการรวมตัวกันอีกของอิเล็กตรอนและไอออน หรือเกิดจากโมเลกุลที่อยู่ในสภาพตื่นกระตุ้น (Excited State) ปล่อยพลังงานโฟตอนออกมาเพื่อกลับสู่สภาพพื้นฐาน (Ground State)

ซึ่งจะทำให้ได้ความสัมพันธ์เป็น

$$\gamma = \frac{\gamma_0 + \gamma_1 + \gamma_2}{3}$$

วิธีการแบบต่าง ๆ ของการ ไอโอไนเซชันขั้นที่สอง อาจเกิดขึ้นเพียงอย่างเดียวหรือหลายอย่างรวมกันก็ได้ (ระหว่างอิเล็กโตรด) เมื่อเราคิดสมการของกระแสที่ไหลระหว่างอิเล็กโตรด เนื่องจากวิธีการแต่ละอย่างหรือหลายอย่างรวมกันสมการเหล่านี้จะคล้ายคลึงกัน อย่างไรก็ตาม ผลจากการชนของไอออนบวกจะเป็นส่วนที่สำคัญที่สุดที่แทนการไหลของกระแสทั้งหมด จากการศึกษพบว่ากระแสของก๊าซดีสชาร์จขึ้นอยู่กับคาโทดเช่น การ ไอโอไนเซชันจากผิวของคาโทดเนื่องจากการชนของ ไอออนบวกการหาสมการของกระแสที่ไหลระหว่างอิเล็กโตรดเราจะกำหนดให้

- $n$  เป็นจำนวนของอิเล็กตรอนที่เคลื่อนที่ถึงแอโนดใน 1 วินาที
- $n_0$  เป็นจำนวนของอิเล็กตรอนที่หลุดออกจากผิวของคาโทด เมื่อคาโทดได้รับพลังงานจากภายนอก
- $n_+$  เป็นจำนวนของอิเล็กตรอนที่หลุดออกจากผิวของคาโทดโดยการชนของไอออนบวก
- $\gamma_0$  เป็นจำนวนของอิเล็กตรอนที่หลุดออกจากผิวของคาโทดโดยการชนของไอออนบวก 1 ตัว

ดังนั้นจะได้

$$n = (n_0 + n_+)e^{\alpha d} \tag{2.18}$$

$$n_+ = \gamma_0 [n - (n_0 + n_+)]$$

แทน  $n_+$  ในสมการที่ (2.18) จะได้

$$n = n_0 \left[ \frac{e^{\alpha d}}{1 - \gamma_0 (e^{\alpha d} - 1)} \right] \quad 2.19$$

ซึ่งเมื่อคูณด้วยประจุของอิเล็กตรอนสามารถเขียนในเทอมของกระแสได้เป็น

$$I = I_0 \left[ \frac{e^{\alpha d}}{1 - \gamma_0 (e^{\alpha d} - 1)} \right] \quad 2.20$$

กระแสที่ไหลระหว่างคาโทดและอโนด เนื่องจากวิธีการ ไอโอไนเซชันที่สองทั้งหมดหาได้โดยใช้  $\gamma$  แทน  $\gamma_0$  ในสมการที่ (2.20) ซึ่งจะได้

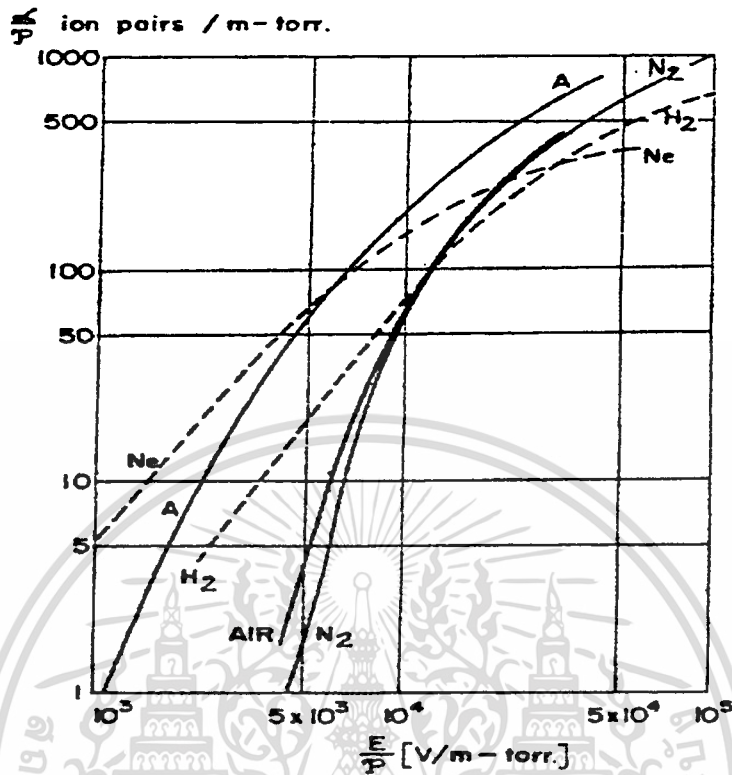
$$I = I_0 \left[ \frac{e^{\alpha d}}{1 - \gamma (e^{\alpha d} - 1)} \right] \quad 2.21$$

จากสมการที่ (2.21) จะเห็นได้ว่าถ้า  $\gamma = 0$  สมการที่ (2.21) จะกลายเป็นสมการที่ (2.17)

$\alpha$  เป็นสัมประสิทธิ์การไอโอไนเซชันที่หนึ่งของทาว์นเซนต์ซึ่งเป็นปฏิภาคโดยตรงกับความดัน เพราะจำนวนครั้งที่เกิดการชนระหว่างอิเล็กตรอนกับ โมเลกุลของก๊าซเป็นปฏิภาคโดยตรงกับความดันและค่าสัมประสิทธิ์ ( $\alpha$ ) นี้ จะขึ้นอยู่กับพลังงานเฉลี่ยของอิเล็กตรอนด้วย พลังงานอันนี้เป็นปฏิภาคโดยตรงกับความแรงสนามไฟฟ้า  $E$  และระยะทางอิสระเฉลี่ย ( $\lambda$ ) แต่  $\lambda$  นี้ เป็นปฏิภาคส่วนกลับกับความดัน ดังนั้นอาจจะเขียนสัมประสิทธิ์การไอโอไนเซชันที่หนึ่งของทาว์นเซนต์ ( $\alpha$ ) ที่เป็นฟังก์ชันของความแรงสนามไฟฟ้า ( $E$ ) และความดัน ( $P$ ) ได้เป็น

$$\begin{aligned} \alpha &= P f_1 \left( \frac{E}{P} \right) \\ \frac{\alpha}{P} &= f_1 \left( \frac{E}{P} \right) \end{aligned} \quad 2.22$$

รูปที่ 2.7 จะแสดงค่าของ  $\alpha/P$  ที่เป็นฟังก์ชันของ  $E/P$  ที่วัดได้ในก๊าซชนิดต่าง ๆ



รูปที่ 2.7 แสดงค่าที่วัดได้ของ  $\alpha/P$  ที่เป็นฟังก์ชันของ  $E/P$  ในก๊าซชนิดต่าง ๆ

และสัมประสิทธิ์การไอไอโนเซชันที่สองของทาวน์เซนต์เราสามารถเขียนเป็นฟังก์ชันของความแรงสนามไฟฟ้า  $E$  และความดัน  $P$  ของก๊าซได้ดังนี้

$$\gamma = f_2\left(\frac{E}{P}\right)$$

2.23

## 2.2.2 เงื่อนไขการเกิดการเบรคควาน์ของทาว์นเซนต์ [3]

สำหรับกระแสในสนามไฟฟ้าแบบสม่ำเสมอระหว่างแผ่นอิเล็กโทรดสองอันเราสามารถหาได้จากสมการที่ (2.21)

$$I = I_0 \left[ \frac{e^{\alpha d}}{1 - \gamma_0 (e^{\alpha d} - 1)} \right] \quad 2.23$$

เนื่องจากขณะที่ใกล้เกิดการเบรคควาน์  $e^{\alpha d} \gg 1$  ดังนั้นจะได้

$$I = I_0 \left[ \frac{e^{\alpha d}}{1 - \gamma^{\alpha d}} \right] \quad 2.24$$

เมื่อ  $I_0$  เป็นกระแสเริ่มต้นที่ออกจากคาโทด

$\alpha$  เป็นสัมประสิทธิ์การไอโอไนเซชันที่หนึ่งของทาว์นเซนต์

$\gamma$  เป็นสัมประสิทธิ์การไอโอไนเซชันที่สองของทาว์นเซนต์

จากสมการ (2.21) จะเห็นว่า  $I$  จะมีค่าเป็นอนันต์เมื่อ  $\gamma (e^{\alpha d} - 1) = 1$  ดังนั้นจะเกิดเบรคควาน์ในก๊าซขึ้นเมื่อ

$$\gamma (e^{\alpha d} - 1) = 1 \quad 2.25$$

หรือ  $\gamma e^{\alpha d} = 1$  เมื่อ  $(e^{\alpha d} \gg 1)$

สมการที่ 2.25 นี้เป็นเงื่อนไขสำหรับการเกิดเบรคควาน์ขึ้นในก๊าซของทาว์นเซนต์ เนื่องจากอิเล็กตรอนที่ออกมาจากคาโทดจะทำให้เกิดพาหะประจุไฟฟ้า (อิเล็กตรอนและไอออน) ในระหว่างที่เคลื่อนที่เข้าหาแอนโนดเป็นจำนวน  $(e^{\alpha d} - 1)$  คู่ และไอออนบวกจำนวน  $(e^{\alpha d} - 1)$  ตัวนี้จะเคลื่อนที่เข้าคาโทด และทำให้เกิดอิเล็กตรอนจากคาโทดใหม่อีกเป็นจำนวน  $\gamma(e^{\alpha d} - 1)$  ตัว อิเล็กตรอนที่ออกจากคาโทดใหม่นี้ ก็จะทำให้เกิดการไอโอไนเซชันได้อีก ดังนั้นดิสชาร์จก็จะเกิดอยู่ได้โดยไม่จำเป็นต้องมีอิเล็กตรอนที่เกิดโดยการได้รับพลังงานจากภายนอก ดิสชาร์จแบบคงสภาพเองไม่ได้ก็จะเปลี่ยนเป็นดิสชาร์จแบบคงสภาพเองได้

และจากการศึกษาพบว่าวัสดุที่มีค่าเวิร์คฟังก์ชันของผิวต่ำ จะให้ค่าสัมประสิทธิ์การไอโอไนเซชันที่สองของทาวน์เซนต์ ( $\gamma$ ) สูง ค่าของเวิร์คฟังก์ชันของโลหะบางชนิดได้แสดงไว้ในตารางที่ 2.4

ตารางที่ 2.4

แสดงค่าเวิร์คฟังก์ชันของโลหะบางชนิดที่ได้จากการวัด โดยวิธีการโฟโตอิมิสชัน (Photo Emission) และเทอร์โมอีนิกอิมิสชัน (Thermionic Emission)

ชนิดของโลหะ	เวิร์คฟังก์ชัน ( $e\phi$ ) หน่วยเป็น (eV)	
	โฟโตอิเล็กตริก	เทอร์โมอีนิก
Ag	4.74	3.08-3.56
Al	2.98-4.43	-
Au	3.90-4.92	4.00-4.58
Ba	1.90-2.49	2.11
C	4.81	4.39
Ca	2.42-3.21	2.24
Cs	1.38-1.90	1.81
Cu	4.07-4.80	3.85-4.38
Fe	3.91-4.70	4.04-4.77
Li	2.28-2.42	-
Mg	2.15-3.75	-
Ni	4.06-5.20	4.61-5.24
Rb	2.09-2.16	-
Ta	4.05-4.16	4.07-4.19
U	3.63	3.27
W	4.35-4.60	4.52

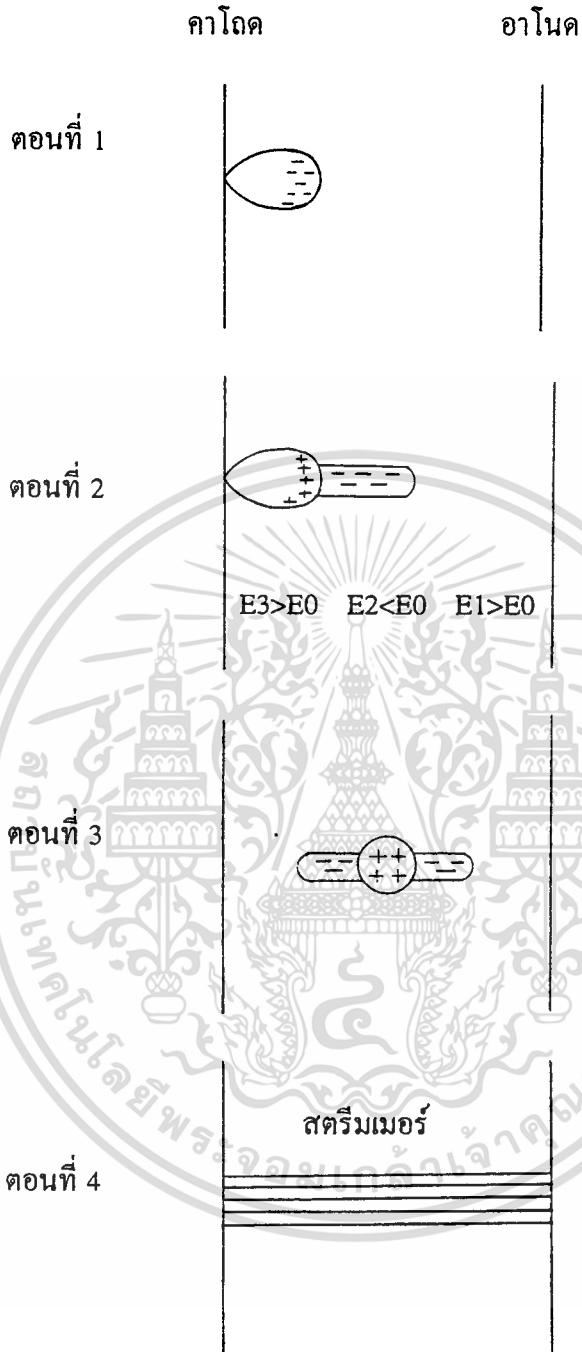
เอกสารนี้เป็นเอกสารที่สงวนไว้สำหรับการใช้งานเพื่อการศึกษาเท่านั้น ไม่อนุญาตให้นำไปใช้ประโยชน์ด้านการค้า  
ไม่ว่ากรณีใดๆทั้งสิ้น อีกทั้งห้ามมิให้ตัดแปลงเนื้อหา และต้องอ้างอิงถึงเจ้าของเอกสารทุกครั้งที่มีการนำไปใช้

### 2.2.3 ทฤษฎีสตรีมเมอร์ (Streamer Theory)

เนื่องจากทฤษฎีของทาวน์เซนต์นั้นกระบวนการแกมมา( $\gamma$ ) สามารถใช้ได้ในกรณีที่ค่าของ  $pd$  ไม่มากนัก ( $p$  คือความดัน,  $d$  คือระยะห่างระหว่างอิเล็กโตรด) น้อยกว่า 800 Torr. สำหรับอากาศ แต่ในกรณีที่ค่า  $pd$  มากกว่านี้ทฤษฎีของทาวน์เซนต์ไม่เพียงพอที่จะอธิบายการดีสชาร์จอีกแบบหนึ่งที่เรียกว่าสปาร์คดีสชาร์จได้ (สปาร์คดีสชาร์จเป็นลักษณะหนึ่งของการดีสชาร์จในก๊าซซึ่งเกิดจากการที่ก๊าซที่เป็นฉนวน ไม่สามารถทนต่อความเครียดของสนามไฟฟ้าที่สูงได้ และเกิดการดีสชาร์จขึ้นอย่างรวดเร็ว) และจากการพิจารณาเหตุผลต่อไปนี้

1. ที่ค่า  $pd$  สูง ๆ คาโอดไม่มีความสำคัญในการเกิดสปาร์ค เพราะว่าการเกิดสปาร์คขึ้นได้ที่แรงดันอันเดียวกัน โดยใช้คาโอดต่างชนิดกัน
2. มีก๊าซดีสชาร์จบางชนิดจะไม่มีคาโอดเข้ามาเกี่ยวข้องเลย (เช่น ฟิวส์)
3. จากการพิจารณาเวลาในการเคลื่อนที่ของไอออนบวกในสนามไฟฟ้าที่ระยะห่างระหว่างอิเล็กโตรดค่าหนึ่งเวลาที่เกิดการสปาร์คควรจะช้ากว่า  $10^{-5}$  วินาทีไปมากแต่จริง ๆ แล้วเวลาที่เกิดการสปาร์คที่ความดันบรรยากาศ (1 atm) เวลาจะช้าไปเพียงประมาณ  $10^{-7}$  วินาที หรือบางครั้งก็จะใช้เวลาน้อยกว่า  $10^{-5}$  วินาที

ดังนั้น Loeb และ Meek จึงได้เสนอทฤษฎีอีกอันหนึ่งซึ่งเรียกว่า ทฤษฎีสตรีมเมอร์ขึ้น (สตรีมเมอร์ลบ) เพื่ออธิบายการเกิดสปาร์คดีสชาร์จ ซึ่งแบ่งออกได้เป็น 4 ขั้นตอน ตามรูปที่ 2.8



รูปที่ 2.8 แสดงวิธีการเกิดการเบรคควาน์แบบสตริมเมอร์ลอบ

เอกสารนี้เป็นเอกสารที่สงวนไว้สำหรับการใช้งานเพื่อการศึกษาเท่านั้น ไม่อนุญาตให้นำไปใช้ประโยชน์ด้านการค้า  
ไม่ว่ากรณีใดๆทั้งสิ้น อีกทั้งห้ามมิให้ตัดแปลงเนื้อหา และต้องอ้างอิงถึงเจ้าของเอกสารทุกครั้งที่มีการนำไปใช้

ตอนที่ 1 : เกิดการเพิ่มขึ้นของอิเล็กตรอนตามวิธีการของทาวน์เซนด้นั้นคือเกิดอะวาลานซ์ของอิเล็กตรอนขึ้น

1 อิเล็กตรอน  $\rightarrow e^{\alpha d}$  อิเล็กตรอน

$E_0$  เป็นสนามไฟฟ้าขณะที่ยังไม่มีประจุออกันอยู่ระหว่างอิเล็กโตรดทั้งสอง

$E_1, E_2, E_3$  เป็นสนามไฟฟ้าในแต่ละส่วนขณะที่มีประจุออกันอยู่

ตอนที่ 2 : ถ้ากำหนดให้  $\alpha x \cong 20$  (อิเล็กตรอนทั้งหมดที่เกิดจากอิเล็กตรอนหนึ่งตัวจะเป็น  $e^{20} \cong 4.85 * 10^8$  ตัว) และอะวาลานซ์ของอิเล็กตรอนจะเคลื่อนที่ด้วยความเร็วประมาณ  $8 * 10^5$  m/s อะวาลานซ์นี้จะแผ่ออกไปที่แอโนดในแบบของสายอิเล็กตรอนซึ่งเรียกว่า สตริเมอร์ลอบ สตริเมอร์ลอบนี้จะมีสนามไฟฟ้าสูง หน้าของอะวาลานซ์จะขยายตัว ไอออนบวกซึ่งอยู่หลังอิเล็กตรอนจะมีสภาพคล้ายประจุที่ออกันอยู่เราอาจแบ่งบริเวณของสนามไฟฟ้าระหว่างอิเล็กโตรดออกได้เป็น 3 ส่วน คือ

- ก. บริเวณหน้าอะวาลานซ์ของอิเล็กตรอนกับแอโนด สนามไฟฟ้า  $E_1$  ในบริเวณนี้จะเพิ่มขึ้น ( $E_1 > E_0$ ) ซึ่งจะทำให้อิเล็กตรอนเคลื่อนที่เข้าหาแอโนดเร็วขึ้นและเข้าสมทบกับอิเล็กตรอนซึ่งเกิดขึ้นในบริเวณนี้เนื่องจากโฟโตไอโอไนเซชัน
- ข. ที่บริเวณหัวของอะวาลานซ์ของอิเล็กตรอน สนามไฟฟ้า  $E_2$  จะลดลง ( $E_2 < E_0$ ) บริเวณนี้จะมีเอ็กซ์ไซเตชันของโมเลกุลมาก ดังนั้นจะมีแสงในบริเวณนี้ซึ่งทำให้เกิดโฟโตไอโอไนเซชัน และอะวาลานซ์ของอิเล็กตรอนตัวใหม่ในบริเวณใกล้เคียงขึ้นมา
- ค. บริเวณระหว่างอะวาลานซ์ของอิเล็กตรอนกับคาโทด สนามไฟฟ้า  $E_3$  ในบริเวณนี้จะเพิ่มขึ้น ( $E_3 > E_0$ ) ทำให้เกิดการไอโอไนเซชัน โดยการชนของอิเล็กตรอน และมีโฟโตไอโอไนเซชันโดยโฟตอนจากตอนหัวของอะวาลานซ์ ดังนั้นจะเกิดสตริเมอร์ขึ้นบริเวณนี้ด้วย และสตริเมอร์จะขยายตัวเข้าหาคาโทด

ตอนที่ 3 : สตริเมอร์จะขยายตัวเข้าหาแอโนดและคาโทดด้วยความเร็ว  $10^6$  ถึง

$2 * 10^6$  m/s สตริเมอร์นี้อาจแยกสาขาออกไปได้

ตอนที่ 4 : สตรีเมอร์ซึ่งมีความนำไฟฟ้าสูงทั้งสองนี้จะขยายตัวถึงคาโอดและอานอด ตอนที่สปาร์กคิซซาร์จะเกิดขึ้นโดยสมบูรณ์ และกระแสจะเพิ่มขึ้นโดยทันที ความต่างศักย์ระหว่างอิเล็กโตรดทั้งสองจะลดลง



เอกสารนี้เป็นเอกสารที่สงวนไว้สำหรับการใช้งานเพื่อการศึกษาเท่านั้น ไม่อนุญาตให้นำไปใช้ประโยชน์ด้านการค้า  
ไม่ว่ากรณีใดๆทั้งสิ้น อีกทั้งห้ามมิให้ดัดแปลงเนื้อหา และต้องอ้างอิงถึงเจ้าของเอกสารทุกครั้งที่มีการนำไปใช้

### บทที่ 3

## อุปกรณ์แบบ Steady-State ของ Townsend

### 3.1 จุดประสงค์ของการทดลองศึกษา

1. ศึกษาถึงโครงสร้างและอุปกรณ์ประกอบของอุปกรณ์แบบ Steady-State ของ Townsend
2. ศึกษาถึงการพัฒนาและการออกแบบ ไอโอไนเซชันแชมเบอร์ (Ionization Chamber)
3. ศึกษาถึงปัจจัยที่มีผลต่อระบบสุญญากาศ
4. เพื่อนำไปใช้ศึกษาการเกิดเบรคดาวน์ในก๊าซที่ค่าของ  $pd$  ต่ำ ๆ ในก๊าซชนิดต่าง ๆ

### 3.2 มุลฐานของวิธี

มุลฐานของวิธีที่ใช้ในงานวิจัยนี้จะใช้วิธีการเปลี่ยนแปลงแรงดันหรือความดัน ( $P$ ) และระยะแก๊ปหรือระยะห่างระหว่างอิเล็กโตรด ( $d$ ) เพื่อศึกษาถึงแรงดันขณะเริ่มเกิดการเบรคดาวน์ซึ่งจะประกอบด้วย

1. การวัดแรงดันเบรคดาวน์ที่เป็นฟังก์ชันของระยะห่างระหว่างอิเล็กโตรด ( $d$ ) ที่ความดัน ( $p$ ) มีค่าคงที่
3. การหาแรงดันเบรคดาวน์ที่เป็นฟังก์ชันของ  $pd$

#### 3.2.1 การคำนวณหาแรงดันเบรคดาวน์ในก๊าซ [4]

จากเงื่อนไขการเกิดเบรคดาวน์ของก๊าซในสนามไฟฟ้าสม่ำเสมอของทาวน์เซนด์ตามสมการที่

2.25 คือ

$$\gamma (e^{\alpha d} - 1) = 1$$

และอาจเขียนเงื่อนไขของการเกิดเบรคดาวน์ในลักษณะทั่วไป เพื่อแทนกระบวนการขั้นที่สองอื่น ๆ ที่มีเงื่อนไขการเกิดเบรคดาวน์ในลักษณะเดียวกันด้วยแฟกเตอร์ตัวหนึ่งคือ  $\Gamma$  ดังนั้นจะเขียนเงื่อนไขทั่วไปของการเกิดเบรคดาวน์ได้ดังนี้

$$\Gamma(e^{\alpha d} - 1) = 1 \quad 3.1$$

เมื่อ

$$\Gamma = \left[ \frac{\gamma_0 + \gamma_1 + \gamma_2 + \dots + n}{n} \right]$$

$\Gamma$  คือจำนวนเฉลี่ยของสัมประสิทธิ์การไอโอไนเซชันที่สองทั้งหมดที่ออกจากคาโอดและจากสมการที่ 3.1  $\alpha d$  จะมีค่าเป็น

$$\alpha d = \ln \left[ \frac{1}{\Gamma + 1} \right] \quad 3.2$$

สัมประสิทธิ์ของการไอโอไนเซชันที่หนึ่ง ( $\alpha$ ) จะมีความสัมพันธ์ตามสมการที่ 2.22 สำหรับในก๊าซชนิดต่าง ๆ อาจเขียนแทนได้ด้วยสมการ

$$\frac{\alpha}{P} = A e^{-B/(E/P)}$$

$$E = \frac{U}{d}$$

เมื่อ  $U$  เป็นแรงดันไฟฟ้า และดังนั้นจะได้

$$\alpha = P A e^{-B/(E/P)} \quad 3.3$$

ซึ่ง  $A$  และ  $B$  เป็นค่าคงตัวจะขึ้นอยู่กับชนิดของก๊าซ ฟังก์ชันตามสมการที่ 3.3 นี้สามารถใช้ได้ในย่านที่จำกัดของ  $E/P$  ที่ช่วงค่าหนึ่งดังแสดงในตารางที่ 3.1

## ตารางที่ 3.1

แสดงค่าคงตัว A และ B ของก๊าซชนิดต่าง ๆ [3]

ก๊าซ	A (cm-Torr) <sup>-1</sup>	B (V cm-Torr) <sup>-1</sup>	ย่านของ E/P ที่ใช้ได้ (V/cm-torr)
Air	15	365	100-800
N <sub>2</sub>	12	342	100-600
H <sub>2</sub>	5.4	139	20-1000
He	3	34(25)	20-150(3-10)
Ne	4	100	100-400
Ar	14	180	100-600
CO <sub>2</sub>	20	466	500-1000
H <sub>2</sub> O	12.9	289	150-1000

จากความสัมพันธ์ตามสมการที่ 3.2 จะได้สัมประสิทธิ์ของการไอไอโนเซชันเป็น

$$\alpha = \left[ \frac{1}{d} \right] \ln \left( \frac{1}{\Gamma + 1} \right)$$

ดังนั้น

$$PAe^{-BPd/u} = \left[ \frac{1}{d} \right] \ln \left( \frac{1}{\Gamma + 1} \right)$$

$$e^{BPd/u} = \left[ \frac{PA d}{\ln(1/\Gamma + 1)} \right]$$

ถ้าให้  $U = Ub$  จะได้

$$Ub = \left[ \frac{BPd}{\ln(APd / \ln(1/\Gamma + 1))} \right] \quad 3.4$$

เอกสารนี้เป็นเอกสารที่สงวนไว้สำหรับการใช้งานเพื่อการศึกษาเท่านั้น ไม่อนุญาตให้นำไปใช้ประโยชน์ด้านการค้า  
ไม่ว่ากรณีใดๆทั้งสิ้น อีกทั้งห้ามมิให้ดัดแปลงเนื้อหา และต้องอ้างอิงถึงเจ้าของเอกสารทุกครั้งที่มีการนำไปใช้

เมื่อ  $U_b$  คือแรงดันเบรคความถี่ A และ B เป็นค่าคงตัวของก๊าซแต่ละชนิด ตามตารางที่ 3.1 ซึ่งจากการศึกษาพบว่า  $U_b$  นี้จะขึ้นอยู่กับ  $pd$  แรงดันเริ่มต้น ( $U_i$ ) ของการเกิดเบรคความถี่สามารถหาได้จากสมการที่ 3.5 โดยการอินทิเกรตสมการที่ 3.4 เทียบกับ  $pd$  แล้วให้เท่ากับศูนย์จะได้

$$\frac{dU_b}{d(pd)} = \left[ \frac{B}{\ln(Apd / \ln(1/\Gamma + 1))} \right] - \left[ \frac{B}{\ln(Apd / \ln(1/\Gamma + 1))^2} \right] = 0$$

นั่นคือ 
$$\ln \left[ \frac{Apd}{\ln(1/\Gamma + 1)} \right] = 1$$

และจะได้ 
$$(pd)_{\min} = \left[ \frac{e}{A} \right] \ln(1/\Gamma + 1)$$

ดังนั้น 
$$U_i = 2.718 \left[ \frac{B}{A} \right] \ln(1/\Gamma + 1) \quad 3.5$$

ในสนามไฟฟ้าที่สม่ำเสมอแรงดันที่ต่ำกว่าค่า  $U_i$  นี้ จะไม่สามารถทำให้เกิดการเบรคความถี่ในก๊าซขึ้นได้ไม่ว่าจะทำให้ระยะห่างระหว่างอิเล็กโตรดน้อยลงหรือความดันจะต่ำลงเท่าใดก็ตาม

สำหรับค่าของ  $\Gamma$  ในก๊าซเฉื่อยจะมีค่าอยู่ระหว่าง 0.01 ถึง 0.1 ในก๊าซไนโตรเจนจะมีค่าประมาณ  $10^{-4}$  และในอากาศจะมีค่าประมาณ  $10^{-5}$  (ค่านี้สำหรับในก๊าซไนโตรเจนและอากาศใช้ได้ ที่  $pd = 760 \text{ mmHg.cm}$ )[2]

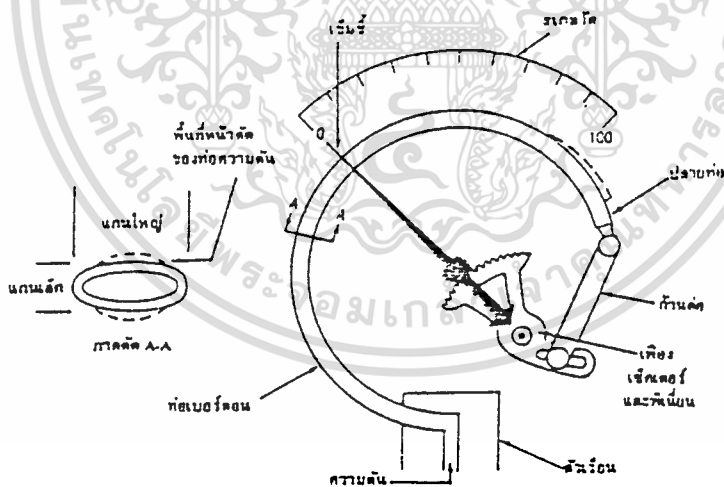
### 3.3 ไอโอไนเซชันแชมเบอร์ (Ionization Chamber) [5]

ไอโอไนเซชันแชมเบอร์ จะมีโครงสร้างของตัวถังเป็นรูปทรงกระบอก ที่ถูกสร้างขึ้นจากแผ่นเหล็กเหนียวชนิด (SS-41) และมีปริมาตรความจุ 83 ลิตร ผิวภายในทั้งหมดจะถูกฉาบด้วยทองแดงหนา 0.04 mm เพื่อที่จะให้ได้ผิวเป็น Equipotential และลดการ Outgassing ให้น้อยที่สุดที่ผิวของแชมเบอร์จะมีหน้าต่างที่ออกแบบขึ้นมาเพื่อใช้ในการสอดมือเข้าไปปรับระดับขั้วอิเล็กโตรดภายใน และมีช่องกระจกสำหรับมองเพื่อสังเกตดูการเกิดการเบรคความถี่ของก๊าซ โดยชุดหน้าต่างนี้จะสามารถเปิด-ปิดได้ และเมื่อปิดแล้วจะต้องไม่มีการรั่วซึมตามรอยต่อ และที่ผิวของแชมเบอร์จะมีท่อถูกต้องออกมาสองท่อ เพื่อใช้ในการสูบอากาศออกและเติมก๊าซตามชนิดที่ต้องการเข้าไป อากาศภายในจะถูกสูบออกโดยใช้ Rotary Vane Vacuum Pump เพียงอย่างเดียว ความดันสุดท้ายในการสูบอากาศออกจะได้

ประมาณ  $5.8 \times 10^{-1}$  Torr ซึ่งหากเราใช้ Oil Diffusion Pump ด้วย โดยใช้เวลาในการปั๊มประมาณ 24 ชั่วโมง จะได้ความดันสุดท้ายประมาณ  $10^{-5}$  Torr สำหรับอัตราเร็วของแอมเบอร์นี่จะมีอัตราการรั่วประมาณ 6 Torr/ชม. ซึ่งการซีลตามข้อต่อต่าง ๆ จะมีผลกับแอมเบอร์นี่มากการซีลที่ดีจะทำให้อัตราการรั่วลดลงเป็นอย่างมากและจะทำให้ระบบมีประสิทธิภาพดีขึ้น

### 3.3.1 เกจวัดความดันแบบเบอร์ดอน (Bourdon Gauge) [6]

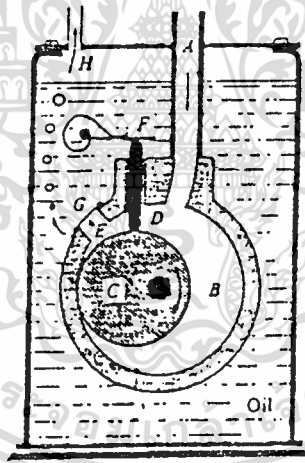
เกจวัดความดันที่ใช้ในงานวิจัยนี้ จะใช้เกจวัดความดันแบบที่มีโครงสร้างเป็นเบอร์ดอนรูปตัวซี (C-Bourdon) ซึ่งจะมีท่อเบอร์ดอนเป็นรูปตัวซี ลักษณะ โครงสร้างของเกจแบบนี้ได้แสดงไว้ในรูปที่ 3.1 โดยมีหลักการทำงานคือ อากาศภายในท่อเบอร์ดอนจะถูกดูดออกไปยังบรรยากาศภายนอก (ซึ่งท่อเบอร์ดอนนี้จะมีลักษณะพื้นที่หน้าตัดเป็นรูปวงรี ดังที่แสดงไว้ในรูป 3.1) ซึ่งจะทำให้ความดันอากาศ ภายในท่อเบอร์ดอนต่ำกว่าความดันภายนอก (ความดันบรรยากาศ) จะทำให้เกิดความเครียดขึ้นภายในท่อเบอร์ดอนและเกิดการหดตัวขึ้น ซึ่งการหดตัวของท่อเบอร์ดอนนี้จะขึ้นอยู่กับความดันอากาศภายในท่อเบอร์ดอนและขนาดของท่อเบอร์ดอน ที่ปลายของท่อเบอร์ดอนจะมีก้านต่อที่ต่อไปยังชุดเพื่องเพื่อใช้หมุนเข็มชี้ที่อยู่บนสเกลวัด



รูปที่ 3.1 รูปแสดงโครงสร้างของเบอร์ดอนเกจรูปตัวซี

### 3.3.2 ปัมสุญญากาศ (Rotary vane pumps) [7]

ปัมสุญญากาศที่ใช้จะเป็นโรตารีเวนปัม (Rotary vane pumps) ปัมแบบนี้จะมีโครงสร้างตามรูปที่ 3.2 จากรูปสามารถอธิบายการทำงานของปัมได้โดยในขั้นแรกแชมเบอร์ที่ต้องการทำให้เป็นสุญญากาศจะถูกต่อโดยท่อนำอากาศ A ซึ่งท่อนี้จะนำอากาศไปยังช่องว่างที่จุด B งานเยื้องศูนย์กลางในกระบอกที่จุดซีจะหมุนตามทิศทางที่แสดงไว้ จุดสัมผัสระหว่างงานเยื้องศูนย์กลางกับผิวภายในกระบอกสูบจะเคลื่อนที่ไปรอบ ๆ กระบอกสูบในทิศทางเดียวกับเข็มนาฬิกา ดังนั้นอากาศจะถูกอัดมารวมกันที่ช่องว่าง E และงานเยื้องศูนย์กลางจะเคลื่อนไปที่จุด D ที่จุดนี้จะมีแท่ง F ที่สัมผัสกับงานเยื้องศูนย์กลางอยู่ตลอดเวลาของการหมุนซึ่งทำหน้าที่กั้นอากาศ เมื่ออากาศที่จุด E ถูกอัดจนมีความดันมากพอวาล์ว G จะถูกเปิดออกอากาศจะเป็นฟองดันน้ำมันและออกไปยังบรรยากาศภายนอกโดยผ่านท่อ H สำหรับการหมุนของงานเยื้องศูนย์กลางนั้นจะใช้มอเตอร์ไฟฟ้าเป็นตัวขับ ปัมชนิดนี้มีอัตราการดูดอากาศออกที่สูงมากสามารถทำสุญญากาศสูง ๆ ได้ในระยะเวลาสั้น ๆ ขณะที่เริ่มทำงานต้องการทอร์คที่ใช้สำหรับเริ่มเดินปัมต่ำ ระดับความสั่นสะเทือนขณะเดินเครื่องและเสียงรบกวนต่ำ



รูปที่ 3.2 รูปแสดงโครงสร้างของโรตารีเวนปัม

### 3.3.3 การพัฒนาและการออกแบบแอโนด (Anode) และคาโทด (Cathode) [5] [8]

ส่วนประกอบที่สำคัญอย่างหนึ่งของไอโอไนเซชันแชมเบอร์ก็คือ การออกแบบขั้วอิเล็กโทรด ซึ่งขั้วอิเล็กโทรดนี้จะเป็นตัวทำให้เกิดการเบรคดาวน์ ในการศึกษานี้จะศึกษาแรงดันที่เริ่มเกิดการ

เบรคความโน้มในสนามไฟฟ้าที่สม่ำเสมอ เพราะฉะนั้นสนามไฟฟ้าที่บริเวณระหว่างขั้วอิเล็กโตรดต้องมีความสม่ำเสมอ จากการศึกษาพบว่า ขั้วอิเล็กโตรดที่มีการออกแบบให้เป็นแบบ Rogowski จะมีสนามไฟฟ้าบริเวณระหว่างขั้วอิเล็กโตรดที่สม่ำเสมอ (สำหรับขั้วอิเล็กโตรดที่เป็นแผ่นระนาบกับแผ่นระนาบจะมีสนามไฟฟ้าบริเวณขอบสูงกว่าตรงกลาง และขั้วอิเล็กโตรดที่เป็นแผ่นระนาบกับทรงกลมจะสนามไฟฟ้าตรงกลางจะสูงกว่าบริเวณข้าง ๆ) ซึ่งในการออกแบบ Rogowski Electrode ที่จะนำมาใช้นั้นเราจะใช้สมการของ Maxwell ในการวิเคราะห์และคำนวณหาจุดต่างๆ ของ Equipotential Surface เพื่อหาค่าในการออกแบบที่ถูกต้องและเหมาะสม ซึ่งสมการของ Maxwell ที่ใช้ในการออกแบบมีดังนี้

$$X = A(\phi + e^\phi \cos \Psi)$$

$$Y = A(\Psi + e^\phi \sin \Psi)$$

A = อัตราส่วนของระยะห่างระหว่าง Finite Plane กับ Infinite Plane คือ

$\phi$  = เส้นแรงของสนามไฟฟ้า

$\Psi$  = Equipotential Surface

X และ Y คือจุด Coordinates ในตำแหน่งต่าง ๆ ระหว่าง Finite Plane กับ Infinite Plane

จากสมการของ Maxwell ที่ใช้ในการคำนวณเพื่อออกแบบอิเล็กโตรด เราจะสมมติและกำหนดให้ค่า  $\Psi$  คงที่ สมมติค่า  $\phi$  และเปลี่ยนค่า  $\phi$  ไปเรื่อย ๆ โดยค่า  $\phi$  ที่เราสมมติขึ้นเมื่อนำเข้าไปแทนในสมการของ Maxwell แล้วต้องสามารถหาค่าของ X และ Y ได้ซึ่งจะทำให้ได้ Equipotential Surface มาเส้นหนึ่ง ในการออกแบบนี้เราจะสมมติค่า  $\Psi$  หลาย ๆ ค่า และค่าที่สมมติจะต้องเป็นไปตามสมการ  $\Psi = (v/V) \pi$  (ในการออกแบบนี้จะสมมติค่า  $\Psi$  ต่ำสุดที่  $\Psi = 0.2\pi$  และค่า  $\Psi$  สูงสุดที่  $\Psi = 0.8\pi$ ) จากการคำนวณตามสมการของ Maxwell ค่า  $\Psi$  ที่ดีที่สุดคือ  $\pi/2$  [8] แต่ในการออกแบบ Rogowski Electrode จะใช้ค่า  $\Psi = (2/3)\pi$  [8] ซึ่งค่านี้จากการนำไปแทนใน สมการเพื่อหาค่า X, Y และนำค่า ที่ได้ไปพล็อตระหว่าง Infinite Plane กับ Finite Plane

จะเห็นได้ว่าที่เส้น  $\Psi = (2/3)\pi$  สนามไฟฟ้าบริเวณส่วนโค้งของ Electrode จะมีน้อยกว่าบริเวณตรงกลางซึ่งสามารถนำค่า  $\Psi = (2/3)\pi$  นี้ ไปออกแบบอิเล็กโตรดได้ และเป็นเส้นที่มีความ

สะดวกในการกลิ้งขึ้นรูปและง่ายต่อการติดตั้งใช้งาน การคำนวณหาค่า X, Y ในการออกแบบ Rogowski Electrode มีดังนี้

จากสมการของ Maxwell [8]

$$X = A(\phi + e^\phi \cos \Psi)$$

$$Y = A(\Psi + e^\phi \sin \Psi)$$

ในการออกแบบนี้จะกำหนดระยะห่างระหว่าง Finite Plane กับ Infinite Plane เท่ากับ 40 mm ( $a = 40$  mm) ซึ่งค่าที่ได้จากการออกแบบ ที่ค่า  $\Psi = 0.2\pi$  ถึง  $0.8\pi$  ได้แสดงไว้ตามตารางที่ 3.2 ถึง 3.7

$\phi$	-5.0	-4.0	-3.0	-2.0	-1.5	-1.0	-0.5	0	0.5	1.0	1.5
X (mm)	-63.5	-50.6	-37.5	-24.0	-16.8	-8.9	-0.118	-10.3	-23.3	-40.7	-65.2
Y(mm)	8.05	8.13	8.37	9.01	9.66	10.75	12.53	15.48	20.38	28.34	41.5

ตารางที่ 3.2 แสดงการหาค่า X, Y โดยการสมมติ  $\Psi = 0.2\pi$

$\phi$	-5.0	-4.0	-3.0	-2.0	-1.5	-1.0	-0.5	0	0.5	1.0	1.5
X(mm)	-63.6	-50.8	-38.0	-24.9	-18.2	-11.3	-3.97	3.97	12.85	23.24	36.73
Y(mm)	16.08	16.22	16.6	17.63	18.70	20.45	23.34	28.10	35.96	48.91	70.26

ตารางที่ 3.3 แสดงการหาค่า X, Y โดยการสมมติ  $\Psi = 0.4\pi$

เอกสารนี้เป็นเอกสารที่สงวนไว้สำหรับการใช้งานเพื่อการศึกษาเท่านั้น ไม่อนุญาตให้นำไปใช้ประโยชน์ด้านการค้า  
ไม่ว่ากรณีใดๆทั้งสิ้น อีกทั้งห้ามมิให้ตัดแปลงเนื้อหา และต้องอ้างอิงถึงเจ้าของเอกสารทุกครั้งที่มีการนำไปใช้

$\phi$	-5.0	-4.0	-3.0	-2.0	-1.5	-1.0	-0.5	0	0.5	1.0	1.5
X(mm)	-63.66	-50.92	-38.19	-25.4	-19.09	-12.73	-6.36	0	6.36	12.73	19.09
Y(mm)	20.08	20.23	20.63	21.72	22.84	24.68	27.72	32.73	40.99	54.61	77.06

ตารางที่ 3.4 แสดงการหาค่า X, Y โดยการสมมติ  $\psi = 0.5\pi$

$\phi$	-5.0	-4.0	-3.0	-2.0	-1.5	-1.0	-0.5	0	0.5	1.0	1.5
X(mm)	-63.68	-51.00	-38.39	-25.99	-19.97	-14.17	-8.75	-3.93	-0.12	2.03	1.46
Y(mm)	24.08	24.22	24.60	25.63	26.70	28.45	31.34	36.10	43.96	56.91	78.26

ตารางที่ 3.5 แสดงการหาค่า X, Y โดยการสมมติ  $\psi = 0.6\pi$

$\phi$	-5.0	-4.0	-3.0	-2.0	-1.5	-1.0	-0.5	0	0.5	1.0	1.5
X(mm)	-63.70	-51.04	-38.51	-26.32	-20.51	-15.07	-10.22	-6.36	-4.52	-4.57	-9.43
Y(mm)	26.87	27.00	27.34	28.29	29.62	30.85	33.48	37.82	44.97	56.77	76.21

ตารางที่ 3.6 แสดงการหาค่า X, Y โดยการสมมติ  $\psi = 0.67\pi$

เอกสารนี้เป็นเอกสารที่สงวนไว้สำหรับการใช้งานเพื่อการศึกษาเท่านั้น ไม่อนุญาตให้นำไปใช้ประโยชน์ด้านการค้า  
ไม่ว่ากรณีใดๆทั้งสิ้น อีกทั้งห้ามมิให้ตัดแปลงเนื้อหา และต้องอ้างอิงถึงเจ้าของเอกสารทุกครั้งที่มีการนำไปใช้

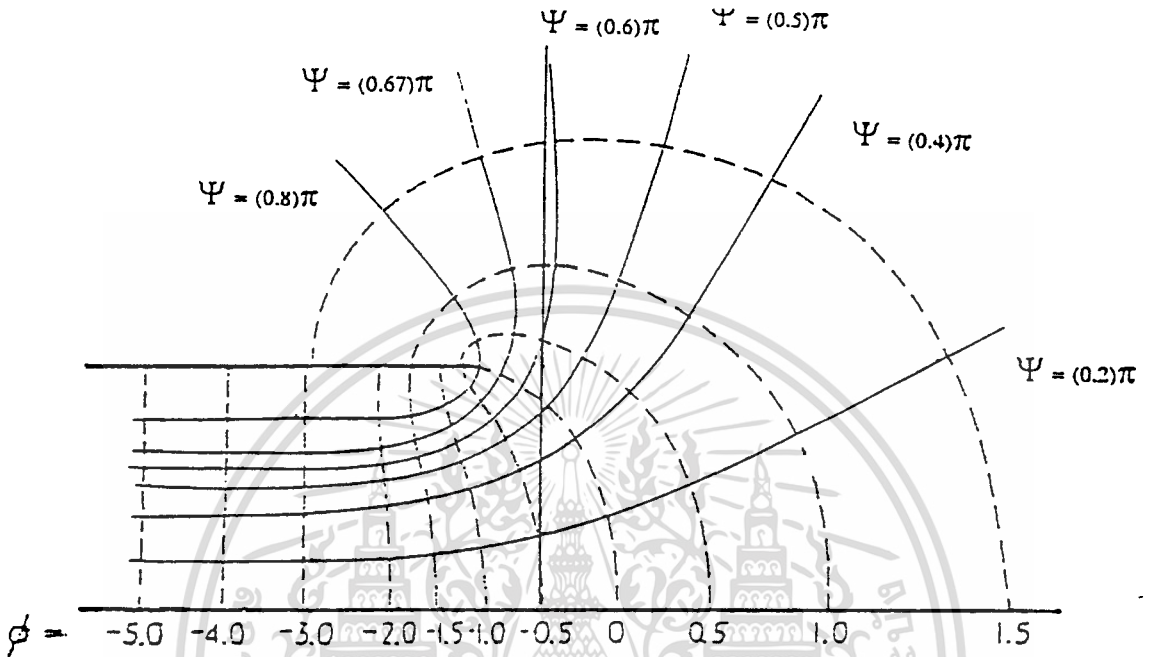
$\phi$	-5.0	-4.0	-3.0	-2.0	-1.5	-1.0	-0.5	0	0.5	1.0	1.5
X(mm)	-63.73	-51.11	-38.71	-26.85	-21.39	-16.52	-12.61	-10.30	-10.61	-15.26	-27.06
Y(mm)	32.05	32.13	32.37	33.01	33.66	34.75	36.53	39.48	44.33	52.34	65.54

ตารางที่ 3.7 แสดงการหาค่า X, Y โดยการสมมติ  $\psi = 0.8\pi$



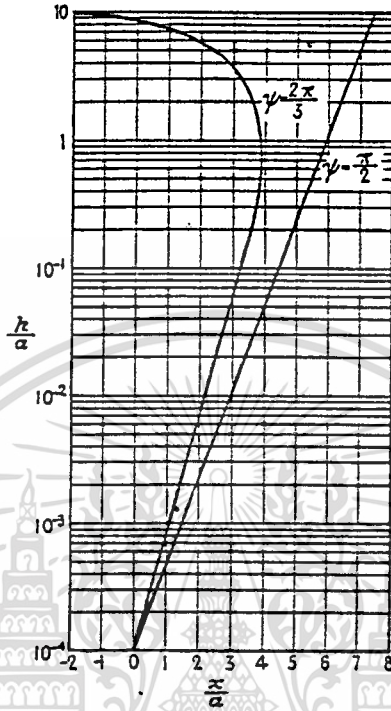
รูปที่ 3.3 รูปแสดงการกำหนดตำแหน่งระหว่าง Finite Plane กับ Infinite Plane

เอกสารนี้เป็นเอกสารที่สงวนไว้สำหรับการใช้งานเพื่อการศึกษาเท่านั้น ไม่อนุญาตให้นำไปใช้ประโยชน์ด้านการค้า  
ไม่ว่ากรณีใดๆทั้งสิ้น อีกทั้งห้ามมิให้ดัดแปลงเนื้อหา และต้องอ้างอิงถึงเจ้าของเอกสารทุกครั้งที่มีการนำไปใช้



รูปที่ 3.4 รูปแสดงเส้นแรงไฟฟ้าและเส้นศักย์เท่าที่ขอบของ Finite Plane

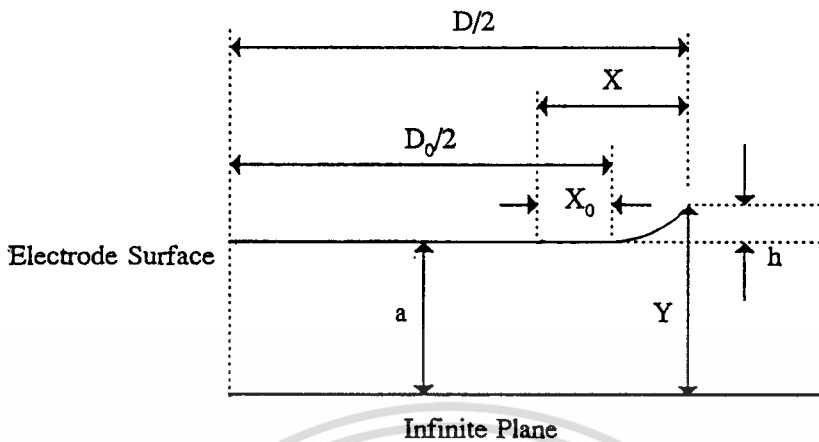
จากการคำนวณตามสมการของ Maxwell แล้วนำค่าที่ได้ไปพล็อตกราฟ จากรูปของเส้นกราฟ ถ้าค่าของ  $\psi$  แตกต่างกัน เส้นกราฟก็จะมีรูปเส้นที่แตกต่างกัน ในการออกแบบนี้เราเลือกค่า  $\psi$  เท่ากับ  $(2/3)\pi$  เพราะมีความสะดวกในการติดตั้งใช้งานเมื่อได้ค่า  $\psi$  แล้ว เราจะนำค่า  $\psi$  นี้ ไปออกแบบขั้วอิเล็กโทรด โดยการใช้ความสัมพันธ์ของ Stoerk จาก  $(h/a)$  และ  $(x/a)$  ความสัมพันธ์ของ Stoerk มีดังนี้



รูปที่ 3.5 รูปแสดงความสัมพันธ์ของ Stoerk

เมื่อ

- h คือ ความสูงของจุด ๆ หนึ่ง ของบริเวณที่เป็นส่วนโค้ง
- a คือ 1/2 ของระยะห่างระหว่างอิเล็กโตรดสูงสุด
- x คือ ระยะทางวัดในทิศทางของ Infinite Plane จากจุด R ไปถึงจุด P



รูปที่ 3.6 รูปแสดงการหา Surface Profile ของ Rogowski Electrode

เมื่อ

$D$  คือ เส้นผ่าศูนย์กลางของวงกลมที่เกิดจากการหมุนที่จุด  $P$  รอบแกนหมุน

$D_0$  คือ เส้นผ่าศูนย์กลางของ Flat Central Portion

$x_0$  คือ ระยะห่างระหว่างจุด  $Q$  กับ  $R$  ซึ่ง  $x_0$  หาได้จากความสัมพันธ์ของ

Stoerk

$y$  คือ ความสูงของ  $P$  เหนือ Infinite Plane

ในการออกแบบนี้จะกำหนดให้ระยะห่างระหว่างคาโอดและอานอคเท่ากับ 40 mm. ดังนั้น  $a$  จะเท่ากับ 20 mm. เราจะหาจุดเริ่มโค้งขึ้นของอิเล็กโทรด โดยการสมมติให้  $h = 10^{-1}$  mm. เพื่อจะนำไปหาค่า  $(x_0/a)$  จากกราฟความสัมพันธ์ของ Stoerk จะได้  $(x_0/a) = 1.7$  ดังนั้น  $x_0 = 1.7 \times 20 = 35$  mm. ในการหาจุด  $P$  ตามส่วนโค้งของอิเล็กโทรด เราจะสมมติค่า  $h$  ไปเรื่อย ๆ (โดยเริ่มต้นจาก  $h = 10^{-1}$  mm [8]) และเราจะหาค่า  $x$  ได้จากกราฟความสัมพันธ์ของ Stoerk ในการออกแบบนี้จะเริ่มต้นที่  $h = 10^{-1}$  mm ถึง  $h = 50$  mm ซึ่งวิธีการหาค่า  $x$  ตามการเปลี่ยนแปลงของ  $h$  ได้แสดงดังนี้ [5]

$$\text{สมมติให้ } h = 2.5 \text{ mm.}$$

$$a = 20 \text{ mm.}$$

$$\text{จะได้ค่า } (h/a) = (2.5/20) = 1.25 \times 10^{-1}$$

นำค่า  $(h/a)$  ที่คำนวณได้ ไปหาค่า  $(x/a)$  จากกราฟความสัมพันธ์

$$\text{จะได้ค่า } (x/a) = 3.3$$

$$x = 3.3 * 20 = 66 \text{ mm.}$$

จะได้จุด ๆ หนึ่ง ตามแกนในแนว Infinite plane เป็น 66 mm.

$$\text{สมมติให้ } h = 5.0 \text{ mm.}$$

$$a = 20 \text{ mm.}$$

$$\text{จะได้ค่า } (h/a) = (5.0/20) = 2.5 \times 10^{-1}$$

นำค่า  $(h/a)$  ที่คำนวณได้ ไปหาค่า  $(x/a)$  จากกราฟความสัมพันธ์

$$\text{จะได้ค่า } (x/a) = 3.5$$

$$x = 3.5 * 20 = 70 \text{ mm.}$$

จะได้จุด ๆ หนึ่ง ตามแกนในแนว Infinite plane เป็น 70 mm

$$\text{สมมติให้ } h = 7.5 \text{ mm.}$$

$$a = 20 \text{ mm.}$$

$$\text{จะได้ค่า } (h/a) = (7.5/20) = 3.76 \times 10^{-1}$$

นำค่า  $(h/a)$  ที่คำนวณได้ ไปหาค่า  $(x/a)$  จากกราฟความสัมพันธ์

$$\text{จะได้ค่า } (x/a) = 3.8$$

$$x = 3.8 * 20 = 76 \text{ mm.}$$

จะได้จุด ๆ หนึ่ง ตามแกนในแนว Infinite plane เป็น 76 mm

$$\text{สมมติให้ } h = 10.0 \text{ mm.}$$

$$a = 20 \text{ mm.}$$

$$\text{จะได้ค่า } (h/a) = (10.0/20) = 5 \times 10^{-1}$$

นำค่า  $(h/a)$  ที่คำนวณได้ ไปหาค่า  $(x/a)$  จากกราฟความสัมพันธ์

$$\text{จะได้ค่า } (x/a) = 3.8$$

$$x = 3.8 * 20 = 76 \text{ mm.}$$

.จะได้จุด ๆ หนึ่ง ตามแกนในแนว Infinite plane เป็น 76 mm

สมมติให้  $h = 12.5 \text{ mm.}$

$$a = 20 \text{ mm.}$$

$$\text{จะได้ค่า } (h/a) = (12.5/20) = 6.25 \times 10^{-1}$$

นำค่า (h/a) ที่คำนวณได้ ไปหาค่า (x/a) จากกราฟความสัมพันธ์

$$\text{จะได้ค่า } (x/a) = 3.8$$

$$x = 3.8 * 20 = 76 \text{ mm.}$$

.จะได้จุด ๆ หนึ่ง ตามแกนในแนว Infinite plane เป็น 76 mm

สมมติให้  $h = 15 \text{ mm.}$

$$a = 20 \text{ mm.}$$

$$\text{จะได้ค่า } (h/a) = (15/20) = 7.5 \times 10^{-1}$$

นำค่า (h/a) ที่คำนวณได้ ไปหาค่า (x/a) จากกราฟความสัมพันธ์

$$\text{จะได้ค่า } (x/a) = 4$$

$$x = 4 * 20 = 80 \text{ mm.}$$

.จะได้จุด ๆ หนึ่ง ตามแกนในแนว Infinite plane เป็น 80 mm

สมมติให้  $h = 17.5 \text{ mm.}$

$$a = 20 \text{ mm.}$$

$$\text{จะได้ค่า } (h/a) = (17.5/20) = 8.75 \times 10^{-1}$$

นำค่า (h/a) ที่คำนวณได้ ไปหาค่า (x/a) จากกราฟความสัมพันธ์

$$\text{จะได้ค่า } (x/a) = 3.9$$

$$x = 3.9 * 20 = 78 \text{ mm.}$$

.จะได้จุด ๆ หนึ่ง ตามแกนในแนว Infinite plane เป็น 78 mm

สมมติให้  $h = 20 \text{ mm.}$

$a = 20 \text{ mm.}$

จะได้ค่า  $(h/a) = (20/20) = 1$

นำค่า  $(h/a)$  ที่คำนวณได้ ไปหาค่า  $(x/a)$  จากกราฟความสัมพันธ์

จะได้ค่า  $(x/a) = 3.8$

$x = 3.8 * 20 = 76 \text{ mm.}$

จะได้จุด ๆ หนึ่ง ตามแกนในแนว Infinite plane เป็น 76 mm

สมมติให้  $h = 22.5 \text{ mm.}$

$a = 20 \text{ mm.}$

จะได้ค่า  $(h/a) = (22.5/20) = 1.125$

นำค่า  $(h/a)$  ที่คำนวณได้ ไปหาค่า  $(x/a)$  จากกราฟความสัมพันธ์

จะได้ค่า  $(x/a) = 3.7$

$x = 3.7 * 20 = 74 \text{ mm.}$

จะได้จุด ๆ หนึ่ง ตามแกนในแนว Infinite plane เป็น 74 mm

สมมติให้  $h = 30 \text{ mm.}$

$a = 20 \text{ mm.}$

จะได้ค่า  $(h/a) = (30/20) = 1.5$

นำค่า  $(h/a)$  ที่คำนวณได้ ไปหาค่า  $(x/a)$  จากกราฟความสัมพันธ์

จะได้ค่า  $(x/a) = 3.7$

$x = 3.7 * 20 = 74 \text{ mm.}$

จะได้จุด ๆ หนึ่ง ตามแกนในแนว Infinite plane เป็น 74 mm

สมมติให้  $h = 25 \text{ mm.}$

$a = 20 \text{ mm.}$

จะได้ค่า  $(h/a) = (25/20) = 1.25$

นำค่า  $(h/a)$  ที่คำนวณได้ ไปหาค่า  $(x/a)$  จากกราฟความสัมพันธ์

จะได้ค่า  $(h/a) = 3.8$

$x = 3.8 * 20 = 76 \text{ mm.}$

จะได้จุด ๆ หนึ่ง ตามแกนในแนว Infinite plane เป็น 76 mm

$$\text{สมมติให้ } h = 27.5 \text{ mm.}$$

$$a = 20 \text{ mm.}$$

$$\text{จะได้ค่า } (h/a) = (27.5/20) = 1.375$$

นำค่า (h/a) ที่คำนวณได้ ไปหาค่า (x/a) จากกราฟความสัมพันธ์

$$\text{จะได้ค่า } (x/a) = 3.7$$

$$x = 3.7 * 20 = 74 \text{ mm.}$$

จะได้จุด ๆ หนึ่ง ตามแกนในแนว Infinite plane เป็น 74 mm

$$\text{สมมติให้ } h = 32.5 \text{ mm.}$$

$$a = 20 \text{ mm.}$$

$$\text{จะได้ค่า } (h/a) = (32.5/20) = 1.625$$

นำค่า (h/a) ที่คำนวณได้ ไปหาค่า (x/a) จากกราฟความสัมพันธ์

$$\text{จะได้ค่า } (x/a) = 3.5$$

$$x = 3.5 * 20 = 70 \text{ mm.}$$

จะได้จุด ๆ หนึ่ง ตามแกนในแนว Infinite plane เป็น 70 mm

$$\text{สมมติให้ } h = 40 \text{ mm.}$$

$$a = 20 \text{ mm.}$$

$$\text{จะได้ค่า } (h/a) = (40/20) = 2.0$$

นำค่า (h/a) ที่คำนวณได้ ไปหาค่า (x/a) จากกราฟความสัมพันธ์

$$\text{จะได้ค่า } (x/a) = 3.5$$

$$x = 3.5 * 20 = 70 \text{ mm.}$$

จะได้จุด ๆ หนึ่ง ตามแกนในแนว Infinite plane เป็น 70 mm

$$\text{สมมติให้ } h = 35 \text{ mm.}$$

$$a = 20 \text{ mm.}$$

$$\text{จะได้ค่า } (h/a) = (35/20) = 1.75$$

นำค่า (h/a) ที่คำนวณได้ ไปหาค่า (x/a) จากกราฟความสัมพันธ์

$$\text{จะได้ค่า } (x/a) = 3.7$$

$$x = 3.7 * 20 = 74 \text{ mm.}$$

จะได้จุด ๆ หนึ่ง ตามแกนในแนว Infinite plane เป็น 74 mm

$$\text{สมมติให้ } h = 37.5 \text{ mm.}$$

$$a = 20 \text{ mm.}$$

$$\text{จะได้ค่า } (h/a) = (37.5/20) = 1.875$$

นำค่า (h/a) ที่คำนวณได้ ไปหาค่า (x/a) จากกราฟความสัมพันธ์

$$\text{จะได้ค่า } (x/a) = 3.55$$

$$x = 3.55 * 20 = 71 \text{ mm.}$$

จะได้จุด ๆ หนึ่ง ตามแกนในแนว Infinite plane เป็น 71 mm

$$\text{สมมติให้ } h = 42.5 \text{ mm.}$$

$$a = 20 \text{ mm.}$$

$$\text{จะได้ค่า } (h/a) = (42.5/20) = 2.125$$

นำค่า (h/a) ที่คำนวณได้ ไปหาค่า (x/a) จากกราฟความสัมพันธ์

$$\text{จะได้ค่า } (x/a) = 3.5$$

$$x = 3.5 * 20 = 70 \text{ mm.}$$

จะได้จุด ๆ หนึ่ง ตามแกนในแนว Infinite plane เป็น 70 mm

$$\text{สมมติให้ } h = 45 \text{ mm.}$$

$$a = 20 \text{ mm.}$$

$$\text{จะได้ค่า } (h/a) = (45/20) = 2.25$$

นำค่า (h/a) ที่คำนวณได้ ไปหาค่า (x/a) จากกราฟความสัมพันธ์

$$\text{จะได้ค่า } (x/a) = 3.5$$

$$x = 3.5 * 20 = 70 \text{ mm.}$$

จะได้จุด ๆ หนึ่ง ตามแกนในแนว Infinite plane เป็น 70 mm

$$\text{สมมติให้ } h = 47.5 \text{ mm.}$$

$$a = 20 \text{ mm.}$$

$$\text{จะได้ค่า } (h/a) = (47.5/20) = 2.375$$

นำค่า  $(h/a)$  ที่คำนวณได้ ไปหาค่า  $(x/a)$  จากกราฟความสัมพันธ์

$$\text{จะได้ค่า } (x/a) = 3.3$$

$$x = 3.3 * 20 = 66 \text{ mm.}$$

จะได้จุด ๆ หนึ่ง ตามแกนในแนว Infinite plane เป็น 66 mm

$$\text{สมมติให้ } h = 50 \text{ mm.}$$

$$a = 20 \text{ mm.}$$

$$\text{จะได้ค่า } (x/a) = (50/20) = 2.5$$

นำค่า  $(h/a)$  ที่คำนวณได้ ไปหาค่า  $(x/a)$  จากกราฟความสัมพันธ์

$$\text{จะได้ค่า } (h/a) = 3.2$$

$$x = 3.2 * 20 = 64 \text{ mm.}$$

จะได้จุด ๆ หนึ่ง ตามแกนในแนว Infinite plane เป็น 64 mm

จากการคำนวณหาค่า  $X$  ทุกค่าเราสามารถหาค่า  $D$  ได้จากรูป

$$D/2 = D_0/2 - x_0 + x$$

$$D = D_0 - 2x_0 + 2x$$

$$D = D_0 + 2(x-x_0)$$

ดังนั้น เราสามารถหาค่าเส้นผ่านศูนย์กลาง ( $D$ ) ได้ โดยแทนค่า  $x$ ,  $x_0$ ,  $D_0$  จากการออกแบบ เมื่อใช้ค่า  $\psi = (2/3)\pi$  จะได้ Profile ที่มี Flat Central Portion เท่ากับ 120 mm. และ Straight Portion ทำมุม 120 กับ Electrode จาก Profile  $\psi = (2/3)\pi$  จะเกิดการเบรคคาวนที่ตรงกลางของอิเล็กโทรดก่อนเสมอ ส่วนขอบที่เป็นส่วนโค้งของอิเล็กโทรดจะมีสนามไฟฟ้าเกิดขึ้นน้อยกว่าบริเวณตรงกลางจึงไม่เกิดการเบรคคาวนขึ้นบริเวณนี้

เอกสารนี้เป็นเอกสารที่สงวนไว้สำหรับการใช้งานเพื่อการศึกษาเท่านั้น ไม่อนุญาตให้นำไปใช้ประโยชน์ด้านการค้า ไม่ว่าจะกรณีใดๆทั้งสิ้น อีกทั้งห้ามมิให้ดัดแปลงเนื้อหา และต้องอ้างอิงถึงเจ้าของเอกสารทุกครั้งที่มีการนำไปใช้

## ตารางที่ 3.8

ตารางแสดงการหา Diameter ของจุดต่าง ๆ บน Profile ที่ออกแบบ

h mm.	h/a	x/a	X mm.	X - X <sub>0</sub> mm.	2(X-X <sub>0</sub> )	2(X-X <sub>0</sub> ) + D <sub>0</sub> =D mm.
2.5	1.25*10 <sup>-1</sup>	3.3	66	31	62	132
5.0	0.25	3.5	70	35	70	140
7.5	0.37	3.8	76	41	82	152
10	0.5	3.8	76	41	82	152
12.5	0.62	3.8	76	41	82	152
15.0	0.75	4	80	45	90	160
17.5	0.87	3.9	78	43	86	156
20	1	3.8	76	41	82	152
22.5	1.12	3.7	74	39	78	148
30	1.5	3.7	74	39	78	148
25	1.25	3.8	76	41	82	152
27.5	1.37	3.7	74	39	78	148
32.5	1.62	3.5	70	35	70	140
40	2.	3.5	70	35	70	140
35	1.75	3.7	74	39	78	148
37.5	1.87	3.5	71	36	72	142
42.5	2.12	3.5	70	35	70	140
45	2.25	3.5	70	35	70	140
47.5	2.37	3.3	66	31	62	132
50	2.5	3.2	64	29	58	128

เอกสารนี้เป็นเอกสารที่สงวนไว้สำหรับการใช้งานเพื่อการศึกษาเท่านั้น ไม่อนุญาตให้นำไปใช้ประโยชน์ด้านการค้า  
ไม่ว่ากรณีใดๆทั้งสิ้น อีกทั้งห้ามมิให้ดัดแปลงเนื้อหา และต้องอ้างอิงถึงเจ้าของเอกสารทุกครั้งที่มีการนำไปใช้



รูปที่ 3.7 แสดงรูป Profile ของอีเด็ค ไตรคที่ออกแบบ

เอกสารนี้เป็นเอกสารที่สงวนไว้สำหรับการใช้งานเพื่อการศึกษาเท่านั้น ไม่อนุญาตให้นำไปใช้ประโยชน์ด้านการค้า  
ไม่ว่ากรณีใดๆทั้งสิ้น อีกทั้งห้ามมิให้ดัดแปลงเนื้อหา และต้องอ้างอิงถึงเจ้าของเอกสารทุกครั้งที่มีการนำไปใช้

อาโนดและคาโอดจะถูกพัฒนาและออกให้เป็นรูป Rogowski (รูปอยู่ในภาคผนวก ก) อาโนดนี้จะทำจากอลูมิเนียม (ALUMINUM-ALLOY) ที่ผ่านขบวนการรีด เพื่ออัดผิวให้แน่นไม่มีรูพรุน ซึ่งจะมีคุณสมบัติที่ดีคือมีน้ำหนักเบา ขึ้นรูปได้ง่าย ทำให้มีผิวเรียบและไม่มีรูพรุนหรือฟองอากาศในเนื้ออลูมิเนียมได้ง่าย ที่บริเวณตรงกลางของตัวอาโนดจะถูกเจาะเป็นรู 49 รู โดยแต่ละรูจะมีเส้นผ่าศูนย์กลาง 1 มม. และรูทั้งหมดจะอยู่ในวงกลมที่มีเส้นผ่าศูนย์กลาง 2 ซม. อาโนดจะถูกยึดติดด้วยเกลียวติดอยู่กับ Anode Bushing และตั้งฉากกับผิวของคาโอดสำหรับรูที่เจาะ 49 รู มีวัตถุประสงค์เพื่อเป็นช่องให้รังสีอุลตราไวโอเลตส่องผ่านไปตกกระทบที่ผิวของคาโอด เพื่อให้เกิดกระแสเริ่มแรก(Io) คาโอดจะตั้งอยู่บน Cathode Supportor ที่ปรับระดับขึ้น-ลงได้ตามแนวตั้งเป็นระยะ 4 ซม. คาโอดนี้จะทำมาจากทองเหลือง ตรงกลางจะเป็นพื้นราบมี Flat Central Protion เท่ากับ 120 mm. และมีเส้นผ่าศูนย์กลางเท่ากับ 155 mm. Cathode Supportor จะทำมาจากเหล็กเหนียว (SS-41) เป็นชิ้นส่วนที่ออกแบบขึ้นมาเพื่อเป็นตัวรองรับคาโอด ซึ่งสามารถถอดเปลี่ยนคาโอดได้โดยยื่นมือเข้ามาทางหน้าต่างของแชมเบอร์ Cathode Supportor นี้จะติดตั้งอยู่บน Adjusting Screens จำนวน 3 ตัว และยึดติดห่างกัน 120 องศา เพื่อใช้เป็นตัวปรับระยะของคาโอดให้ขึ้นลงตามแนวตั้ง [5]

### 3.3.4 การวัดความต้านทานรั่ว (Leakage Resistance)

การวัดความต้านทานรั่ว จะแบ่งออกเป็น 2 กรณีคือระหว่างอาโนดกับตัวถังและคาโอดกับตัวถัง สาเหตุที่วัดใน 2 กรณีนี้คือ

1. ถ้าเกิดความต้านทานรั่วระหว่างอาโนดกับตัวถังอาจทำให้เกิดประกายไฟ (Spark) ระหว่างอาโนดกับตัวถังหรือเกิด Corona ระหว่าง Corona Shield กับตัวถังขึ้นได้
2. ถ้าเกิดความต้านทานรั่วระหว่างคาโอดกับตัวถัง จะทำให้ไม่สามารถวัดกระแสได้ และทำให้ไม่สามารถหาค่าสัมประสิทธิ์ของการไอโอไนเซชัน(C) ได้ จากการทดสอบวัดค่าความต้านทานระหว่างอาโนดกับตัวถังจะมีค่าเท่ากับ  $3 \times 10^{14} \Omega$  และความต้านทานระหว่างคาโอดกับตัวถังจะมีค่าเท่ากับ  $10^{14} \Omega$  ซึ่งเป็นค่าที่สูงมากดังนั้นกระแสรั่วไหลระหว่างอาโนดและคาโอดกับตัวถังจึงมีค่าน้อยมาก

### 3.3.5 การทดสอบการวัดความดันในไอโอไนเซชันแชมเบอร์

ขณะที่แชมเบอร์ถูกปั๊มอากาศออกโดย Rotary Vane Vacuum Pump ที่ความดันเริ่มแรก 1 บรรยากาศ (1 atm) ความดันจะลดลงเรื่อย ๆ เมื่อเวลาผ่านไป ในช่วงแรกของการปั๊มความดันจะลดลงอย่างรวดเร็วและจะค่อย ๆ ลดลงอย่างช้า ๆ เมื่อเวลามากขึ้นผลของการทดสอบได้แสดงไว้

ตามตารางที่ 3.9 โดยตารางที่ 3.9 จะแสดงความดันกับเวลาของการต้มเป็นวินาที

ตารางที่ 3.9

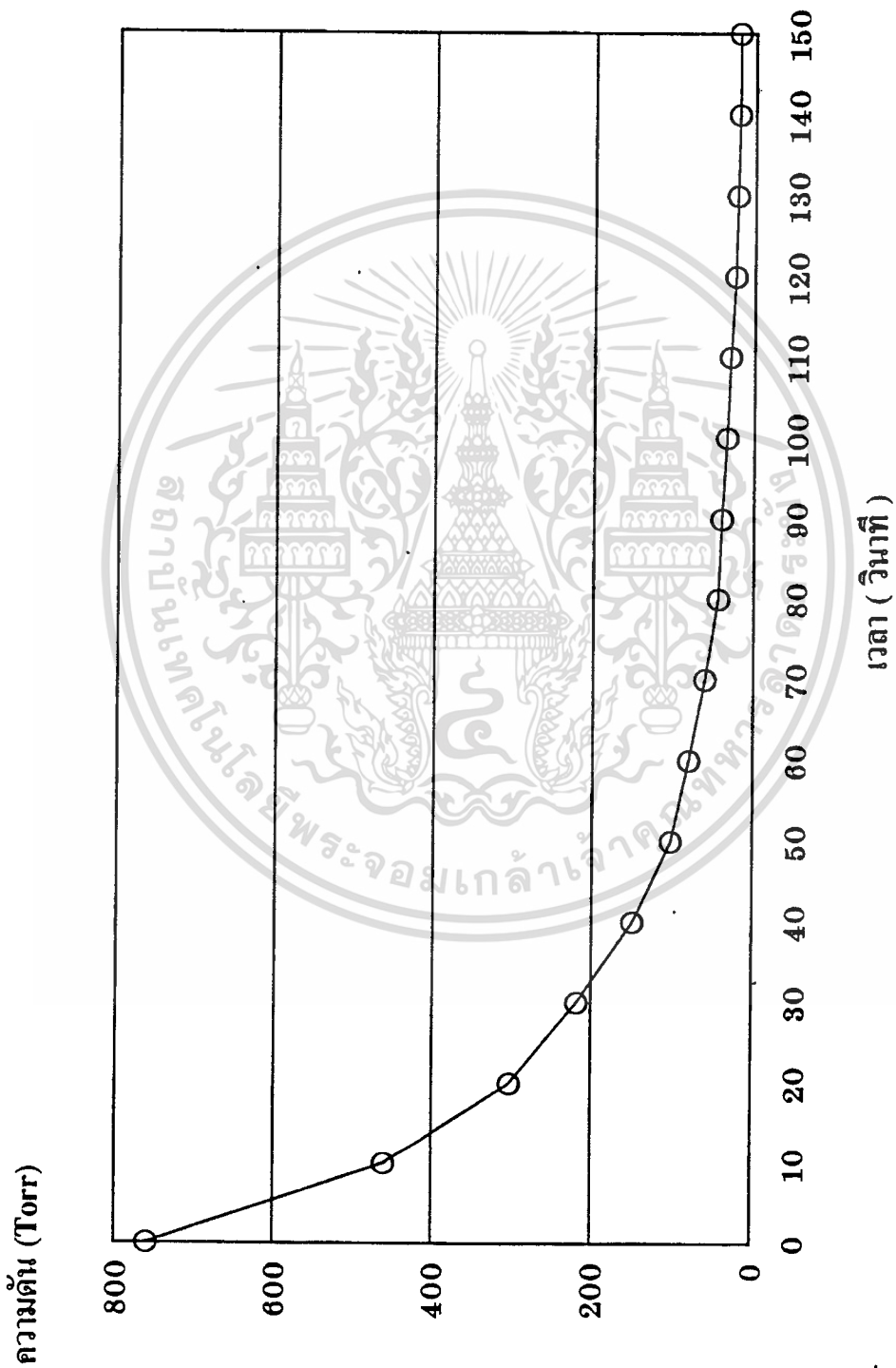
แสดงค่าความดันภายในแชมเบอร์กับเวลาของการต้มเป็นวินาที

เวลา(วินาที)	0	10	20	30	40	50	60	70	80	90	100	110
ความดัน(Torr)	760	460	302	218	150	102	80	60	44	40	34	30

ตารางที่ 3.9 (ต่อ)

เวลา(วินาที)	120	130	140	150
ความดัน (Torr)	24	22	20	20

และเมื่อนำค่าตามตารางที่ 3.9 ไปพล็อตกราฟจะได้กราฟตามรูปที่ 3.8



รูปที่ 3.8 กราฟแสดงความดันกับเวลาที่ใช้ในการปล่อยอากาศออกจากแอมบอร์

เอกสารนี้เป็นเอกสารที่สงวนไว้สำหรับการใช้งานเพื่อการศึกษาเท่านั้น ไม่อนุญาตให้นำไปใช้ประโยชน์ด้านการค้า  
ไม่ว่ากรณีใดๆทั้งสิ้น อีกทั้งห้ามมิให้ตัดแปลงเนื้อหา และต้องอ้างอิงถึงเจ้าของเอกสารทุกครั้งที่มีการนำไปใช้

### 3.3.6 หน่วยวัดสุญญากาศ

หน่วยที่ใช้วัดค่าความเป็นสุญญากาศ คือ นิ้วปรอท (Mercury Inch), มิลลิเมตรของปรอท (mm.Hg), ทอร์ (Torr), บาร์ (bar), ปาสคาล (Pa) ดังนั้นในบางครั้งจึงมีความจำเป็นที่จะต้องแปลงหน่วยเพื่อที่ให้เกิดความสะดวกในการศึกษาตารางที่ 3.10 จะแสดงการเปรียบเทียบหน่วยและการเปลี่ยนหน่วยของความดัน

ตารางที่ 3.10

แสดงการเปรียบเทียบหน่วย และการเปลี่ยนหน่วยความดัน [9]

	ปาสคาล (Pascal)	บาร์ (bar)	มิลลิบาร์ (m bar)	ทอร์ (Torr)	ความดัน บรรยากาศ (atm)
1 pa = 1 N/m <sup>2</sup>	1	1 x 10 <sup>-5</sup>	0.01	7.500x10 <sup>-3</sup>	9.8692x10 <sup>-6</sup>
1 bar = 10 N/cm <sup>2</sup>	1 x 10 <sup>5</sup>	1	10 <sup>3</sup>	750.062	0.986923
1 mbar=1 N/dm <sup>2</sup>	100	10 <sup>-3</sup>	1	0.750062	9.8692x10 <sup>-4</sup>
1 Torr=1mm-Hg	133.3324	1.333x10 <sup>-3</sup>	1.33322	1	1.316x10 <sup>-3</sup>
1 atm=1 kp/cm <sup>2</sup>	1.013x10 <sup>5</sup>	1.01325	1013.25	760	1

สำหรับการแปลงเป็นหน่วยอื่น : [10]

$$1 \text{ atm} = 14.7 \text{ lbs/in}^2$$

$$= 10.33 \text{ mH}_2\text{O}$$

$$1 \text{ micron} = 10^{-3} \text{ mmHg (0}^\circ \text{ c)}$$

$$1 \text{ bar} = 1 \text{ dyne/sq.cm}$$

### 8.3.7 การวัดแรงดันในช่องว่างระหว่างอิเล็กโทรดที่เป็นทรงกลม

จากมาตรฐาน IEC 52 ได้แสดงค่าแรงดันเบรคความระหว่างอิเล็กโทรดที่เป็นทรงกลมที่ใช้เป็นมาตรฐานที่อุณหภูมิ  $20^{\circ}\text{C}$  และมีระยะห่างระหว่างอิเล็กโทรดจาก 0.05 ถึง 6.0 cm ขนาดของเส้นผ่าศูนย์กลางของทรงกลมที่ใช้มีขนาดตั้งแต่ 2 ถึง 200 cm ในหัวข้อนี้จะแสดงการเปรียบเทียบแรงดันเบรคความของอิเล็กโทรดที่เป็นทรงกลมที่มีเส้นผ่าศูนย์กลาง 25 cm และมีระยะห่างระหว่างอิเล็กโทรดจาก 1.0 ถึง 6.0 cm ที่อุณหภูมิ  $31^{\circ}\text{C}$  (อุณหภูมิภายในห้องทดลอง) ที่ได้ในงานวิจัยนี้ กับแรงเบรคความตามมาตรฐาน IEC 52 ที่อิเล็กโทรดมีเส้นผ่าศูนย์กลาง 25 cm และมีระยะห่างระหว่างอิเล็กโทรดจาก 1.0 ถึง 6.0 cm ที่อุณหภูมิ  $20^{\circ}\text{C}$  เพื่อศึกษาว่าแรงดันเบรคความจะเปลี่ยนแปลงไปมากน้อยแค่ไหนเมื่ออุณหภูมิเปลี่ยนไป (สำหรับอิเล็กโทรดที่เป็นทรงกลม) ตารางที่ 3.11 จะแสดงค่าแรงดันเบรคความระหว่างอิเล็กโทรดที่เป็นทรงกลมที่วัดได้ในงานวิจัยนี้ ตารางที่ 3.12 จะแสดงค่าแรงดันเบรคความระหว่างอิเล็กโทรดที่เป็นทรงกลมตามมาตรฐาน IEC 52 และเมื่อนำค่าตามตารางที่ 3.11 และ 3.12 ไปพล็อตกราฟจะได้กราฟตามรูปที่ 3.9

ตารางที่ 3.11

ตารางแสดงระยะห่างระหว่างอิเล็กโทรดที่เป็นทรงกลมกับแรงดันเบรคความ (เป็น kV) ที่วัดได้ในอากาศที่ความดันบรรยากาศ (1 atm) ที่อุณหภูมิ  $31^{\circ}\text{C}$

d (cm)	1.0	1.2	1.4	1.5	1.6	1.8	2.0	2.2	2.4
Ub (kV)	28.5	32.1	37.8	40.2	42.3	48.0	53.4	59.4	64.8

ตารางที่ 3.11 (ต่อ)

d (cm)	2.6	2.8	3.0	3.5	4.0	4.5	5.0	5.5	6.0
Ub (kV)	69.3	74.1	80.1	90.0	102.6	114.0	126.0	139.5	148.5

### ตารางที่ 3.12

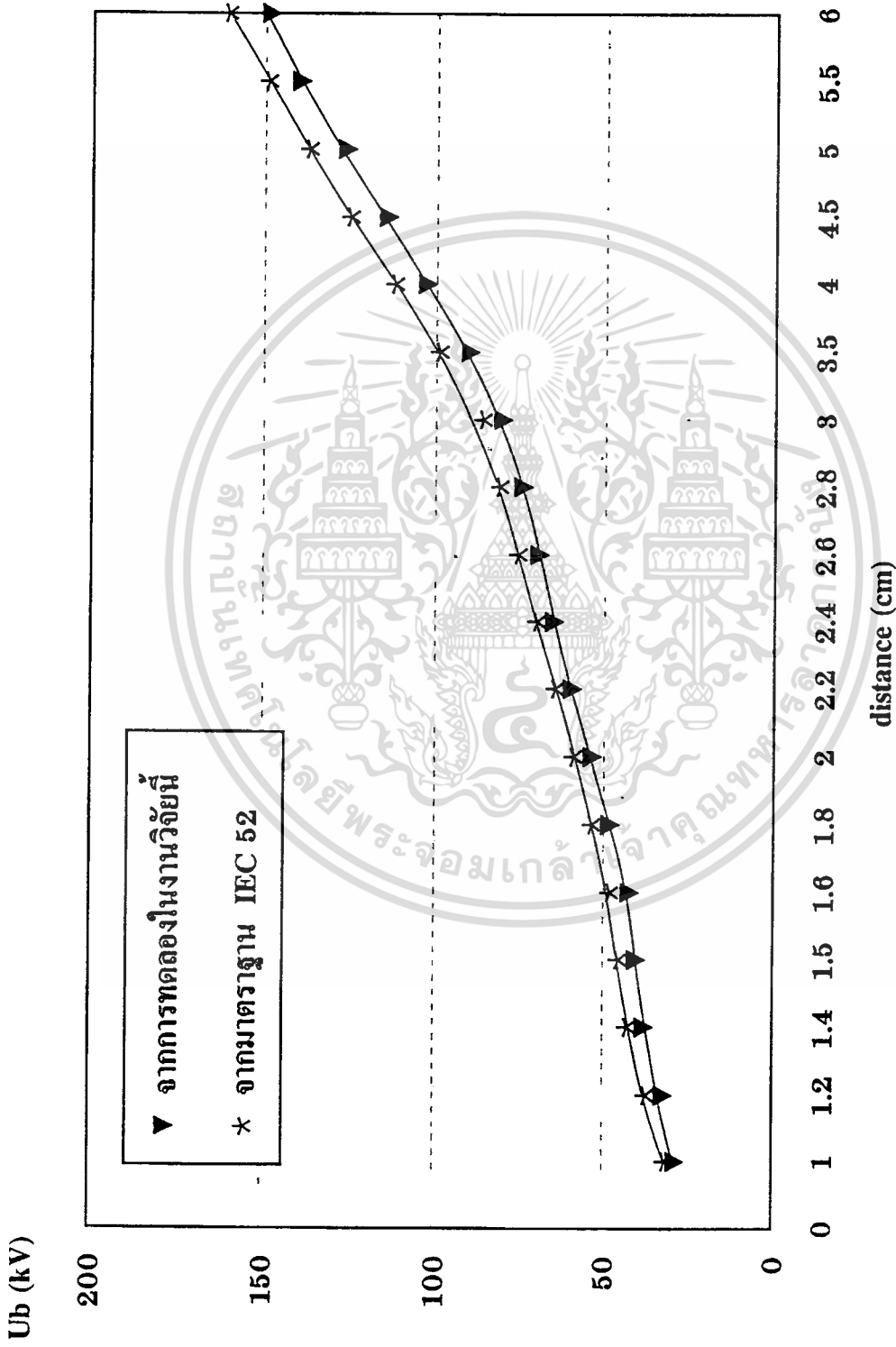
ตารางแสดงระยะห่างระหว่างอิเล็กโทรดที่เป็นทรงกลมกับแรงดันเบรกดาวน์ (เป็น kV) ตามมาตรฐาน IEC 52 ที่ความดันบรรยากาศ (1 atm) ที่อุณหภูมิ 20°C

d (cm)	1.0	1.2	1.4	1.5	1.6	1.8	2.0	2.2	2.4
Ub (kV)	31.7	37.4	42.9	45.5	48.1	53.5	59.0	64.5	70.0

### ตารางที่ 3.12 (ต่อ)

d (cm)	2.6	2.8	3.0	3.5	4.0	4.5	5.0	5.5	6.0
Ub (kV)	75.5	81.0	86.0	99.0	112	125	137	149	161

เอกสารนี้เป็นเอกสารที่สงวนไว้สำหรับการใช้งานเพื่อการศึกษาเท่านั้น ไม่อนุญาตให้นำไปใช้ประโยชน์ด้านการค้า  
ไม่ว่ากรณีใดๆทั้งสิ้น อีกทั้งห้ามมิให้ตัดแปลงเนื้อหา และต้องอ้างอิงถึงเจ้าของเอกสารทุกครั้งที่มีการนำไปใช้



รูปที่ 3.9 กราฟแสดงการเปรียบเทียบแรงดันที่เริ่มเกิดการบรรคตวเป็นอากาศที่ได้ในงานวิจัยนี้

กับแรงดันบรรคตวเป็นอากาศตามมาตรฐาน IEC 52

## บทที่ 4

### การทดลองหาแรงดันที่เริ่มเกิดการเบรคดาวนและความผิดพลาดที่อาจเกิดขึ้น

#### 4.1 การทดลองหาแรงดันที่เริ่มเกิดการเบรคดาวน

วิธีทำการทดลองเพื่อหาแรงดันที่เริ่มเกิดการเบรคดาวนในก๊าซชนิดต่าง ๆ นี้เราจะทำการทดลองโดย

1. จะสูบลูกอากาศออกจากแชมเบอร์เป็นเวลา 40 นาที เพื่อให้ความดันอากาศภายในแชมเบอร์ลดลงเหลือ  $5.8 \times 10^{-1}$  mbar
2. เปิดชุด High Voltage ทิ้งไว้ 30 นาที เพื่อให้เสถียร
3. ตั้งระยะห่างระหว่างขั้วอิเล็กโตรดตามค่าที่ต้องการ
4. เติมน้ำเข้าไปภายในแชมเบอร์ให้มีความดันตามต้องการ
5. แรงดันและกระแสขณะทำการทดลองจะถูกวัดโดย Galvanometer

ก๊าซที่ใช้ในการทดลองนี้ประกอบด้วยก๊าซฟริออน ก๊าซไนโตรเจน ก๊าซคาร์บอนไดออกไซด์ ก๊าซฮีเลียม และก๊าซอาร์กอน

##### 4.1.1 คุณสมบัติทางกายภาพและทางเคมีของก๊าซที่ใช้ในการทดลอง

ก๊าซฮีเลียมและก๊าซอาร์กอน เป็นก๊าซเฉื่อย (Inert gases) ตามตารางธาตุจะอยู่ในหมู่ที่ 8 คุณสมบัติของธาตุในหมู่นี้คือ จะมีการจัดเรียงตัวของอิเล็กตรอนวงนอกสุดครบ 8 ตัว (ยกเว้นฮีเลียมมีอิเล็กตรอนวงนอกสุดเพียง 2 ตัว) ซึ่งถือว่าเป็นสภาพที่อะตอมเสถียรและธาตุในหมู่นี้ยังเป็น Monoatomic ด้วยคือหนึ่งโมเลกุลจะประกอบด้วยหนึ่งอะตอมเท่านั้น (ธาตุในหมู่นี้ในสภาพปกติจะเป็นก๊าซ) ซึ่งผิดกับก๊าซชนิดอื่นที่เป็น Diatomic คือหนึ่งโมเลกุลจะประกอบด้วยอะตอมมากกว่าหนึ่งอะตอม ก๊าซฮีเลียมและก๊าซอาร์กอนนี้เป็นก๊าซที่ไม่มีสี ไม่มีกลิ่น ไม่มีรส ไม่เป็นพิษเป็นอันตราย ในอากาศมีอยู่น้อยเป็นก๊าซที่เฉื่อยต่อปฏิกิริยาเคมีมาก

ก๊าซไนโตรเจนจะประกอบด้วยอะตอมของธาตุไนโตรเจนสองอะตอม มีการจัดเรียงตัวของอิเล็กตรอนวงนอกสุดห้าตัว ตามตารางธาตุจะอยู่ในหมู่ที่ห้าเป็นก๊าซที่ไม่มีสี ไม่มีกลิ่น ไม่ติดไฟ ไม่เป็นพิษและไม่ระเบิด เป็นอันตราย ในอากาศมีอยู่มากเป็นก๊าซที่ไม่ไวต่อปฏิกิริยาเคมีภายใต้สภาวะปกติ

ก๊าซคาร์บอนไดออกไซด์จะอยู่ในรูปของสารประกอบออกไซด์ ซึ่งจะประกอบด้วย คาร์บอนหนึ่งอะตอมและออกซิเจนสองอะตอม การเพิ่มขึ้นของก๊าซคาร์บอนไดออกไซด์ในบรรยากาศจะทำให้

อุณหภูมิของบรรยากาศสูงขึ้นจนเกิดเป็นปรากฏการณ์เรือนกระจก

ก๊าซฟร็อน จะอยู่ในรูปของสารประกอบคลอรีนเป็นสารประกอบที่เกิดจากคลอรีน ฟลูออรีน และคาร์บอน สารเหล่านี้จะทำให้เกิดผลเสียต่อสิ่งแวดล้อมและเป็นตัวทำลายชั้นบรรยากาศ ถ้าใช้มากเกินไปและก๊าซฟร็อนจะทำให้เกิดสารที่เป็นพิษเมื่อถูกเปลวไฟหรือสัมผัสกับผิวโลหะที่ร้อน

## 4.2 ความผิดพลาดที่อาจเกิดขึ้น

### 4.2.1 ความผิดพลาดเนื่องจากโวลเตจ

ในการทดลองนี้แรงดันเบรคความถี่จะถูกวัดโดยใช้ Galvanometer ความผิดพลาดที่อาจเกิดขึ้นจะเกิดจากการเปลี่ยนย่านวัดขณะทำการทดลองเมื่อแรงดันเริ่มเกิดการเบรคความถี่สูงขึ้นและอาจจากการรั่วไหลของกระแสระหว่าง High Voltage Bushing (Brass Tube) กับตัวถังของแชมเบอร์ถ้าความต้านทานระหว่าง High Voltage Bushing กับตัวถังมีค่าน้อยการรั่วไหลของกระแสก็จะมีค่ามาก แรงดันที่วัดได้ ก็จะมีค่าผิดพลาดมากขึ้นด้วย

### 4.2.2 ความผิดพลาดเนื่องจากความดัน

อัตราการรั่วและสิ่งเจือปนที่ปะปนอยู่ในแชมเบอร์จะเป็นข้อจำกัดที่สำคัญ ของระบบสุญญากาศภายในแชมเบอร์เพราะถ้าอัตราการรั่วและสิ่งเจือปนมีอยู่มากนั้นจะทำให้โรตารีปั๊ม (Rotary Pump) ปั๊มอากาศออกได้ที่ความดันไม่ต่ำมากนัก อัตราการรั่วจะมีผลต่อความดันคือ จะทำให้ความดันภายในไม่คงที่จะเพิ่มขึ้นเรื่อย ๆ ตามอัตราการรั่ว ซึ่งจะทำให้ขณะที่ทดลองความดันจะไม่คงที่ทำให้เกิดความผิดพลาดเนื่องจากความดันที่ใช้ในขณะที่ทดลองขึ้นและเนื่องจากอากาศที่รั่วเข้าไปในแชมเบอร์นี้จะทำให้ก๊าซที่อยู่ภายในแชมเบอร์ปนกับอากาศทำให้ความบริสุทธิ์ของก๊าซลดน้อยลง ความผิดพลาดก็จะเพิ่มขึ้นเนื่องจากความไม่บริสุทธิ์ของก๊าซดังนั้นจึงมีความจำเป็นที่จะต้องลดอัตราการรั่วลง โดยการซีลตามข้อต่อต่าง ๆ ให้ดี

### 4.2.3 ความผิดพลาดเนื่องจากการตั้งระยะห่างระหว่างอิเล็กโตรด

ระยะห่างระหว่างอิเล็กโตรดสามารถวัดและตั้งระยะห่างได้อย่างละเอียดและถูกต้อง โดยใช้เวอร์เนีย ซึ่งเวอร์เนียนี้จะถูกติดตั้งอยู่ที่ด้านล่างของแชมเบอร์ความผิดพลาดจากการตั้งระยะห่างหรือการวัดระยะห่างอาจเกิดขึ้นได้ ถ้าขาดทักษะในการวัดหรือการใช้เครื่องมือที่ไม่ถูกต้อง ระยะห่างระหว่างอิเล็กโตรดสามารถตั้งได้แคบสุด 1 มิลลิเมตร และตั้งได้กว้างสุด 4.00 เซนติเมตร

### 4.2.4 ความผิดพลาดเนื่องจากความไม่สม่ำเสมอของสนามไฟฟ้า

การออกแบบขั้วอิเล็กโตรดให้มีรูปร่างลักษณะเป็นแบบ Rogowski สามารถลดความไม่สม่ำเสมอของสนามไฟฟ้าบริเวณขอบอิเล็กโตรดลงไปได้ ดังนั้นจึงถือว่าบริเวณผิวหน้าของขั้วอิเล็ก-

โตรคทั้งสองนี้มีสนามไฟฟ้าที่สม่ำเสมอและสาเหตุอีกประการหนึ่งที่จะทำให้สนามไฟฟ้าบริเวณผิวหน้าของอิเล็กโตรดอาจจะไม่สม่ำเสมอ คือในการตั้งระยะห่างอิเล็กโตรคต้องตั้งให้ตั้งฉากกันในทุก ๆ จุดของผิวของขั้วอิเล็กโตรคทั้งสอง



เอกสารนี้เป็นเอกสารที่สงวนไว้สำหรับการใช้งานเพื่อการศึกษาเท่านั้น ไม่อนุญาตให้นำไปใช้ประโยชน์ด้านการค้า  
ไม่ว่ากรณีใดๆทั้งสิ้น อีกทั้งห้ามมิให้ดัดแปลงเนื้อหา และต้องอ้างอิงถึงเจ้าของเอกสารทุกครั้งที่มีการนำไปใช้

## บทที่ 5

### ผลการทดลองในก๊าซสามัญ

#### 5.1 ผลการทดลองในก๊าซฟร็อน ( $\text{CCl}_2\text{F}_2$ )

จากผลการทดลองที่ได้ในการวัดแรงดันที่เริ่มเกิดการเบรคคาวน์ ในก๊าซฟร็อนที่ความดัน 100, 200 และ 300 torr และระยะห่างระหว่างอิเล็กโตรด 0.3 cm ถึง 3.9 cm อุณหภูมิขณะทำการทดลอง  $31^\circ\text{C}$  (อุณหภูมิของอากาศรอบ ๆ แคมเบอร์, อุณหภูมิห้อง) อัตราการรั่วขณะทำการทดลอง 2.7 torr ความดันอากาศภายในแคมเบอร์ก่อนเติมก๊าซ (ก๊าซที่ใช้ในการทดลอง)  $5.8 \times 10^{-1}$  mbar

ผลการทดลองที่ได้ ได้แสดงไว้ตามตารางที่ 5.1.1 เมื่อนำผลการทดลองที่ได้นี้ไปพล็อตกราฟ จะได้กราฟดังที่แสดงตามรูปที่ 5.1.1 และ 5.1.2 รูปที่ 5.1.1 เป็นกราฟแรงดันที่เริ่มเกิดการเบรคคาวน์ ที่เป็นฟังก์ชันของระยะห่างระหว่างอิเล็กโตรด (d) รูปที่ 5.1.2 เป็นกราฟแสดงแรงดันที่เริ่มเกิดการเบรคคาวน์ที่เป็นฟังก์ชันของผลคูณของความดันกับระยะห่างระหว่างอิเล็กโตรด (pd)



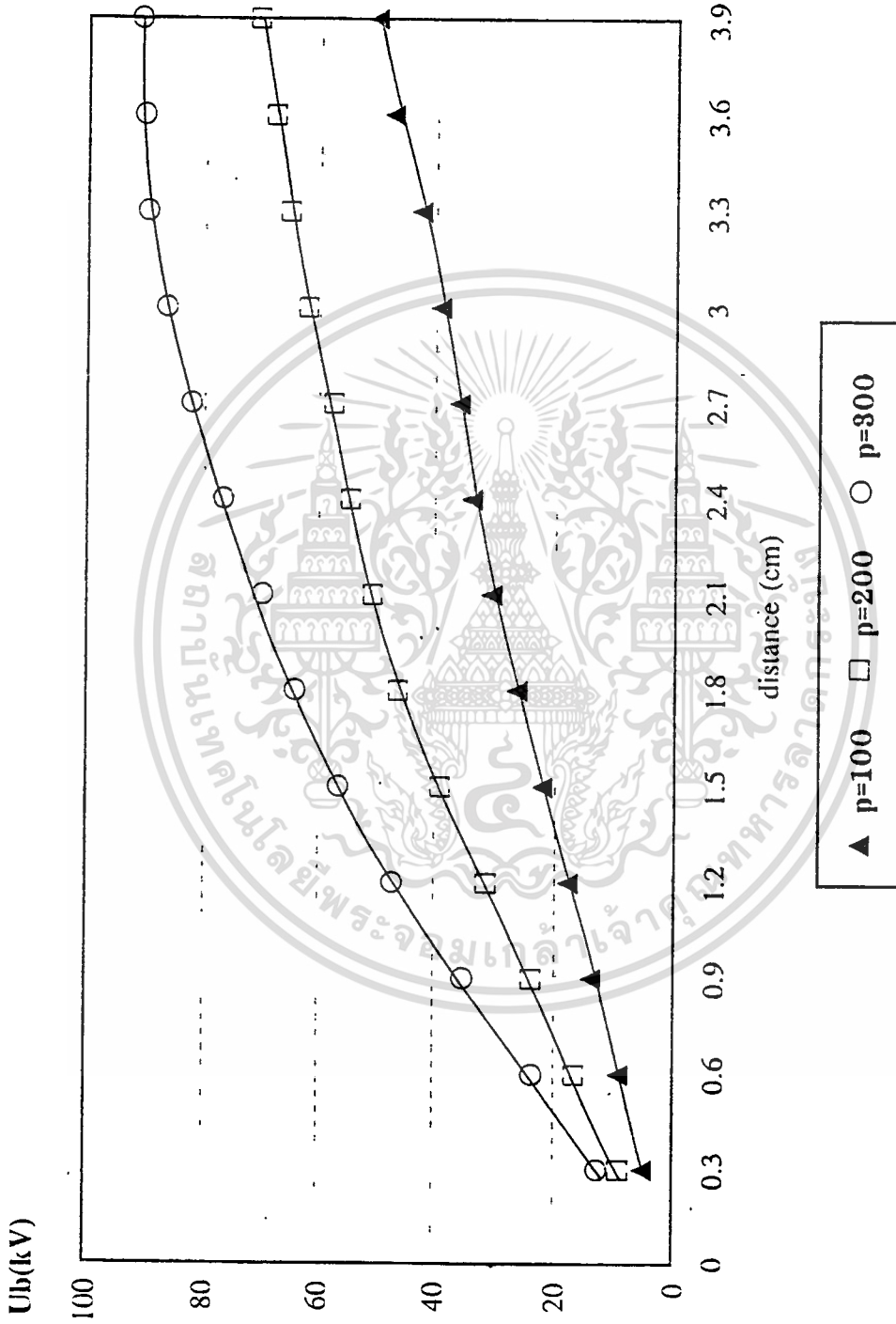
## ตารางที่ 5.1.1

แสดงระยะห่างระหว่างอิเล็กโตรดกับแรงดันที่เริ่มเกิดการเบรคดาวน์ (เป็น kV) ที่วัดได้ใน  
ก๊าซฟร็อนที่ความดัน (เป็น Torr) ต่าง ๆ (อุณหภูมิขณะทำการทดลอง 31° C)

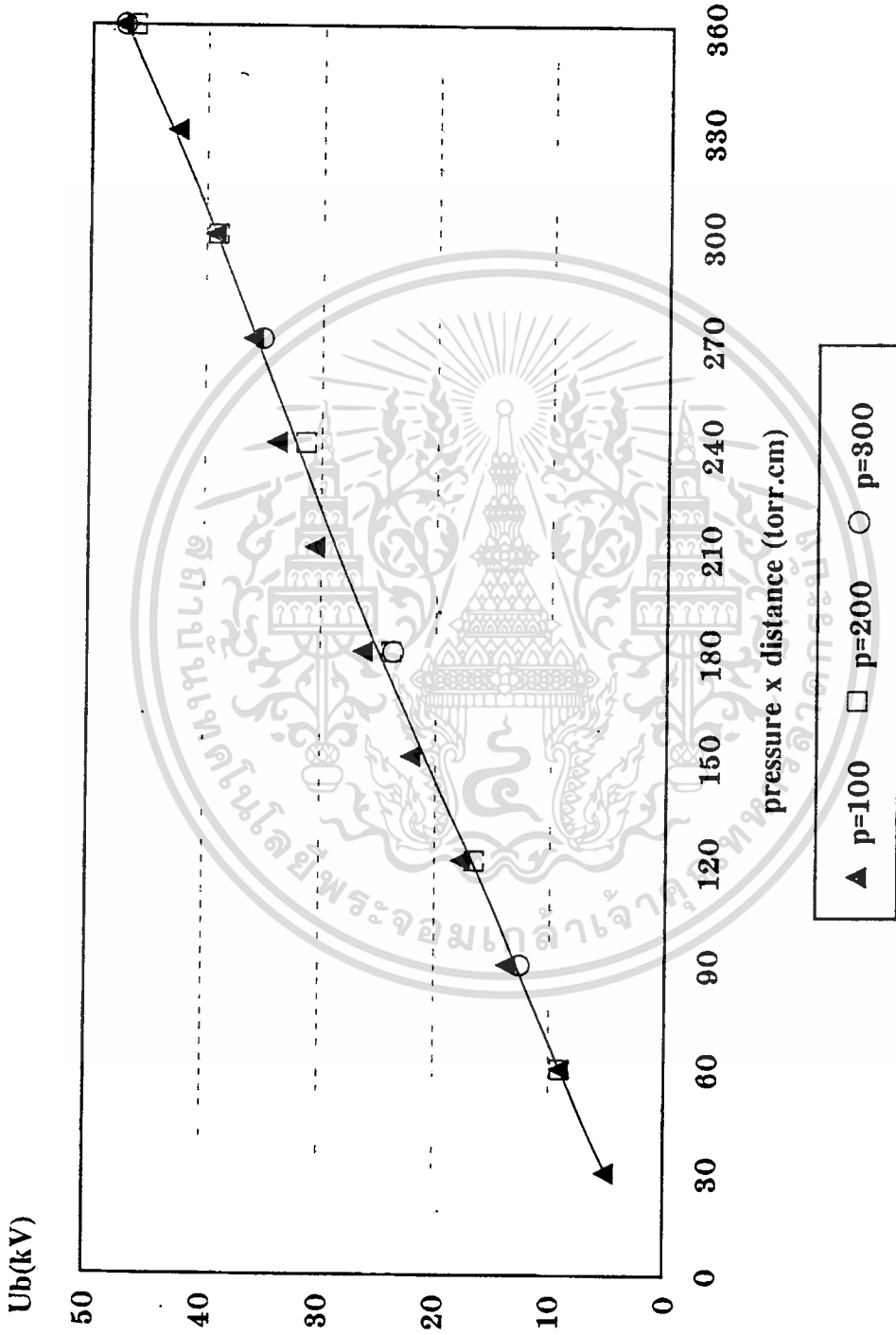
d (cm)	0.30	0.60	0.90	1.20	1.50	1.80
P=100	5.10	9.15	13.80	17.76	22.20	26.40
P=200	9.00	16.56	23.85	31.35	39.00	46.20
P=300	12.60	23.70	35.10	47.10	56.55	64.14

## ตารางที่ 5.1.1 (ต่อ)

d (cm)	2.10	2.40	2.70	3.00	3.30	3.60	3.90
P=100	30.60	33.90	36.00	39.30	42.60	47.40	50.40
P=200	50.70	54.60	57.60	62.10	65.25	67.80	70.65
P=300	69.75	76.65	82.35	86.70	90.00	90.60	91.20



รูปที่ 5.1.1 กราฟแสดงแรงดันที่เริ่มเกิดการเบรคดาวที่เป็นฟังก์ชันของระยะห่างระหว่างอิเล็กโตรด (d) ของก๊าซฟรีออนที่อุณหภูมิ 8°C



รูปที่ 5.1.2 กราฟแสดงแรงดันที่เริ่มเกิดการเบรคดาวที่เป็นฟังก์ชันของผลคูณของความดันกับระยะห่างระหว่างอิเล็กโทรด (pd) ของก๊าซฟริออนที่อุณหภูมิ 81°C

## 5.2 ผลการทดลองในก๊าซไนโตรเจน (N<sub>2</sub>)

จากผลการทดลองที่ได้ในการวัดแรงดันที่เริ่มเกิดการเบรคควาน์ ในก๊าซไนโตรเจนที่ความดัน 100, 200 และ 300 torr และระยะห่างระหว่างอิเล็กโทรด 0.3 cm ถึง 3.9 cm อุณหภูมิขณะทำการทดลอง 27° C (อุณหภูมิของอากาศรอบ ๆ แคมเบอร์, อุณหภูมิห้อง) ความบริสุทธิ์ของก๊าซไนโตรเจนที่ใช้ 99.99 % อัตราการรั่วขณะทำการทดลอง 2.7 torr ความดันอากาศภายในแคมเบอร์ก่อนเติมก๊าซ (ก๊าซที่ใช้ในการทดลอง)  $5.8 \times 10^{-1}$  mbar

ผลการทดลองที่ได้ ได้แสดงไว้ตามตารางที่ 5.2.1 เมื่อนำผลการทดลองที่ได้นี้ไปพล็อตกราฟ จะได้กราฟดังที่แสดงตามรูปที่ 5.2.1 และ 5.2.2 รูปที่ 5.2.1 เป็นกราฟแรงดันที่เริ่มเกิดการเบรคควาน์ที่เป็นฟังก์ชันของระยะห่างระหว่างอิเล็กโทรด (d) รูปที่ 5.2.2 เป็นกราฟแสดงแรงดันที่เริ่มเกิดการเบรคควาน์ที่เป็นฟังก์ชันของผลคูณของความดันกับระยะห่างระหว่างอิเล็กโทรด (pd)



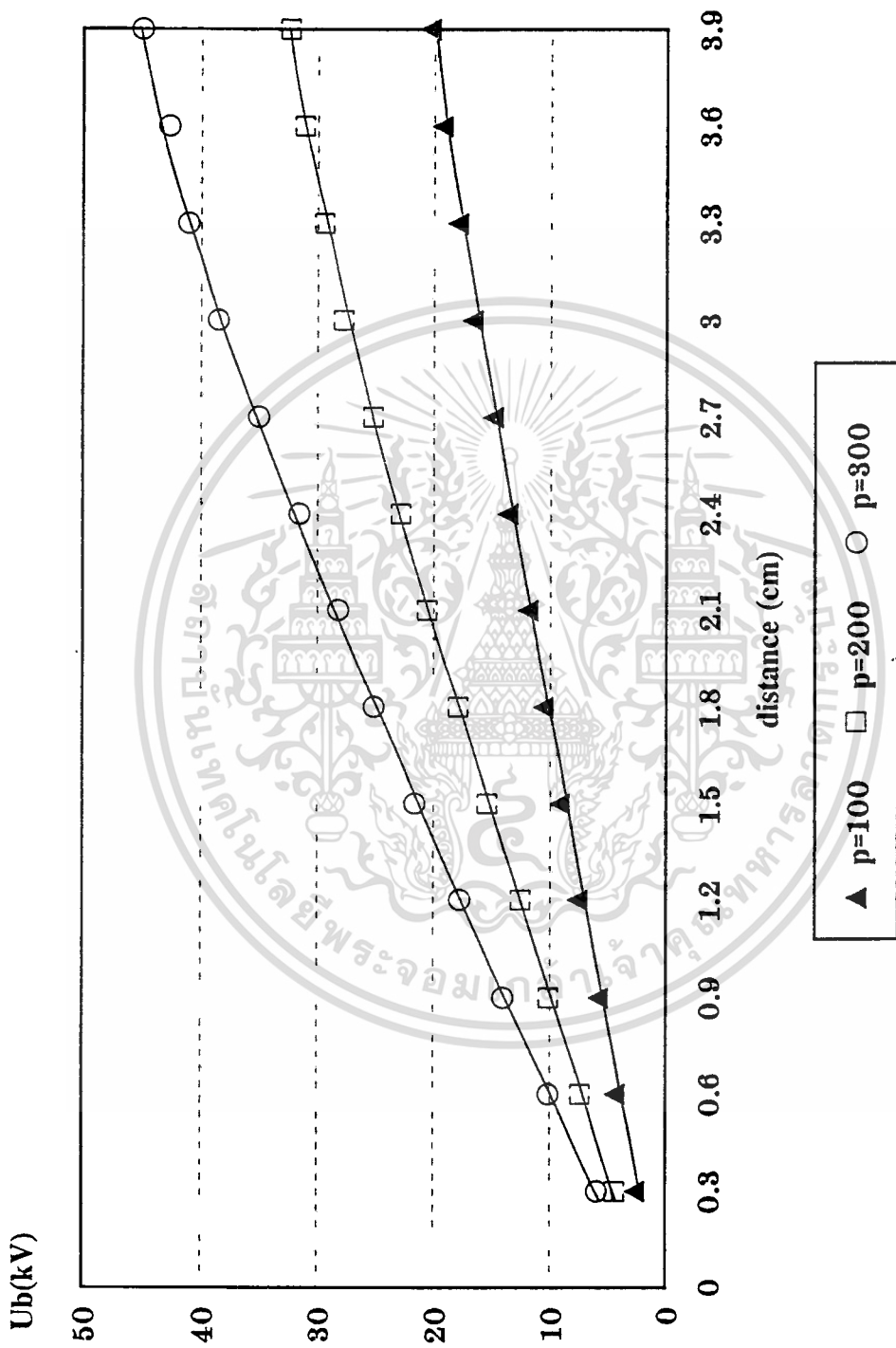
### ตารางที่ 5.2.1

แสดงระยะห่างระหว่างอิเล็กโตรดกับแรงดันที่เริ่มเกิดการเบรกดาวน์(เป็น kV)ที่วัดได้  
ในก๊าซไนโตรเจนที่ความดัน (เป็น Torr) ต่าง ๆ (อุณหภูมิขณะทำการทดลอง 27° C)

d (cm)	0.30	0.60	0.90	1.20	1.50	1.80
P=100	2.70	4.44	5.88	7.69	9.24	10.65
P=200	4.38	7.38	10.14	12.54	15.42	17.88
P=300	5.94	10.14	14.04	17.76	21.60	25.14

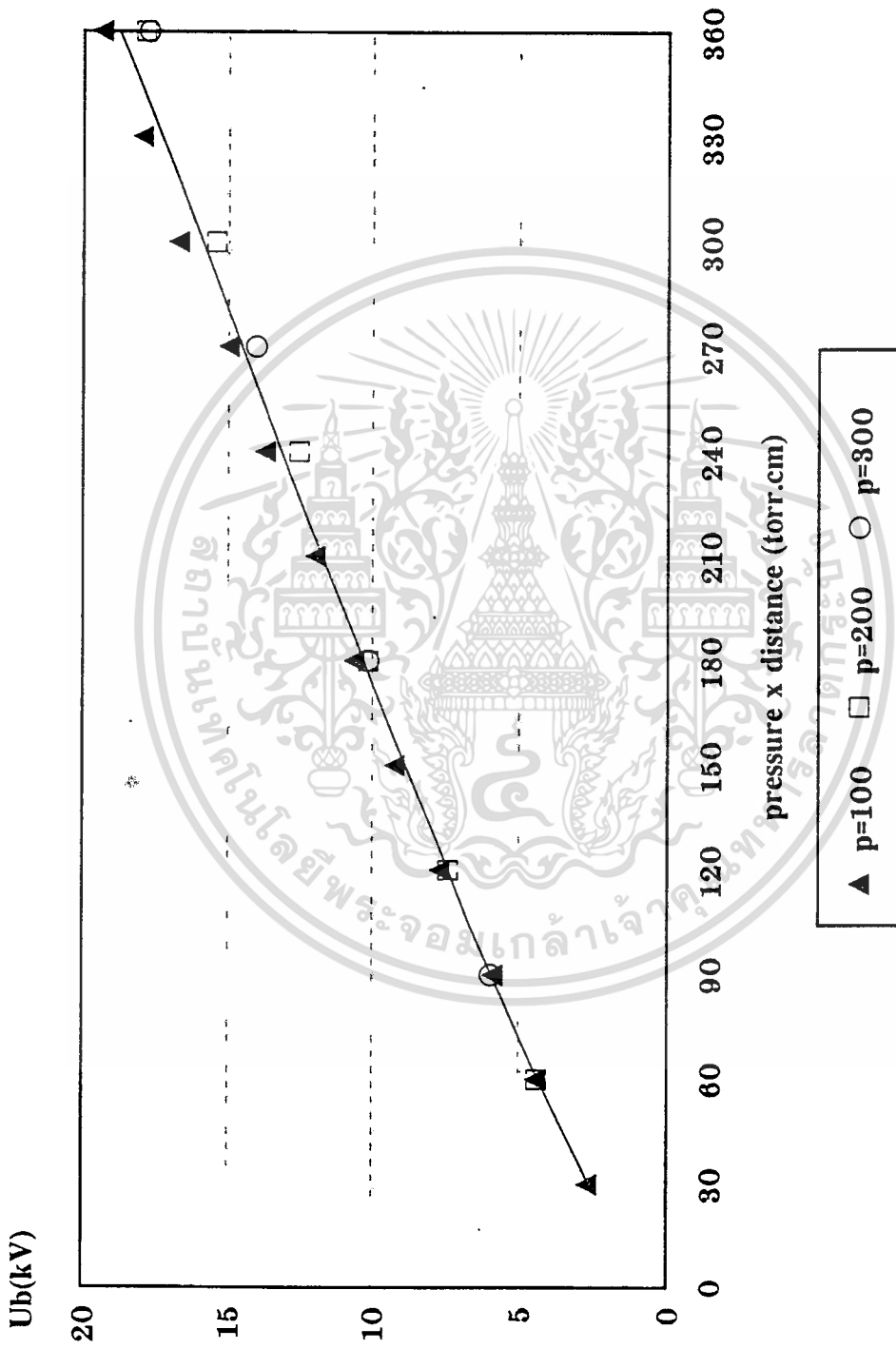
### ตารางที่ 5.2.1 (ต่อ)

d (cm)	2.10	2.40	2.70	3.00	3.30	3.60	3.90
P=100	12.00	13.74	15.00	16.74	18.00	19.38	20.40
P=200	20.55	22.80	25.20	27.75	29.40	31.14	32.40
P=300	28.20	31.59	35.10	38.55	41.10	42.75	45.00



รูปที่ 5.2.1 กราฟแสดงแรงดันที่เริ่มเกิดการบรรคความที่เป็นฟังก์ชันของระยะห่างระหว่างอิเล็กโตรด (d)

ของก๊าซไนโตรเจนที่อุณหภูมิ 27°C



รูปที่ 5.2.2 กราฟแสดงแรงดันที่เริ่มเกิดการเบรคดาวที่เป็นฟังก์ชันของผลคูณของความดันกับระยะห่างระหว่างอิเล็กโทรด (pd) ของก๊าซไนโตรเจนที่อุณหภูมิ  $27^{\circ}\text{C}$

เอกสารนี้เป็นเอกสารที่สงวนไว้สำหรับการใช้งานเพื่อการศึกษาเท่านั้น ไม่อนุญาตให้นำไปใช้ประโยชน์ด้านการค้า  
ไม่ว่ากรณีใดๆทั้งสิ้น อีกทั้งห้ามมิให้ตัดแปลงเนื้อหา และต้องอ้างอิงถึงเจ้าของเอกสารทุกครั้งที่มีการนำไปใช้

### 5.3 ผลการทดลองในก๊าซคาร์บอนไดออกไซด์ (CO<sub>2</sub>)

จากผลการทดลองที่ได้ในการวัดแรงดันที่เริ่มเกิดการเบรคความในก๊าซคาร์บอนไดออกไซด์ที่ความดัน 100, 200 และ 300 torr และระยะห่างระหว่างอิเล็กโทรด 0.3 cm ถึง 3.9 cm อุณหภูมิขณะทำการทดลอง 29° C (อุณหภูมิของอากาศรอบ ๆ แคมเบอร์, อุณหภูมิห้อง) ความบริสุทธิ์ของก๊าซคาร์บอนไดออกไซด์ ที่ใช้ 99.8 % อัตราการรั่วขณะทำการทดลอง 2.7 torr ความดันอากาศภายในแคมเบอร์ก่อนเติมก๊าซ (ก๊าซที่ใช้ในการทดลอง)  $5.8 \times 10^{-1}$  mbar

ผลการทดลองที่ได้ ได้แสดงไว้ตามตารางที่ 5.3.1 เมื่อนำผลการทดลองที่ได้นี้ไปพล็อตกราฟ จะได้กราฟดังที่แสดงตามรูปที่ 5.3.1 และ 5.3.2 รูปที่ 5.3.1 เป็นกราฟแรงดันที่เริ่มเกิดการเบรคความ ที่เป็นฟังก์ชันของระยะห่างระหว่างอิเล็กโทรด (d) รูปที่ 5.3.2 เป็นกราฟแสดงแรงดันที่เริ่มเกิดการเบรคความที่เป็นฟังก์ชันของผลคูณของความดันกับระยะห่างระหว่างอิเล็กโทรด (pd)



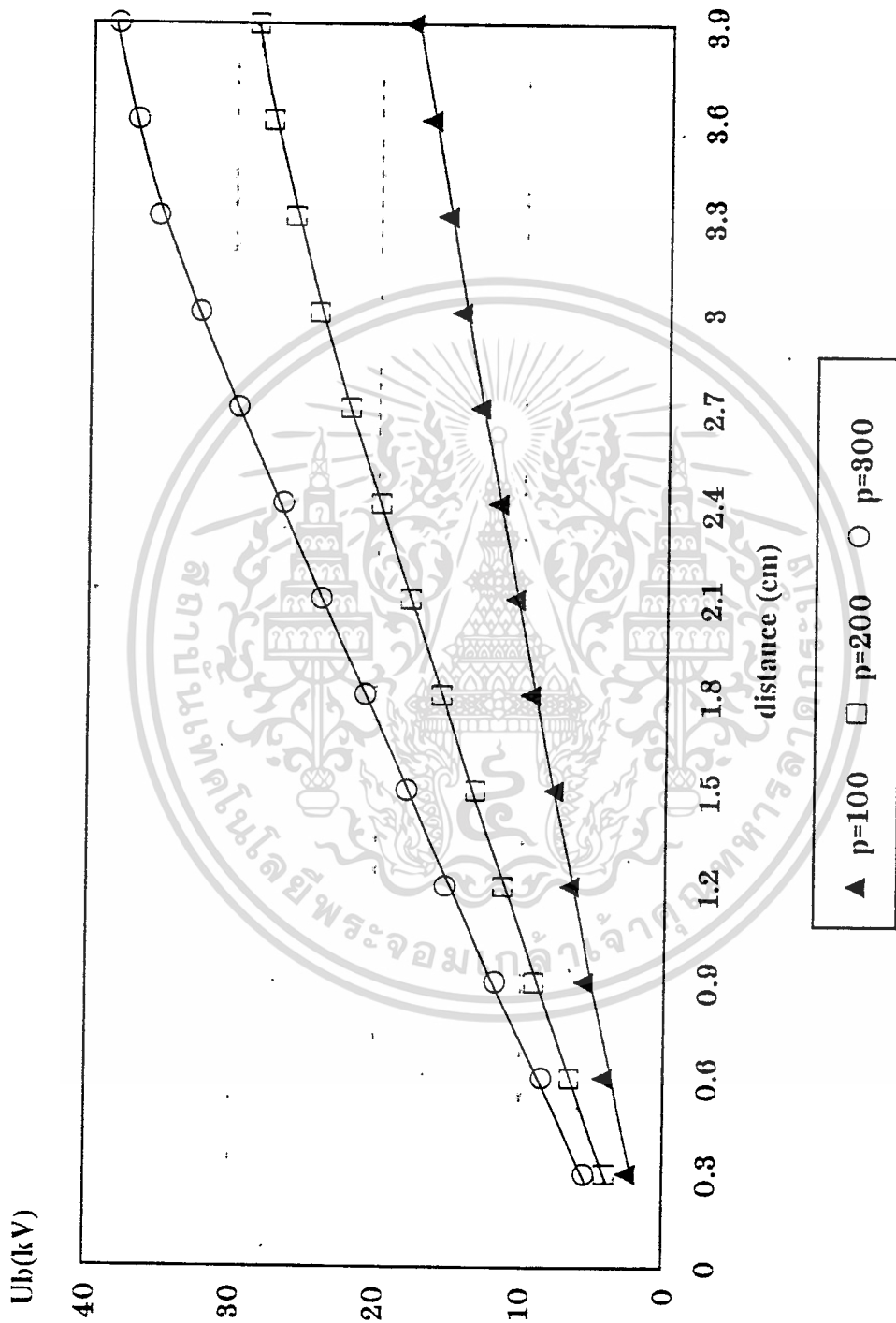
ตารางที่ 5.3.1

แสดงระยะห่างระหว่างอิเล็กโตรดกับแรงดันที่เริ่มเกิดการเบรคดาวน์ (เป็น kV) ที่วัดได้ในก๊าซคาร์บอนไดออกไซด์ที่ความดัน (เป็น Torr) ต่าง ๆ (อุณหภูมิขณะทำการทดลอง 29° C)

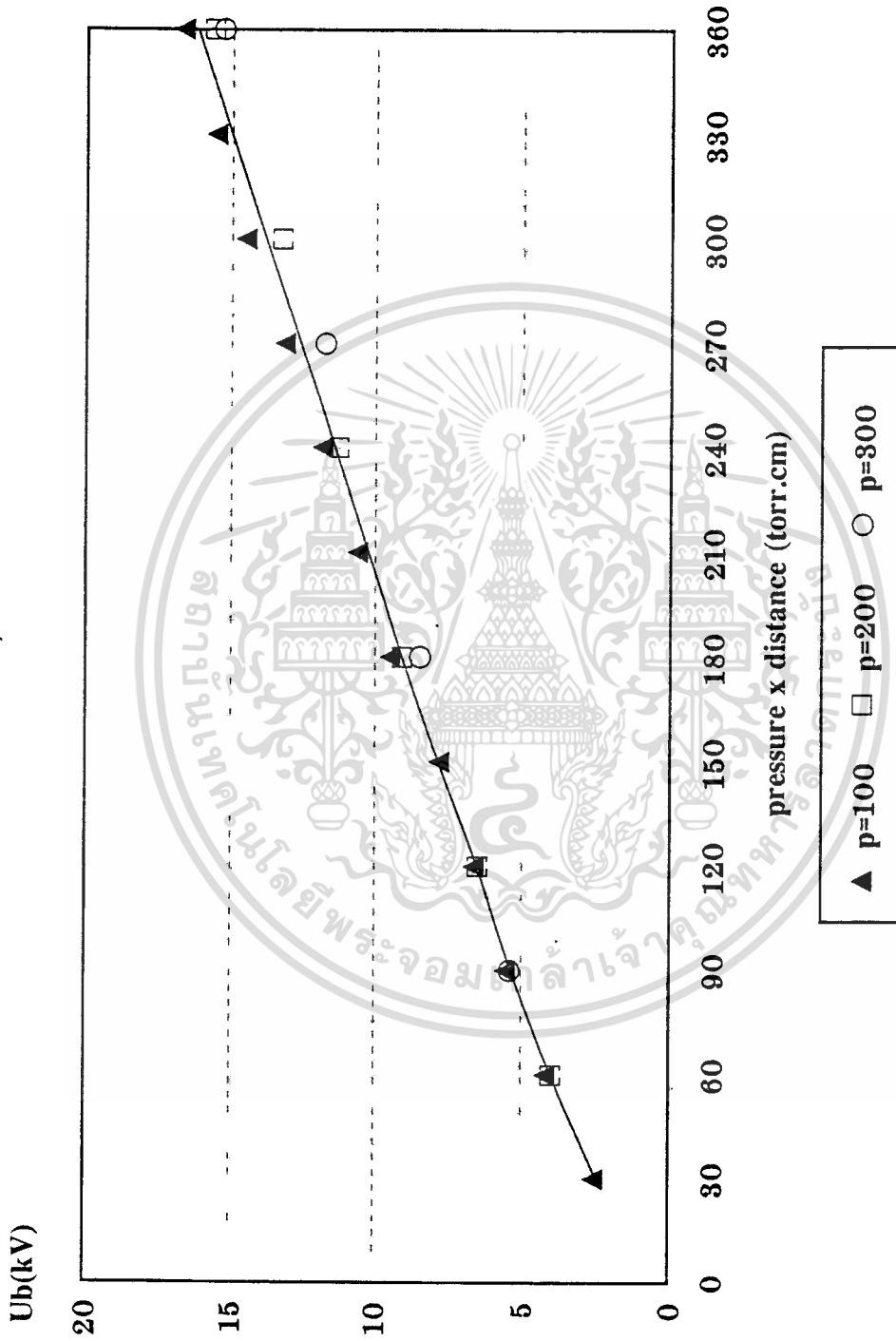
d (cm)	0.30	0.60	0.90	1.20	1.50	1.80
P=100	2.55	4.20	5.55	6.60	7.80	9.48
P=200	3.99	6.48	9.06	11.28	13.26	15.63
P=300	5.40	8.64	11.76	15.30	17.94	20.79

ตารางที่ 5.3.1 (ต่อ)

d (cm)	2.10	2.40	2.70	3.00	3.30	3.60	3.90
P=100	10.62	11.85	13.17	14.52	15.54	16.71	18.00
P=200	17.76	19.80	21.96	24.18	25.86	27.45	28.50
P=300	23.85	26.52	29.70	32.46	35.40	36.90	38.28



รูปที่ 5.3.1 กราฟแสดงแรงดันที่เริ่มเกิดการบรรดากาที่เริ่มฟังก์ชันของระยะห่างระหว่างอิเล็กโทรด (d) ของก๊าซคาร์บอนไดออกไซด์ที่อุณหภูมิ 29°C



รูปที่ 5.3.2 กราฟแสดงแรงดันที่เริ่มเกิดการบรรคความที่เป็นฟังก์ชันของผลคูณของความดันกับ ระยะห่างระหว่างอิเล็กโทรด (pd) ของก๊าซคาร์บอนไดออกไซด์ที่อุณหภูมิ 29°C

#### 5.4 ผลการทดลองในก๊าซฮีเลียม (He)

จากการทดลองที่ได้ ในการวัดแรงดันที่เริ่มเกิดการเบรคควาน์ในก๊าซฮีเลียมที่ความดัน 100, 200 และ 300 torr และระยะห่างระหว่างอิเล็กโตรด 0.3 cm ถึง 3.9 cm อุณหภูมิขณะทำการทดลอง 30.5° C (อุณหภูมิของอากาศรอบ ๆ แคมเบอร์, อุณหภูมิห้อง) ความบริสุทธิ์ของก๊าซฮีเลียม 99.99 % อัตราการรั่วขณะทำการทดลอง 2.7 torr ความดันอากาศภายในแคมเบอร์ก่อนเติมก๊าซ (ก๊าซที่ใช้ในการทดลอง)  $5.8 \times 10^{-1}$  mbar

ผลการทดลองที่ได้ ได้แสดงไว้ตามตารางที่ 5.4.1 เมื่อนำผลการทดลองที่ได้ไปพล็อตกราฟ จะได้กราฟดังที่แสดงตามรูปที่ 5.4.1 และ 5.4.2 รูปที่ 5.4.1 เป็นกราฟแรงดันที่เริ่มเกิดการเบรคควาน์ ที่เป็นฟังก์ชันของระยะห่างระหว่างอิเล็กโตรด (d) รูปที่ 5.4.2 เป็นกราฟแสดงแรงดันที่เริ่มเกิดการเบรคควาน์ที่เป็นฟังก์ชันของผลคูณของความดันกับระยะห่างระหว่างอิเล็กโตรด (pd)



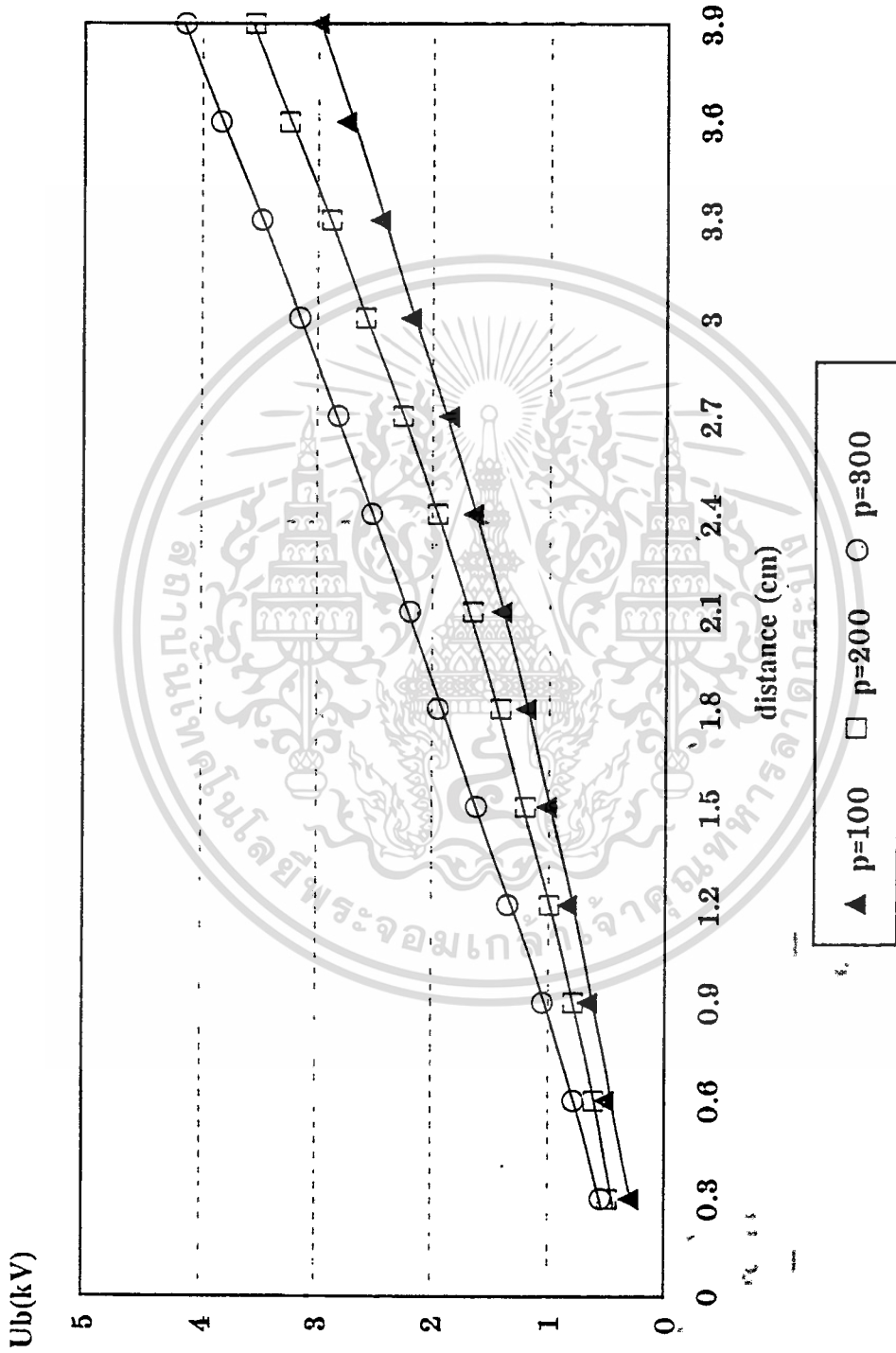
ตารางที่ 5.4.1

แสดงระยะห่างระหว่างอิเล็กโตรดกับแรงดันที่เริ่มเกิดการเบรคดาวน (เป็น kV) ที่วัดได้ในก๊าซซีเลียมที่ความดัน (เป็น Torr) ต่าง ๆ (อุณหภูมิขณะทำการทดลอง 30.5° C)

d (cm)	0.30	0.60	0.90	1.20	1.50	1.80
P=100	0.30	0.51	0.66	0.84	1.02	1.20
P=200	0.48	0.60	0.78	0.99	1.20	1.41
P=300	0.54	0.78	1.05	1.35	1.62	1.95

ตารางที่ 5.4.1 (ต่อ)

d (cm)	2.10	2.40	2.70	3.00	3.30	3.60	3.90
P=100	1.41	1.65	1.86	2.19	2.46	2.76	3.00
P=200	1.65	1.95	2.25	2.58	2.88	3.24	3.54
P=300	2.19	2.52	2.82	3.15	3.48	3.84	4.14



รูปที่ 5.4.1 กราฟแสดงแรงดันที่เริ่มเกิดการเบรกดาวที่เป็นฟังก์ชันของระยะห่างแอโนด-แคโทด (d) ของก๊าซฮีเลียมที่อุณหภูมิ  $30.5^{\circ}\text{C}$

เอกสารนี้เป็นเอกสารที่สงวนไว้สำหรับการใช้งานเพื่อการศึกษาเท่านั้น ไม่อนุญาตให้นำไปใช้ประโยชน์ด้านการค้า  
ไม่ว่ากรณีใดๆทั้งสิ้น อีกทั้งห้ามมิให้ดัดแปลงเนื้อหา และต้องอ้างอิงถึงเจ้าของเอกสารทุกครั้งที่มีการนำไปใช้

## 5.5 ผลการทดลองในก๊าซอาร์กอน (Ar)

จากผลการทดลองที่ได้ ในการวัดแรงดันที่เริ่มเกิดการเบรคควาน์ในก๊าซอาร์กอนที่ความดัน 100,200 และ 300 torr และระยะห่างระหว่างอิเล็กโตรด 0.3 cm ถึง 3.9cm อุณหภูมิขณะทำการทดลอง 27° C (อุณหภูมิของอากาศรอบ ๆ แคมเบอร์, อุณหภูมิห้อง) ความบริสุทธิ์ของก๊าซอาร์กอนที่ใช้ 99.993 % อัตราการรั่วขณะทำการทดลอง 2.7 torr ความดันอากาศภายในแคมเบอร์ก่อนเติมก๊าซ (ก๊าซที่ใช้ในการทดลอง)  $5.8 \times 10^{-1}$  mbar

ผลการทดลองที่ได้ ได้แสดงไว้ตามตารางที่ 5.5.1 เมื่อนำผลการทดลองที่ได้นี้ไปพล็อตกราฟ จะได้กราฟดังที่แสดงตามรูปที่ 5.5.1 และ 5.5.2 รูปที่ 5.5.1 เป็นกราฟแรงดันที่เริ่มเกิดการเบรคควาน์ที่เป็นฟังก์ชันของระยะห่างระหว่างอิเล็กโตรด (d) รูปที่ 5.5.2 เป็นกราฟแสดงแรงดันที่เริ่มเกิดการเบรคควาน์ที่เป็นฟังก์ชันของผลคูณของความดันกับระยะห่างระหว่างอิเล็กโตรด (pd)



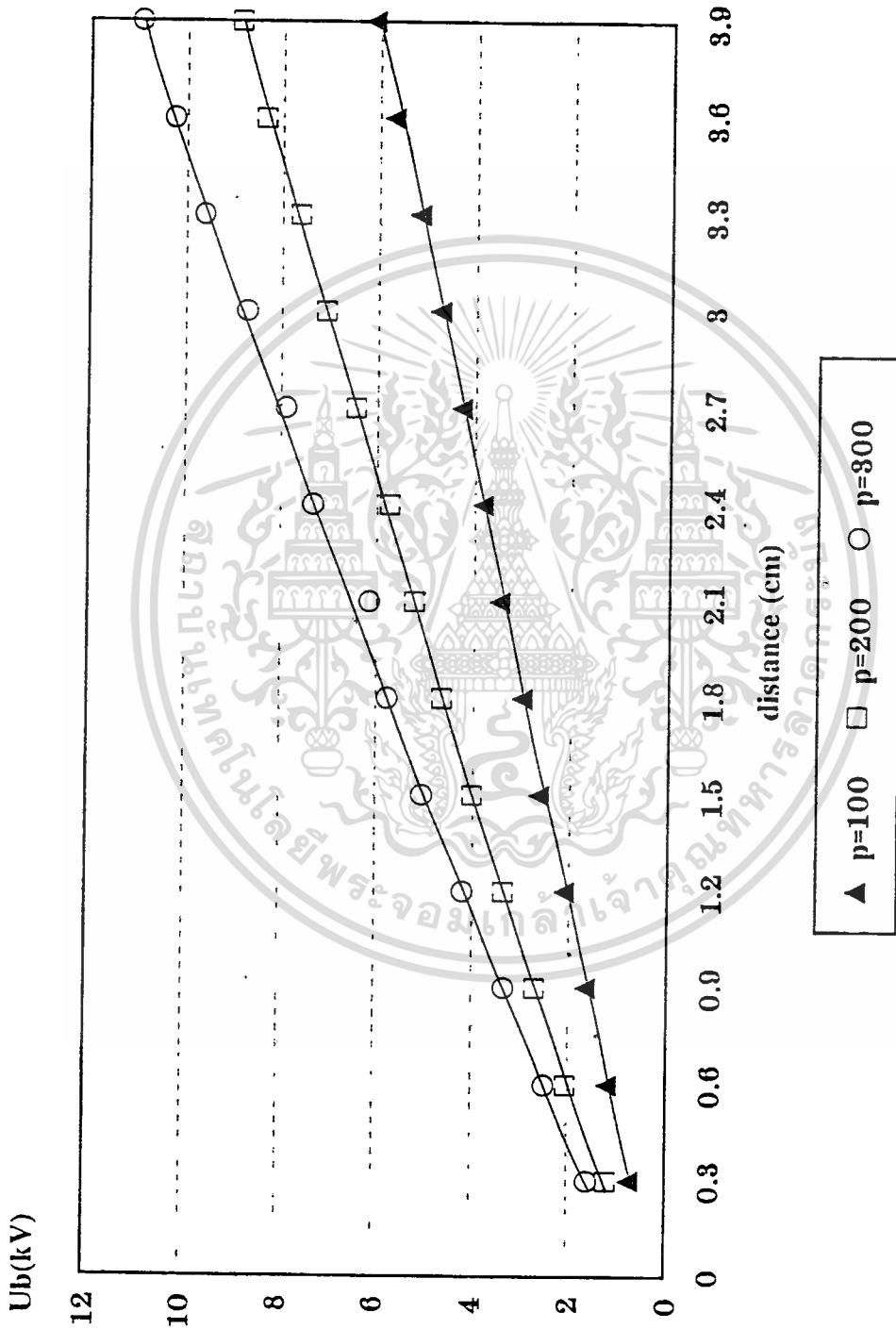
## ตารางที่ 5.5.1

แสดงระยะห่างระหว่างอิเล็กโตรดกับแรงดันที่เริ่มเกิดการเบรกดาวน์ (เป็น kV) ที่วัดได้ในก๊าซอาร์กอนที่ความดัน (เป็น Torr) ต่าง ๆ (อุณหภูมิขณะทำการทดลอง 27° C)

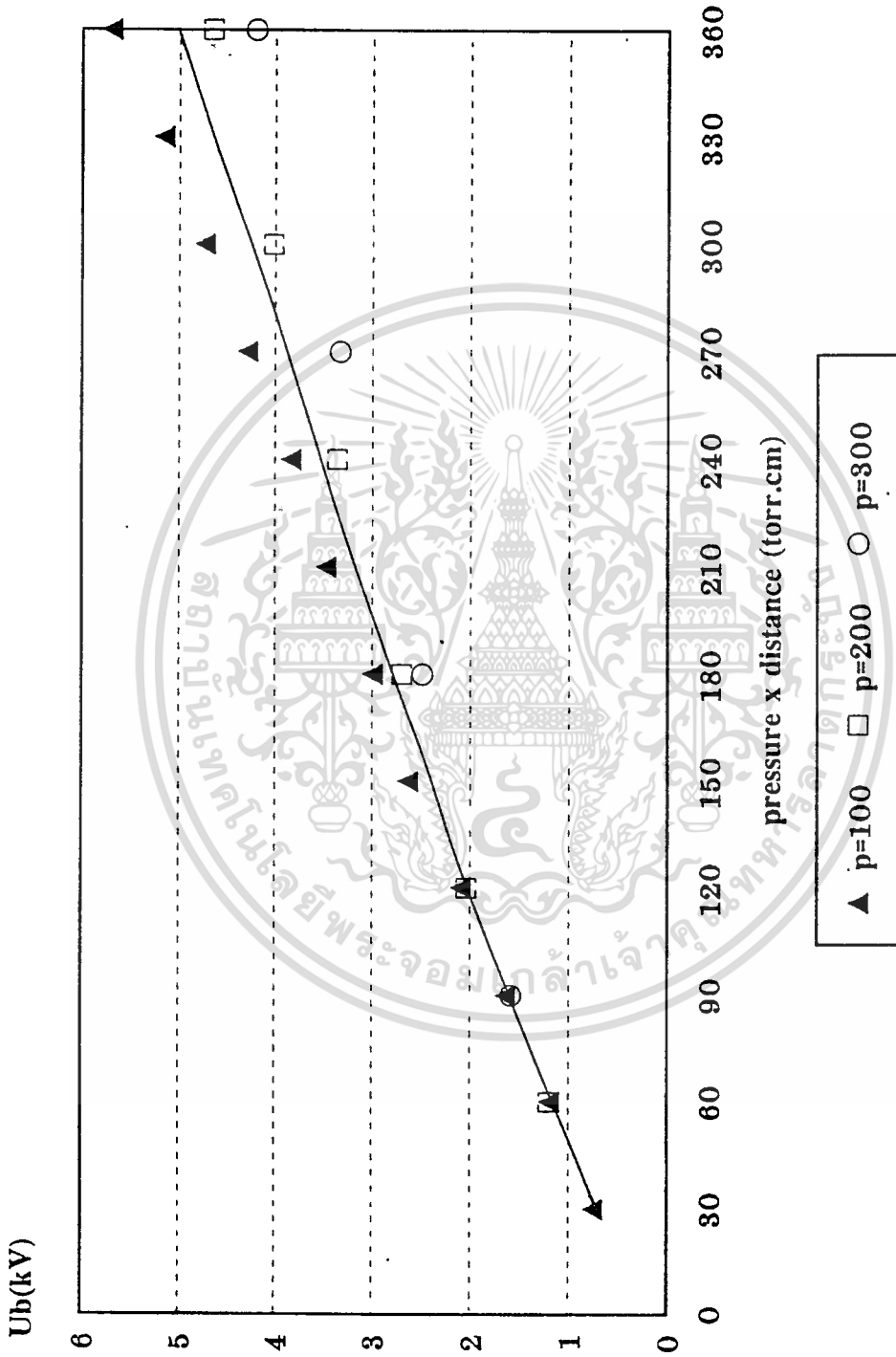
d (cm)	0.30	0.60	0.90	1.20	1.50	1.80
P=100	0.75	1.20	1.65	2.10	2.64	3.00
P=200	1.20	2.04	2.70	3.36	4.02	4.65
P=300	1.59	2.49	3.33	4.20	5.04	5.76

## ตารางที่ 5.5.1 (ต่อ)

d (cm)	2.10	2.40	2.70	3.00	3.30	3.60	3.90
P=100	3.48	3.84	4.29	4.74	5.16	5.70	6.12
P=200	5.22	5.73	6.45	7.08	7.62	8.34	8.85
P=300	6.15	7.32	7.89	8.70	9.60	10.26	10.95



รูปที่ 5.5.1 กราฟแสดงแรงดันที่เริ่มเกิดการเบรคดาวน์ที่เป็นฟังก์ชันของระยะห่างระหว่างอิเล็กโทรด (d) ของก๊าซอาร์กอนที่อุณหภูมิ 27°C



รูปที่ 5.5.2 กราฟแสดงแรงดันที่เริ่มเกิดการเบรคดาวน์ที่เป็นฟังก์ชันของผลคูณของความดันกับ ระยะห่างระหว่างอิเล็กโทรด (pd) ของก๊าซอาร์กอนที่อุณหภูมิ 27°C

## 5.6 การเปรียบเทียบผลการทดลองในก๊าซสามัญกับผลการทดลองในอากาศ

เมื่อนำผลการทดลองที่ได้ในก๊าซสามัญมาเปรียบเทียบกับผลการทดลองที่ได้ในอากาศเพื่อศึกษาว่าคุณสมบัติการเป็นฉนวนไฟฟ้าของก๊าซสามัญเมื่อเทียบกับอากาศ จะมีคุณสมบัติในการเป็นฉนวนไฟฟ้าที่สูงกว่าหรือต่ำกว่าอากาศ ตารางที่ 5.6.1 จะแสดงระยะห่างระหว่างอิเล็กโตรดกับแรงดันที่เริ่มเกิดการเบรคดาวน์ (เป็น kV) ที่วัดได้ในอากาศที่ความดัน(p) ต่าง ๆ

ตารางที่ 5.6.1

แสดงระยะห่างระหว่างอิเล็กโตรดกับแรงดันที่เริ่มเกิดการเบรคดาวน์ (เป็น kV) ที่วัดได้ในอากาศที่ความดัน (เป็น Torr) ต่าง ๆ (อุณหภูมิขณะทำการทดลอง 30° C)

d (cm)	0.30	0.60	0.90	1.20	1.50	1.80
P=100	2.28	3.93	5.52	7.08	8.52	9.93
P=200	3.93	6.90	9.45	12.30	14.76	17.10
P=300	5.43	9.45	13.20	16.98	20.94	24.48

ตารางที่ 5.6.1 (ต่อ)

d (cm)	2.10	2.40	2.70	3.00	3.30	3.60	3.90
P=100	11.52	12.90	14.40	15.90	17.19	18.24	19.20
P=200	19.80	22.41	24.99	27.24	28.80	30.06	30.51
P=300	27.30	30.78	34.35	36.60	38.34	40.20	43.20

ในการเปรียบเทียบนี้จะเปรียบเทียบที่ความดัน (p) เท่ากับ 100 Torr และระยะห่างระหว่างอิเล็กโตรด (d) เท่ากับ 1.80 และ 3.00 cm ตามตารางที่ 5.6.2

ตารางที่ 5.6.2

ตารางแสดงการเปรียบเทียบผลการทดลองของก๊าซสามัญกับผลการทดลองของอากาศที่ความดันเท่ากับ 100 Torr และระยะห่างระหว่างอิเล็กโตรดเท่ากับ 1.80 และ 3.00 cm.

ระยะห่างระหว่างอิเล็กโตรด (cm)	1.80	3.00
แรงดันเบรคดาวน์ (kV) ในก๊าซฟริออน	26.40	39.30
แรงดันเบรคดาวน์ (kV) ในก๊าซไนโตรเจน	0.65	16.74
แรงดันเบรคดาวน์ (kV) ในก๊าซคาร์บอน ไดออกไซด์	9.48	14.52
แรงดันเบรคดาวน์ (kV) ในก๊าซฮีเลียม	1.20	2.19
แรงดันเบรคดาวน์ (kV) ในก๊าซอาร์กอน	3.00	4.74
แรงดันเบรคดาวน์ (kV) ในอากาศ	9.93	15.90

เอกสารนี้เป็นเอกสารที่สงวนไว้สำหรับการใช้งานเพื่อการศึกษาเท่านั้น ไม่อนุญาตให้นำไปใช้ประโยชน์ด้านการค้า  
ไม่ว่ากรณีใดๆทั้งสิ้น อีกทั้งห้ามมิให้ตัดแปลงเนื้อหา และต้องอ้างอิงถึงเจ้าของเอกสารทุกครั้งที่มีการนำไปใช้

จากตารางที่ 5.6.2 จะเห็นได้ว่าที่ระยะห่างระหว่างอิเล็กโตรดเท่ากับ 1.80 และ 3.00 cm แรงดันที่เริ่มเกิดการเบรคความในก๊าซชนิดต่าง ๆ นั้นจะแตกต่างกันดังนี้

แรงดันที่เริ่มเกิดการเบรคความในก๊าซฟร็อนจะเท่ากับ 26.40 และ 39.30 kV ตามลำดับ

แรงดันที่เริ่มเกิดการเบรคความในก๊าซไนโตรเจนจะเท่ากับ 10.65 และ 16.74 kV ตามลำดับ

แรงดันที่เริ่มเกิดการเบรคความในก๊าซคาร์บอนไดออกไซด์จะเท่ากับ 9.48 และ 14.52 kV ตามลำดับ

แรงดันที่เริ่มเกิดการเบรคความในก๊าซฮีเลียมจะเท่ากับ 1.20 และ 2.19 kV ตามลำดับ

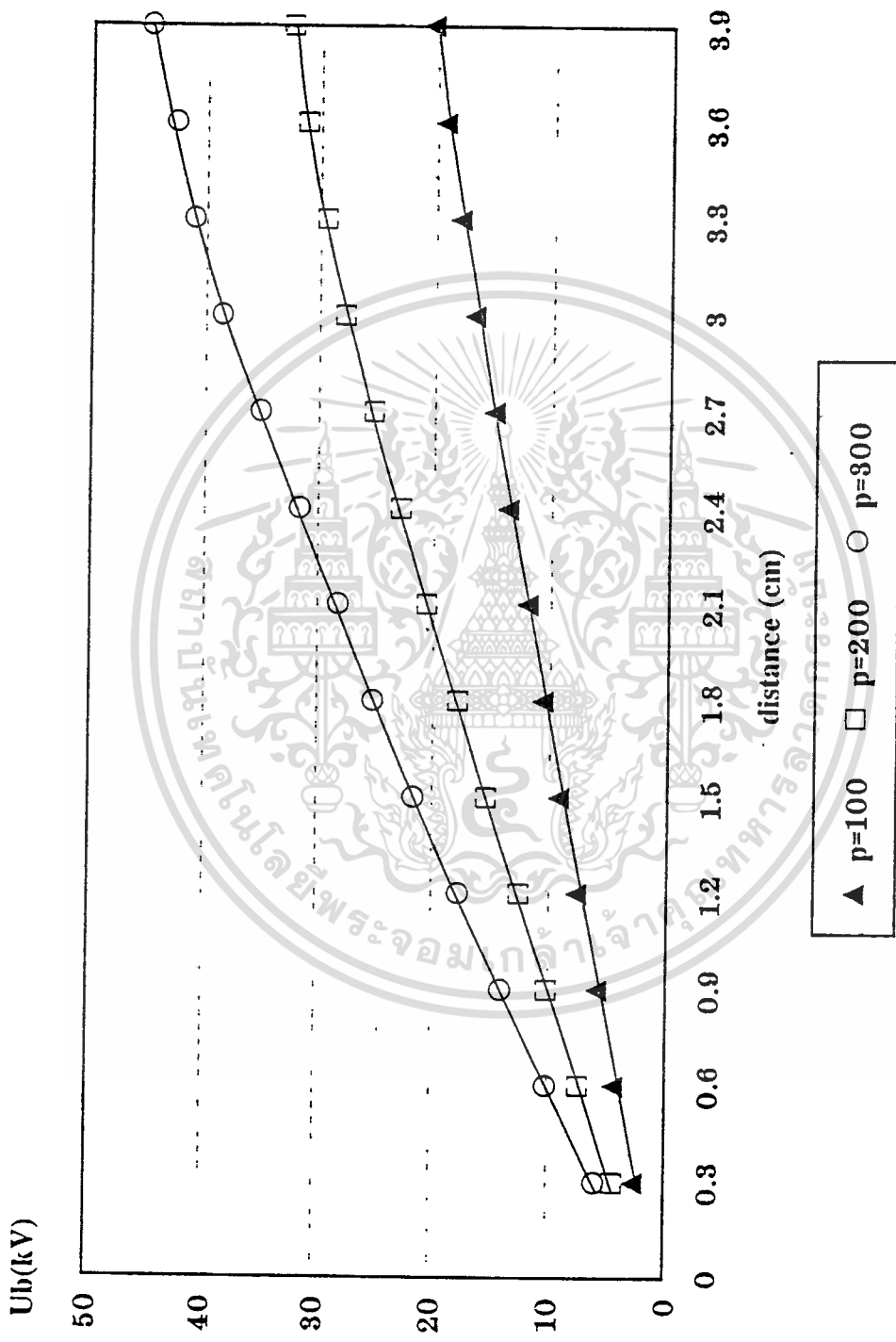
แรงดันที่เริ่มเกิดการเบรคความในก๊าซอาร์กอนจะเท่ากับ 3.00 และ 4.74 kV ตามลำดับ

แรงดันที่เริ่มเกิดการเบรคความในอากาศจะเท่ากับ 9.93 และ 15.90 kV ตามลำดับ

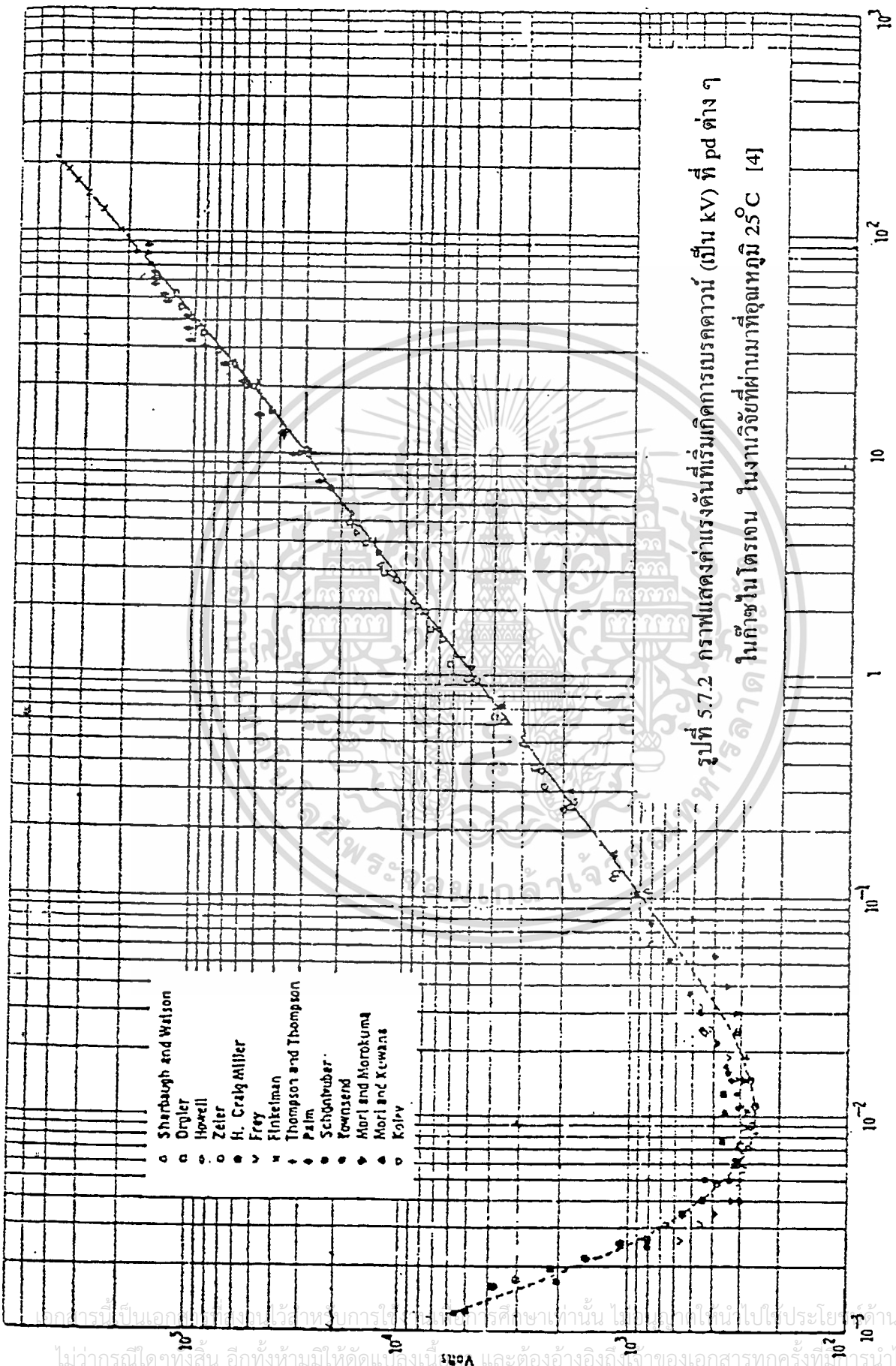
จะเห็นได้ว่าที่ระยะห่างระหว่างอิเล็กโตรดเท่ากันแรงดันที่เริ่มเกิดการเบรคความในอากาศจะสูงกว่าในก๊าซคาร์บอนไดออกไซด์ ก๊าซฮีเลียม และก๊าซอาร์กอน แต่จะต่ำกว่าก๊าซฟร็อนและก๊าซไนโตรเจน ดังนั้นอากาศจึงมีคุณสมบัติเป็นฉนวนไฟฟ้าที่ต่ำกว่า ก๊าซคาร์บอนไดออกไซด์ ก๊าซฮีเลียม และก๊าซอาร์กอน แต่จะมีคุณสมบัติในการเป็นฉนวนไฟฟ้าที่ต่ำกว่าก๊าซฟร็อนและก๊าซไนโตรเจน

## 5.7 การเปรียบเทียบผลการทดลองในก๊าซไนโตรเจนกับผลการทดลองที่ผ่านมา

ผลที่ได้จากการวัดแรงดันที่เริ่มเกิดการเบรคความในก๊าซไนโตรเจนที่ pd ต่าง ๆ กัน (สำหรับในก๊าซฟร็อน ก๊าซคาร์บอนไดออกไซด์ ก๊าซฮีเลียม ก๊าซอาร์กอน ไม่สามารถหาผลการทดลองที่ผ่านมาได้จึงไม่มีการเปรียบเทียบ) เมื่อนำมาเปรียบเทียบกับผลการทดลองที่ผ่านมาจะมีค่าที่ใกล้เคียงกันดังแสดงตามรูปที่ 5.7.1 และรูปที่ 5.7.2 รูปที่ 5.7.1 เป็นกราฟแสดงแรงดันที่เริ่มเกิดการเบรคความ (kV) ที่ pd ต่าง ๆ กันที่ได้จากการทดลองในงานวิจัยนี้ รูปที่ 5.7.2 เป็นกราฟแสดงแรงดันที่เริ่มเกิดการเบรคความที่ pd ต่าง ๆ กันที่ได้จากการทดลองที่ผ่านมา[4] (ในการเปรียบเทียบกันนี้จะแปลงหน่วยจาก bar.mm ในงานวิจัยที่ผ่านมาให้เป็น Torr.cm โดยคูณด้วย 75 แล้วจึงอ่านค่าแรงดันที่เริ่มเกิดการเบรคความจากกราฟ)



รูปที่ 5.7.1 กราฟแสดงแรงดันที่เริ่มเกิดการบรรคดาวที่เป็นฟังก์ชันของระยะห่างระหว่างอิเล็กโตรด (d) ของก๊าซไนโตรเจนที่อุณหภูมิ 27°C



รูปที่ 5.7.2 กราฟแสดงค่าแรงดันที่เริ่มเกิดการเบรกดาวน์ (เป็น kV) ที่ pd ต่าง ๆ ในก๊าซไนโตรเจน ในงานวิจัยที่ผ่านมาที่อุณหภูมิ 25°C [4]

p.d (bar.mm)

จากกราฟรูปที่ 5.7.1 ที่ pd เท่ากับ 60 , 180 และ 360 Torr.cm ค่าแรงดันเบรคความ  
ที่ได้ในงานวิจัยนี้จะเท่ากับ 4.41 , 10.31 และ 18.34 kV ตามลำดับ และจากกราฟรูปที่ 5.7.2 ที่ pd  
เท่ากับ 60 , 180 และ 360 Torr.cm ค่าแรงดันเบรคความที่อ่านได้จากกราฟโดยประมาณจะเท่า  
กับ 4.30 , 10.00 และ 17.50 kV ตามลำดับ (หมายเหตุที่อุณหภูมิแตกต่างกัน 3 - 4°C จะทำให้  
แรงดันเบรคความสูงขึ้นเพียงเล็กน้อย) และเมื่อนำค่าแรงดันที่เริ่มเกิดการเบรคความที่ pd ต่าง ๆ กัน  
นี้มาเขียนเป็นตารางจะได้ตามที่ 5.7.1

### ตารางที่ 5.7.1

ตารางแสดงการเปรียบเทียบแรงดันที่เริ่มเกิดการเบรคความในก๊าซไนโตรเจน\*  
ที่ได้ในงานวิจัยนี้กับในงานวิจัยที่ผ่านมาที่ pd เท่ากับ 60, 180, 360 Torr.cm

pd. (Torr.cm)	60	180	240
แรงดันเบรคความในก๊าซไนโตรเจน ที่วัดได้ในงานวิจัยนี้	4.41	10.31	18.34
แรงดันเบรคความในก๊าซไนโตรเจน ที่วัดได้ในงานวิจัยที่ผ่านมา **	4.30	10.00	17.50

\* เป็นค่าเฉลี่ยของแรงดันที่เริ่มเกิดการเบรคความที่ pd เท่ากัน

\*\* เป็นค่าโดยประมาณที่ได้จากการอ่านกราฟ [4]

จากตารางที่ 5.7.1 จะเห็นได้ว่าที่ pd เท่ากันแรงดันที่เริ่มเกิดการเบรคความจะมีค่าใกล้เคียงกัน

## 5.8 การเปรียบเทียบผลการทดลองและผลการคำนวณในการก๊าซฮีเลียม

เมื่อนำผลการทดลองมาเปรียบเทียบกับค่าที่ได้จากการคำนวณ(สูตรที่ใช้ในการคำนวณจะใช้สูตรตามสมการที่ 3.4 ) ที่ความดัน 100, 200 และ 300 Torr และมีระยะห่างระหว่างอิเล็กโตรดจาก 0.3 ถึง 3.9 cm ซึ่งค่าที่ได้จากการคำนวณได้แสดงไว้ตามตารางที่ 5.8.1 และเมื่อนำค่าที่ได้จากการคำนวณนี้ไปพล็อตกราฟเพื่อเปรียบเทียบกับกราฟที่ได้จากการทดลอง จะได้กราฟตามรูปที่ 5.8.2 จากกราฟจะเห็นได้ว่ามีค่าที่ใกล้เคียงกัน (สำหรับในก๊าซที่ใช้ในการทดลองชนิดอื่น ไม่สามารถหาค่าของแกมมา( $\Gamma$ ) ได้จึงไม่มีการเปรียบเทียบ)

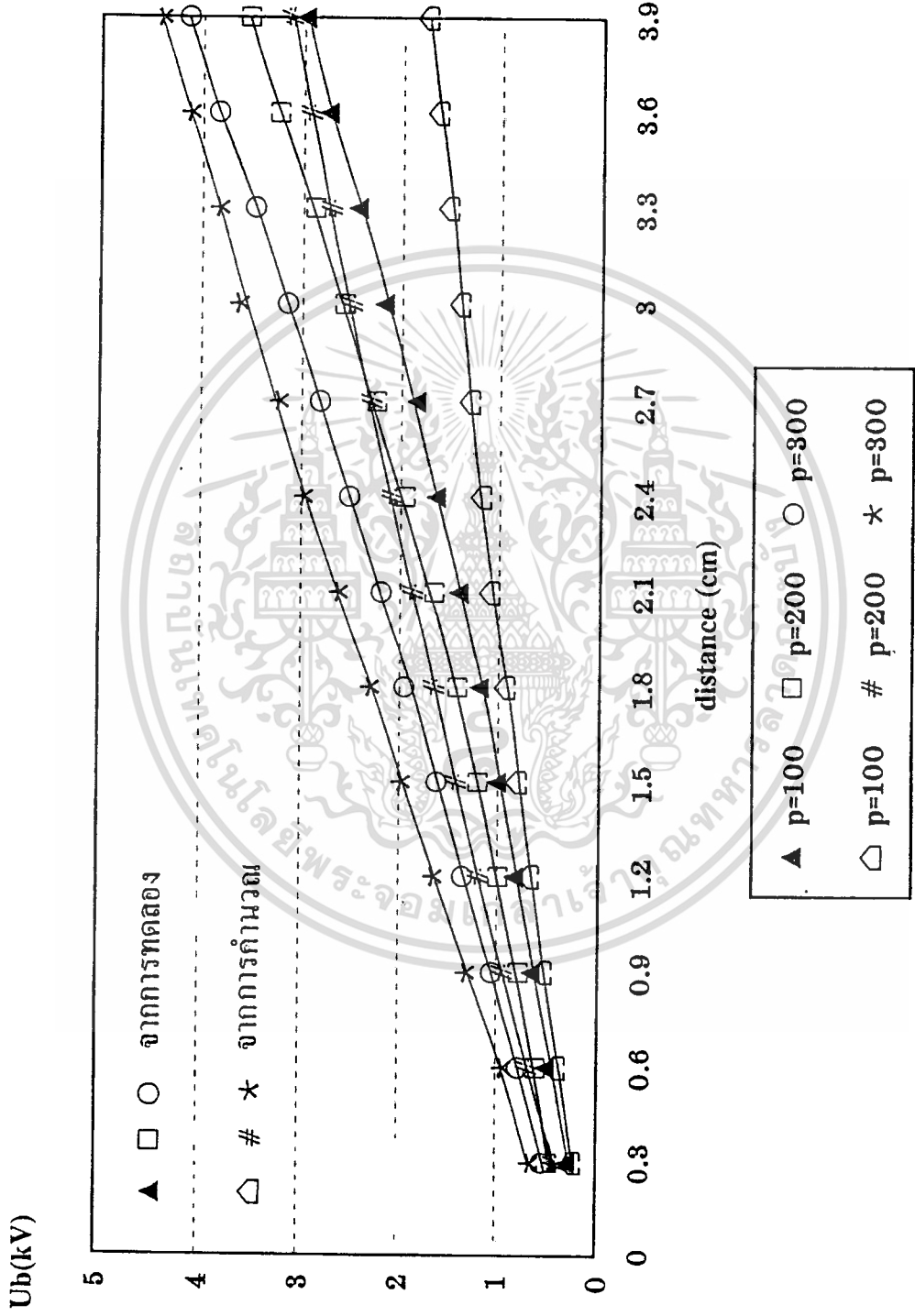
ตารางที่ 5.8.1

ตารางแสดงระยะห่างระหว่างอิเล็กโตรดกับแรงดันที่เกิดการเบรคดาวน์(เป็น kV) ที่ได้จากการคำนวณในก๊าซฮีเลียมที่ความดัน(เป็น Torr) ต่าง ๆ

d (cm)	0.30	0.60	0.90	1.20	1.50	1.80
P=100	0.25	0.41	0.55	0.69	0.82	0.94
P=200	0.41	0.69	0.94	1.19	1.42	1.65
P=300	0.66	0.94	1.31	1.65	1.98	2.30

ตารางที่ 5.8.1 (ต่อ)

d (cm)	2.10	2.40	2.70	3.00	3.30	3.60	3.90
P=100	1.10	1.19	1.31	1.42	1.54	1.65	1.75
P=200	1.87	2.09	2.30	2.51	2.72	2.93	3.13
P=300	2.62	2.93	3.23	3.53	3.83	4.12	4.41



รูปที่ 5.8.2 กราฟแสดงการเปรียบเทียบแรงดันที่เริ่มเกิดการเบรกดาวนที่เป็นฟังก์ชันของระยะห่างระหว่างอิเล็กโทรด (d) ของก๊าซฮีเลียมที่ได้อาจการทดลองและการคำนวณ

จากผลการทดลองวัดแรงดันที่เริ่มเกิดการเบรคควาน์ในก๊าซฟร็อน ( $\text{CCl}_2\text{F}_2$ ) ก๊าซไนโตรเจน ( $\text{N}_2$ ) ก๊าซคาร์บอนไดออกไซด์ ( $\text{CO}_2$ ) ก๊าซฮีเลียม ( $\text{He}$ ) และก๊าซอาร์กอน ( $\text{Ar}$ ) ที่ความดัน 100, 200 และ 300 Torr และมีระยะห่างระหว่างอิเล็กโทรด 0.3 cm ถึง 3.9 cm ความดันอากาศภายในแชมเบอร์ก่อนที่จะเติมก๊าซที่ใช้ในการทดลองเข้าไป  $5.8 \times 10^{-1}$  mbar อัตราการรั่ว 6 Torr/ชม. จากผลการทดลองที่ได้ในก๊าซทั้ง 5 ชนิด ที่ใช้ในการศึกษาพบว่าที่ความดันของก๊าซภายในแชมเบอร์ต่ำ แรงดันที่เริ่มเกิดการเบรคควาน์จะต่ำ และเมื่อเพิ่มความดันของก๊าซภายในแชมเบอร์มากขึ้นจะมีผลทำให้แรงดันที่เริ่มทำให้เกิดการเบรคควาน์นั้นจะสูงขึ้นตามไปด้วย สำหรับระยะห่างระหว่างอิเล็กโทรด จะมีผลต่อแรงดันที่เริ่มทำให้เกิดการเบรคควาน์คือที่ระยะห่างระหว่างอิเล็กโทรดน้อยแรงดันที่เริ่มเกิดการเบรคควาน์จะน้อย และเมื่อระยะห่างระหว่างอิเล็กโทรดมีค่ามากขึ้นแรงดันที่เริ่มทำให้เกิดการเบรคควาน์จะมีค่ามากขึ้นด้วย

ผลที่ได้จากการทดลองเพื่อศึกษาคุณสมบัติในการเป็นฉนวนไฟฟ้าของก๊าซทั้ง 5 ชนิดเมื่อ นำแรงดันที่เริ่มเกิดการเบรคควาน์ที่ pd ต่าง ๆ กันมาเปรียบเทียบกับตามตารางที่ 6.1 จากตารางที่ 6.1 จะเห็นได้ว่าที่ pd เท่ากัน ในก๊าซต่างชนิดกันแรงดันที่เริ่มทำให้เกิดการเบรคควาน์จะมีค่าไม่เท่ากัน แสดงว่าคุณสมบัติในการเป็นฉนวนไฟฟ้าของก๊าซแต่ละชนิดนั้นต่างกัน (ผลที่ได้จากการทดลองนี้ยังไม่ได้เปรียบเทียบกับมาตรฐาน)

## ตารางที่ 6.1

ตารางแสดงการเปรียบเทียบแรงดันที่เริ่มเกิดการเบรคความถี่\* (เป็น kV) ในก๊าซฟรืออน ก๊าซไนโตรเจน ก๊าซคาร์บอนไดออกไซด์ ก๊าซฮีเลียม และก๊าซอาร์กอนที่ pd เท่ากับ 60, 180 และ 360 Torr.cm

pd (Torr.cm)	60	180	360
ก๊าซฟรืออน	9.08	24.65	46.90
ก๊าซไนโตรเจน	4.41	10.31	18.34
ก๊าซคาร์บอนไดออกไซด์	40.10	9.00	15.88
ก๊าซฮีเลียม	0.50	0.92	1.84
ก๊าซอาร์กอน	1.20	2.73	4.85

\* เป็นค่าเฉลี่ยของแรงดันที่เริ่มเกิดการเบรคความถี่ที่ pd เท่ากัน

จากตารางที่ 6.1 ที่ pd เท่ากับ 60, 180 และ 360 Torr.cm แรงดันที่เริ่มเกิดการเบรคความถี่ในก๊าซชนิดต่างๆ นั้นจะมีค่าที่แตกต่างกันดังนี้

ในก๊าซฟรืออนที่ pd เท่ากับ 60, 180 และ 360 Torr.cm แรงดันที่เริ่มเกิดการเบรคความถี่จะเป็น 9.08, 24.65 และ 46.90 kV ตามลำดับ

ในก๊าซไนโตรเจนที่ pd เท่ากับ 60, 180 และ 360 Torr.cm แรงดันที่เริ่มเกิดการเบรคความถี่จะเป็น 4.41, 10.31 และ 18.34 kV ตามลำดับ

ในก๊าซคาร์บอนไดออกไซด์ที่ pd เท่ากับ 60, 180 และ 360 Torr.cm แรงดันที่เริ่มเกิดการเบรคความถี่จะเป็น 4.10, 9.00 และ 15.88 kV ตามลำดับ

ในก๊าซฮีเลียมที่ pd เท่ากับ 60, 180 และ 360 Torr.cm แรงดันที่เริ่มเกิดการเบรคความถี่จะเป็น 0.50, 0.94 และ 1.84 kV ตามลำดับ

ในก๊าซอาร์กอนที่ pd เท่ากับ 60, 180 และ 360 Torr.cm แรงดันที่เริ่มเกิดการเบรคความถี่จะเป็น 1.20, 2.73 และ 4.85 kV ตามลำดับ

ในการศึกษาคุณสมบัติการเป็นฉนวนไฟฟ้าของก๊าซ จะพิจารณาจากแรงดันที่เริ่มเกิดการเบรคดาวน์ในก๊าซที่  $pd$  เท่ากัน ถ้าก๊าซชนิดใดมีแรงดันที่เริ่มเกิดการเบรคดาวน์สูงกว่า ก๊าซชนิดนั้นจะมีคุณสมบัติในการเป็นฉนวนไฟฟ้าที่ดีกว่า ในก๊าซทั้ง 5 ชนิดที่ใช้ในการศึกษานี้จะเห็นได้ว่าแรงดันที่เริ่มเกิดการเบรคดาวน์ในก๊าซฟร็อนจะสูงกว่าก๊าซชนิดอื่น ก๊าซฟร็อนจึงมีคุณสมบัติในการเป็นฉนวนที่ดีกว่าก๊าซชนิดอื่น

ดังนั้นจึงสามารถสรุปคุณสมบัติในการเป็นฉนวนไฟฟ้าของก๊าซทั้ง 5 ชนิด โดยเรียงตามลำดับจากก๊าซที่มีคุณสมบัติในการเป็นฉนวนไฟฟ้าที่ดีที่สุด (หมายเลข 1) ไปจนถึงก๊าซที่มีคุณสมบัติในการเป็นฉนวนไฟฟ้าต่ำสุด (หมายเลข 5) ได้ดังนี้

1. ก๊าซฟร็อน
2. ก๊าซไนโตรเจน
3. ก๊าซคาร์บอน ไดออกไซด์
4. ก๊าซอาร์กอน
5. ก๊าซฮีเลียม

เมื่อนำผลการทดลองที่ได้ในการศึกษาคุณสมบัติการเป็นฉนวนไฟฟ้า ของก๊าซทั้ง 5 ชนิดนี้ ไปเปรียบเทียบกับก๊าซซัลเฟอร์เฮกซะฟลูออไรด์ ( $SF_6$ ) ซึ่งเป็นก๊าซที่ใช้เป็นฉนวนไฟฟ้าที่ใช้กันอยู่ในปัจจุบันจากกราฟในภาคผนวก ข รูปที่ 1 ซึ่งเป็นกราฟแสดงค่าแรงดันที่เริ่มเกิดการเบรคดาวน์ในก๊าซ  $SF_6$  ที่เป็นฟังก์ชันของผลคูณของความดันกับระยะห่างระหว่างอิเล็กโตรด ( $pd$ ) ในงานวิจัยที่ผ่านมา [4] (ซึ่ง  $pd$  จะมีหน่วยเป็น  $bar \cdot mm$  ในการเปรียบเทียบจะแปลงหน่วยจาก  $bar \cdot mm$  เป็น  $Torr \cdot cm$  โดยคูณด้วย 75) ในการเปรียบเทียบนี้จะเปรียบเทียบที่  $pd$  เท่ากัน ถ้าก๊าซชนิดใดมีแรงดันที่เริ่มเกิดการเบรคดาวน์สูงกว่าก๊าซชนิดนั้นจะมีคุณสมบัติการเป็นฉนวนไฟฟ้าที่ดีกว่าโดยนำค่าแรงดันที่เริ่มเกิดการเบรคดาวน์ในก๊าซฟร็อน ก๊าซคาร์บอนไดออกไซด์ ก๊าซไนโตรเจน ก๊าซอาร์กอน ก๊าซฮีเลียม มาเขียนเป็นตารางเปรียบเทียบกับแรงดันที่เริ่มเกิดการเบรคดาวน์ในก๊าซ  $SF_6$  ที่ได้จากการอ่านกราฟ (เป็นค่าโดยประมาณ) ตารางที่ 6.2 จะเป็นตารางแสดงการเปรียบเทียบแรงดันที่เริ่มเกิดการเบรคดาวน์ในก๊าซทั้ง 5 ชนิดที่ใช้ในการศึกษานี้ กับก๊าซ  $SF_6$  ที่  $pd$  เท่ากับ 60, 120, 180, 240 และ 300  $Torr \cdot cm$

## ตารางที่ 6.2

ตารางแสดงการเปรียบเทียบแรงดันที่เริ่มเกิดการเบรคความในก๊าซสามัญทั้ง 5 ชนิด\*  
ที่ใช้ในการศึกษา กับก๊าซ SF<sub>6</sub> ที่ pd ต่างๆ กัน

pd (Torr.cm)	60	120	180	240	300
ก๊าซฟร็อน	9.08	17.16	24.65	32.63	39.15
ก๊าซคาร์บอนไดออกไซด์	4.10	6.65	9.00	11.57	13.90
ก๊าซไนโตรเจน	4.41	7.54	10.31	13.14	16.10
ก๊าซอาร์กอน	1.20	2.07	2.73	3.60	4.38
ก๊าซฮีเลียม	0.50	0.72	0.92	1.32	1.70
ก๊าซ SF <sub>6</sub> **	7.88	12.00	20.00	28.00	35.00

\* เป็นค่าเฉลี่ยของแรงดันที่เริ่มเกิดการเบรคความที่ pd เท่ากัน

\*\* เป็นค่าโดยประมาณที่อ่านได้จากกราฟในงานวิจัยที่ผ่านมา [4]

จากตารางจะเห็นได้ว่าที่ pd เท่ากัน แรงดันที่เริ่มเกิดการเบรคความในก๊าซ SF<sub>6</sub> จะสูงกว่าในก๊าซคาร์บอนไดออกไซด์ ก๊าซไนโตรเจน ก๊าซอาร์กอน ก๊าซฮีเลียม แต่จะต่ำกว่าในก๊าซฟร็อน ในการนำก๊าซไปประยุกต์ใช้งาน จะต้องศึกษาถึงคุณสมบัติทางกายภาพคุณสมบัติทางเคมีและผลกระทบต่อสิ่งแวดล้อมด้วย

ก๊าซฟร็อน จากการทดลองวัดแรงดันที่เริ่มเกิดการเบรคความจะเห็นได้ว่ามีคุณสมบัติในการเป็นฉนวนไฟฟ้าดีกว่าก๊าซชนิดอื่น ๆ ที่ใช้ในการศึกษานี้ ดังนั้นจึงน่าจะมีความเหมาะสมกับการนำไปใช้ในการเป็นฉนวนไฟฟ้า แต่จากการศึกษาถึงคุณสมบัติทางเคมีและผลกระทบต่อสิ่งแวดล้อมพบว่าก๊าซฟร็อนถ้าใช้มากเกินไปจะทำให้หลายชั้นบรรยากาศ ซึ่งจะทำให้เกิดผลกระทบต่อสิ่งแวดล้อม เป็นก๊าซที่ไม่เฉื่อยต่อปฏิกิริยาเคมี และเมื่อถูกเปลวไฟหรือสัมผัสกับผิวโลหะที่ร้อนจะทำให้เกิดสารที่เป็นพิษขึ้น ดังนั้นจึงไม่น่าที่จะมีความเหมาะสมที่จะนำมาใช้ในการเป็นฉนวนไฟฟ้า

ก๊าซคาร์บอนไดออกไซด์ ถ้าในบรรยากาศมีก๊าซคาร์บอนไดออกไซด์มากเกินไปจะทำให้อุณหภูมิของบรรยากาศสูงขึ้นและเกิดปรากฏการณ์เรือนกระจก

ก๊าซไนโตรเจน เป็นก๊าซที่ไม่ไวต่อปฏิกิริยาเคมีเป็นก๊าซที่ไม่เป็นอันตราย และเป็นก๊าซที่ไม่มีผลกระทบต่อสิ่งแวดล้อม ดังนั้นจึงน่าจะมีความเหมาะสมที่จะนำมาเป็นฉนวนไฟฟ้ามากกว่าก๊าซชนิดอื่น ๆ ที่ใช้ในการทดลอง (เมื่อแรงดันไฟฟ้าระหว่างขั้วอิเล็กโตรดมีค่าไม่สูงมากนัก)

ก๊าซอาร์กอนและก๊าซฮีเลียม จะเห็นได้ว่าแรงดันที่เริ่มเกิดการเบรคดาวน์มีค่าต่ำ ดังนั้นจึงไม่ควรนำมาใช้เพื่อจุดประสงค์ในการเป็นฉนวนไฟฟ้า ควรใช้ในอุปกรณ์ไฟฟ้าที่อาศัยการทำงานโดยการดีสชาร์จของก๊าซจะมีความเหมาะสมมากกว่าเช่น นำมาใช้ในหลอดไฟโฆษณาต่าง ๆ ซึ่งจะให้แสงสีม่วงน้ำเงิน หรือใช้เป็นตัวป้องกันการเกิดปฏิกิริยาเคมีในอุปกรณ์ไฟฟ้าที่ไม่มีการดีสชาร์จระหว่างขั้วอิเล็กโตรดเพื่อยืดอายุการใช้งานของอุปกรณ์นั้น ก๊าซทั้ง 2 ชนิดนี้เป็นก๊าซที่ไม่เป็นอันตรายและไม่มีผลกระทบต่อสิ่งแวดล้อม

ก๊าซ SF<sub>6</sub> จากการเปรียบเทียบกับก๊าซที่ใช้ในการทดลอง ก๊าซ SF<sub>6</sub> จะมีคุณสมบัติในการเป็นฉนวนไฟฟ้าที่ต่ำกว่าก๊าซฟรอนเท่านั้น ก๊าซ SF<sub>6</sub> เป็นก๊าซที่ไม่ทำลายชั้นบรรยากาศและเฉื่อยต่อปฏิกิริยาเคมี เป็นก๊าซที่มีความเสถียรทางด้านความร้อนสูง(500°C) ดังนั้นจึงมีความเหมาะสมกว่าก๊าซฟรอนในการนำมาใช้เป็นฉนวนไฟฟ้า (สำหรับความเหมาะสมในกรณีอื่น สามารถศึกษาได้จากเอกสารอ้างอิงเล่มที่ [4] )

จากผลการทดลองที่ได้เมื่อนำมาวิเคราะห์ที่เปรียบเทียบกับทฤษฎี จะเห็นได้ว่าผลการทดลองที่ได้ นั้นสอดคล้องกับทฤษฎี กล่าวคือ

1) ในก๊าซที่มีสัมประสิทธิ์การไอโอไนเซชันที่ สองมาก(ค่าแกมมา) ก๊าซชนิดนั้นจะมีคุณสมบัติในการเป็นฉนวนไฟฟ้าที่ต่ำกว่าก๊าซที่มีสัมประสิทธิ์การไอโอไนเซชันที่ สองน้อย เช่นในก๊าซฮีเลียมจะมีค่าแกมมา ( $\Gamma$ ) ประมาณ 0.01 ในก๊าซไนโตรเจนจะมีค่าประมาณ  $10^{-4}$  ดังนั้นก๊าซไนโตรเจนจะเป็นฉนวนไฟฟ้าที่ดีกว่าก๊าซฮีเลียม ซึ่งจากผลการทดลองที่ได้ก๊าซไนโตรเจนก็จะเป็นฉนวนไฟฟ้าที่ดีกว่าก๊าซฮีเลียม

2) ถ้าวิเคราะห์เปรียบเทียบกับความดัน ในก๊าซชนิดเดียวกันที่ความดันสูงแรงดันที่เริ่มเกิดการเบรคดาวน์จะสูงกว่าที่ความดันต่ำ เนื่องจากการชนกันของอิเล็กตรอนกับอะตอมหรืออะตอมกับอะตอมซึ่งในการชนกันนี้จะมีการถ่ายเทพลังงานให้กับอะตอมที่ถูกชน ถ้าพลังงานนี้มากกว่าพลังงานของการไอโอไนเซชันก็จะเกิดการไอโอไนเซชันและจะนำไปสู่การเกิดการเบรคดาวน์ พลังงานอันนี้สามารถพิจารณาได้จาก

$$e = 1/2 mv^2$$

เมื่อ  $e$  เป็นพลังงานของอิเล็กตรอนหรือไอออนบวก

$m$  เป็นมวลของอิเล็กตรอนหรือไอออนบวก

$v$  เป็นความเร็วของอิเล็กตรอนหรือไอออนบวก

$$v^2 = u^2 + 2as$$

เมื่อ  $u$  เป็นความเร็วเริ่มต้น

$a$  เป็นความเร่ง

$s$  เป็นระยะห่างระหว่างอะตอม ( $\lambda$ )

$$a = eE/m$$

เมื่อ  $e$  เป็นประจุของอิเล็กตรอนหรือไอออนบวก

$E$  เป็นสนามไฟฟ้า

$m$  เป็นมวลของอิเล็กตรอนหรือไอออนบวก

จากสมการที่หนึ่ง จะเห็นได้ว่าพลังงานของอิเล็กตรอนหรืออะตอมจะมีค่ามาก ถ้าความเร็ว ( $v$ ) มีค่ามาก ซึ่งความเร็วนี้จะขึ้นอยู่กับความเร่ง ( $a$ ) และระยะห่างระหว่างอะตอม ( $s$ ) ถ้าให้ความเร่งคงที่ ความเร็วจะขึ้นอยู่กับระยะห่างระหว่างอะตอมในแชมเบอร์เดียวกัน ที่ความดันสูงระยะห่างระหว่างอะตอมจะน้อยกว่าที่ความดันต่ำ ดังนั้นที่ความดันต่ำพลังงานของอิเล็กตรอนจะมีค่ามากกว่าที่ความดันสูง (เมื่อสนามไฟฟ้าเท่ากันและเป็นก๊าซชนิดเดียวกัน) ถ้าพลังงานนี้มากกว่าพลังงานของการไอออไนเซชันจะเกิดการไอออไนเซชันขึ้น

3) การเปรียบเทียบค่าที่ได้จากการคำนวณและการทดลองในก๊าซซีเลียมที่ ความดันและระยะห่างระหว่างอิเล็กโตรดต่าง ๆ กัน จากการเปรียบเทียบจะเห็นได้ว่าที่ความดันต่ำความคลาดเคลื่อน (Error) จะมีค่ามาก เนื่องจากภายในแชมเบอร์ก่อนที่จะใส่ก๊าซซีเลียมเข้าไปยังมีโมเลกุลของก๊าซอื่น ๆ ประปนอยู่ (ในการปั๊มอากาศออกจากแชมเบอร์จะปั๊มอากาศออกให้ความดันภายในแชมเบอร์เหลือต่ำลงประมาณ  $5.8 \times 10^{-1}$  mbar ซึ่งเป็นไปตามการใช้งานจริงจึงทำให้ภายในแชมเบอร์มีโมเลกุลของก๊าซอื่นเหลืออยู่บ้าง) แต่ค่าที่ได้จากการคำนวณเป็นแรงดันที่เริ่มเกิดการเบรคดาวน์ในก๊าซซีเลียมที่บริสุทธิ์

ที่ความดันสูงขึ้นค่าที่ได้จากการคำนวณและการทดลองจะมีค่าที่ใกล้เคียงกันเนื่องจากที่ความ

คั้นสูงจำนวนโมเลกุลของก๊าซที่ใช้ในการทดลองจะมีค่ามากขึ้น เมื่อเปรียบเทียบกับจำนวนโมเลกุลของก๊าซอื่นที่ปนอยู่ภายในแชมเบอร์ ดังนั้นความบริสุทธิ์ของก๊าซที่ใช้ในการทดลองจะเพิ่มขึ้น ทำให้ค่าที่ได้จากการทดลองและการคำนวณมีค่าใกล้เคียงกันมากขึ้น



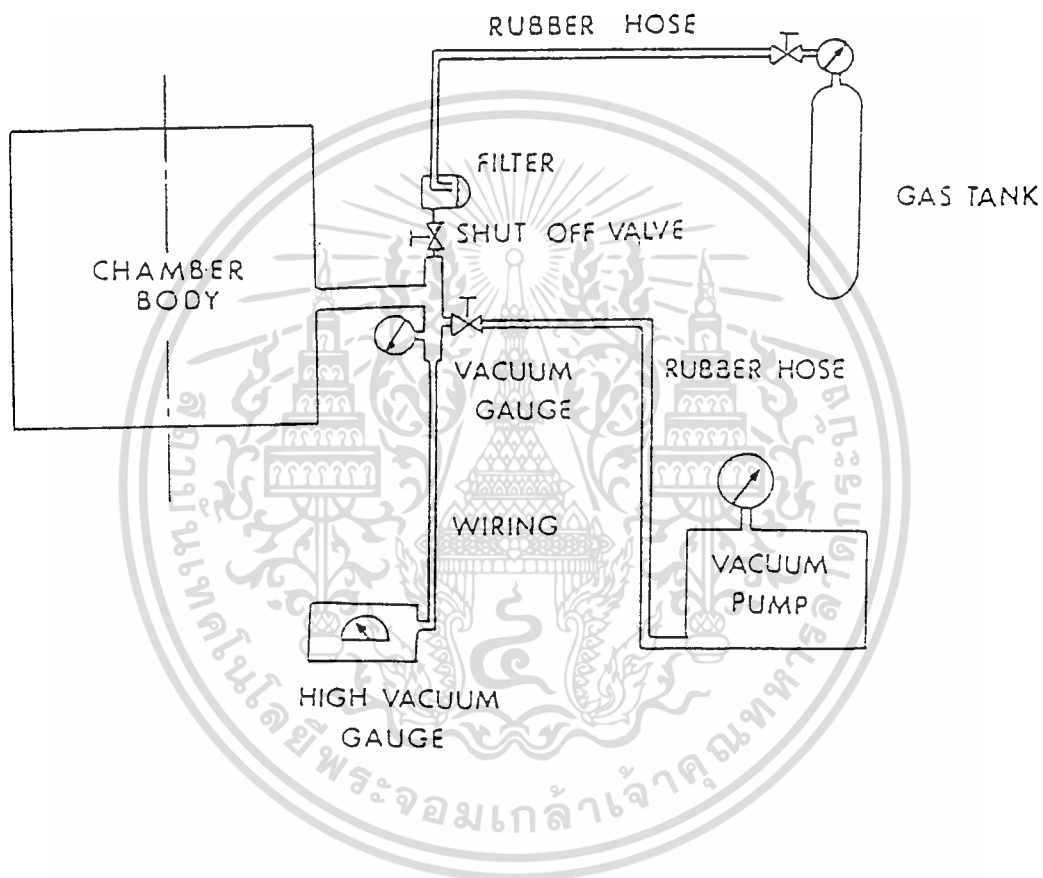
เอกสารนี้เป็นเอกสารที่สงวนไว้สำหรับการใช้งานเพื่อการศึกษาเท่านั้น ไม่อนุญาตให้นำไปใช้ประโยชน์ด้านการค้า  
ไม่ว่ากรณีใดๆทั้งสิ้น อีกทั้งห้ามมิให้ตัดแปลงเนื้อหา และต้องอ้างอิงถึงเจ้าของเอกสารทุกครั้งที่มีการนำไปใช้

## เอกสารอ้างอิง

- [1] ประโมทย์ อุณหวัทยะ และ จุมพล พรหมพิทักษ์ , วิชาอิเล็กทรอนิกส์ในก๊าซ , คณะวิศวกรรมศาสตร์จุฬาลงกรณ์มหาวิทยาลัย, 2520.
- [2] นิพนธ์ สุขุม. KINETIC THEORY OF GASES และ GAS DISCHARGE. คณะวิศวกรรมศาสตร์ สถาบันเทคโนโลยีพระจอมเกล้าเจ้าคุณทหารลาดกระบัง, 2534
- [3] A. VON ENGEL , IONIZED GASES, Oxford University Press 1969
- [4] สำราญ สังข์สะอาด. วิศวกรรมไฟฟ้าแรงสูง. คณะวิศวกรรมศาสตร์ จุฬาลงกรณ์มหาวิทยาลัย, 2528
- [5] สุพร กอเจริญรัตน์, "การพัฒนาและออกแบบไอโอเซชันแชมเบอร์" , (วิทยานิพนธ์ ปริญญาโท สาขาวิชาวิศวกรรมไฟฟ้า บัณฑิตวิทยาลัย สถาบันเทคโนโลยีพระจอมเกล้าเจ้าคุณทหารลาดกระบัง, 2537)
- [6] บริษัท ซีอีคยูเคชั่นจำกัด, ผู้รวบรวม, 74เรื่องน่ารู้ เทคนิคเครื่องกล ชุดที่ 2 (กรุงเทพฯ : หจก. นำอักษรการพิมพ์, 2535)
- [7] F.W. Sears & M.W. Zemansky, UNIVERSITY PHYSICS, Addison Wesley Publishing Company, 1967
- [8] James Dillon Cobine "Gaseous Conductors " 1958 , Ideal Pland Electordes , 177 - 181.
- [9] Leybold-Heraeus, High Vacuum Pump Systems(Germany : Leybold - heraeus, 1986), pag 8.2
- [10] Ned H.C. Hwang and Carlos E. Hita. FUNDAMENTALS OF HYDRAULIC ENGINEERING SYSTEMS. University of Houston Houston, Texas, 1987.



เอกสารนี้เป็นเอกสารที่สงวนไว้สำหรับการใช้งานเพื่อการศึกษาเท่านั้น ไม่อนุญาตให้นำไปใช้ประโยชน์ด้านการค้า  
ไม่ว่ากรณีใดๆทั้งสิ้น อีกทั้งห้ามมิให้ดัดแปลงเนื้อหา และต้องอ้างอิงถึงเจ้าของเอกสารทุกครั้งที่มีการนำไปใช้

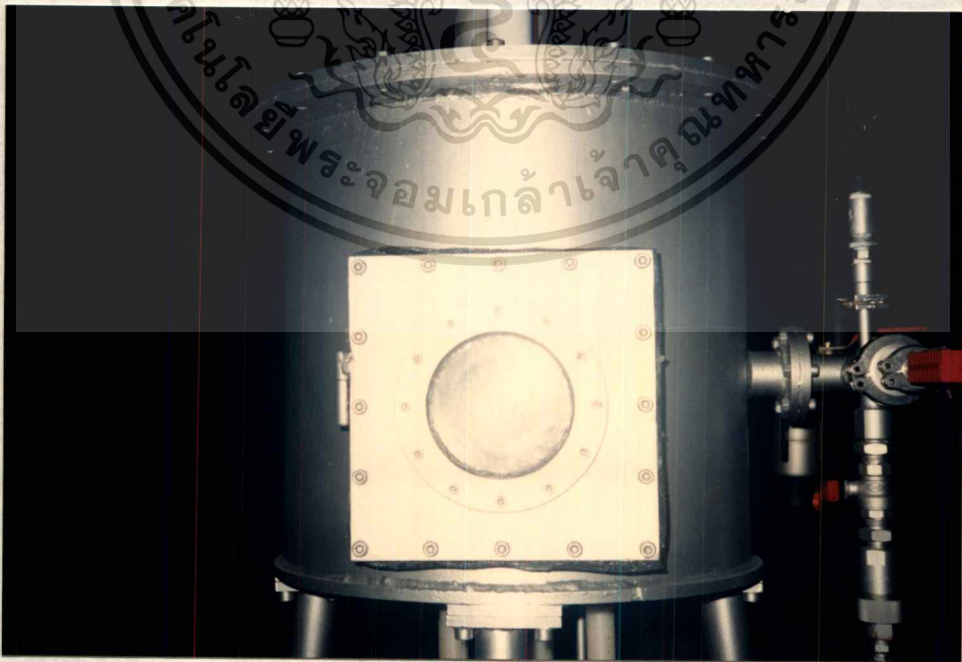


ไดอะแกรมแสดงการต่อ เชมเบอร์ เกจวัดความดัน บีมสูญญากาศ  
ตัวกรองอากาศและท่อสำหรับใส่ก๊าซเข้าด้วยกัน

รูปแสดงการต่อ แคมเบอร์ ถึงก๊าซ เกจวัดความดันและโรตารีเวนปัมเข้าด้วยกัน

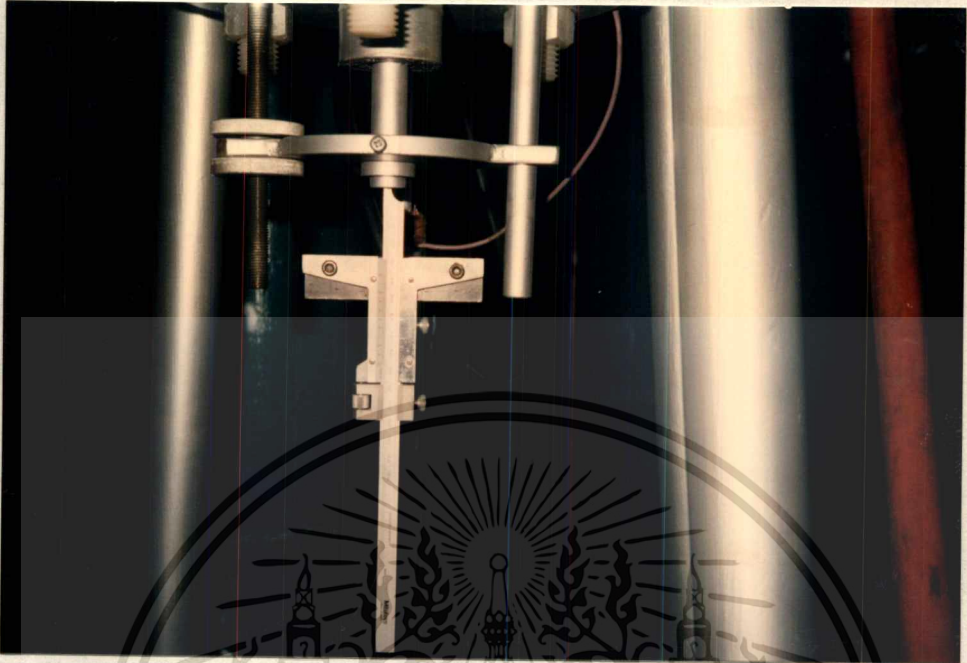


รูปหน้าต่างของแคมเบอร์



เอกสารนี้เป็นเอกสารที่สงวนไว้สำหรับการใช้งานเพื่อการศึกษาเท่านั้น ไม่อนุญาตให้นำไปใช้ประโยชน์ด้านการค้า  
ไม่ว่ากรณีใดๆทั้งสิ้น อีกทั้งห้ามมิให้ตัดแปลงเนื้อหา และต้องอ้างอิงถึงเจ้าของเอกสารทุกครั้งที่มีการนำไปใช้

## รูปแสดงการติดตั้งเวอร์เนียที่อยู่ด้านล่างแชมเบอร์

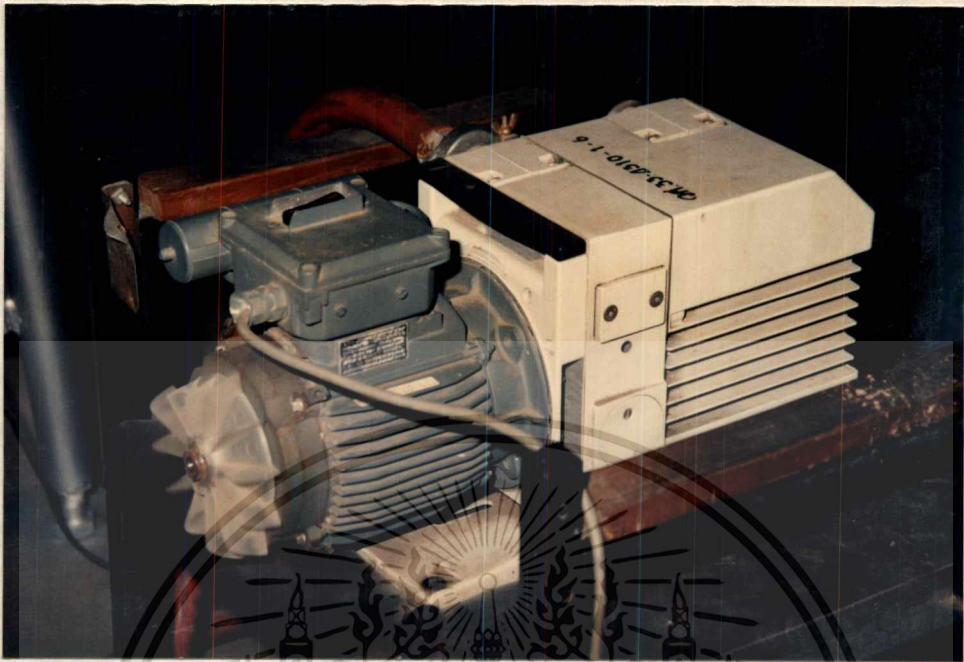


รูปแสดงหัวอิเล็กโตรดแบบ Rogowsky

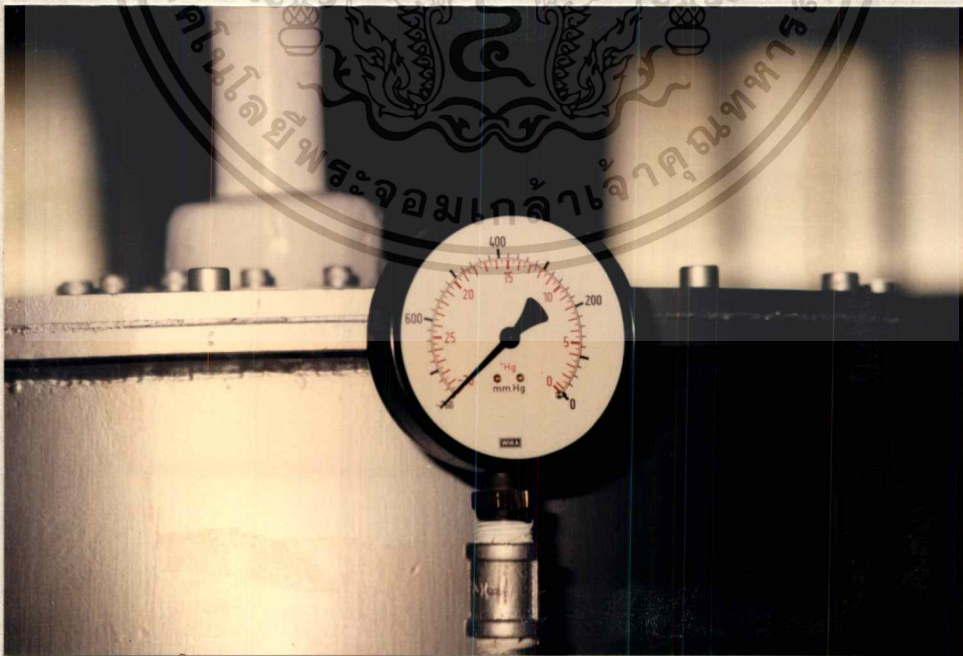


เอกสารนี้เป็นเอกสารที่สงวนไว้สำหรับการใช้งานเพื่อการศึกษาเท่านั้น ไม่อนุญาตให้นำไปใช้ประโยชน์ด้านการค้า  
ไม่ว่ากรณีใดๆทั้งสิ้น อีกทั้งห้ามมิให้ดัดแปลงเนื้อหา และต้องอ้างอิงถึงเจ้าของเอกสารทุกครั้งที่มีการนำไปใช้

## รูปแสดง โรตารีเวนปัมที่ใช้ในการปั๊มอากาศออก

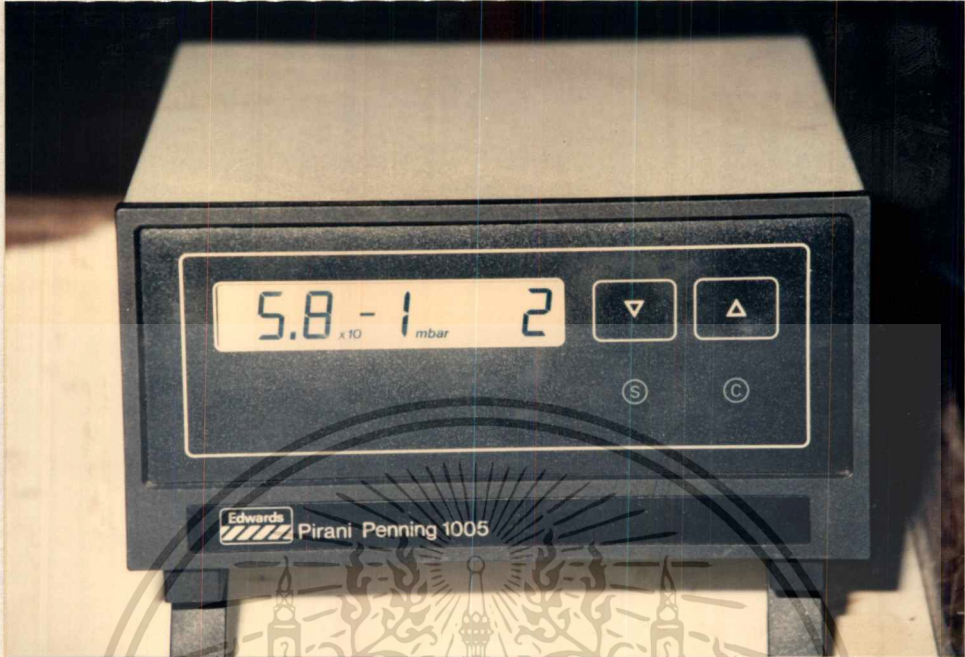


รูปแสดงเกจวัดความดัน (แบบ BOURDON GAUGE)



เอกสารนี้เป็นเอกสารที่สงวนไว้สำหรับการใช้งานเพื่อการศึกษาเท่านั้น ไม่อนุญาตให้นำไปใช้ประโยชน์ด้านการค้า  
ไม่ว่ากรณีใดๆทั้งสิ้น อีกทั้งห้ามมิให้ดัดแปลงเนื้อหา และต้องอ้างอิงถึงเจ้าของเอกสารทุกครั้งที่มีการนำไปใช้

รูปแสดงเกจวัดความดัน (แบบ PENNING GAUGE)

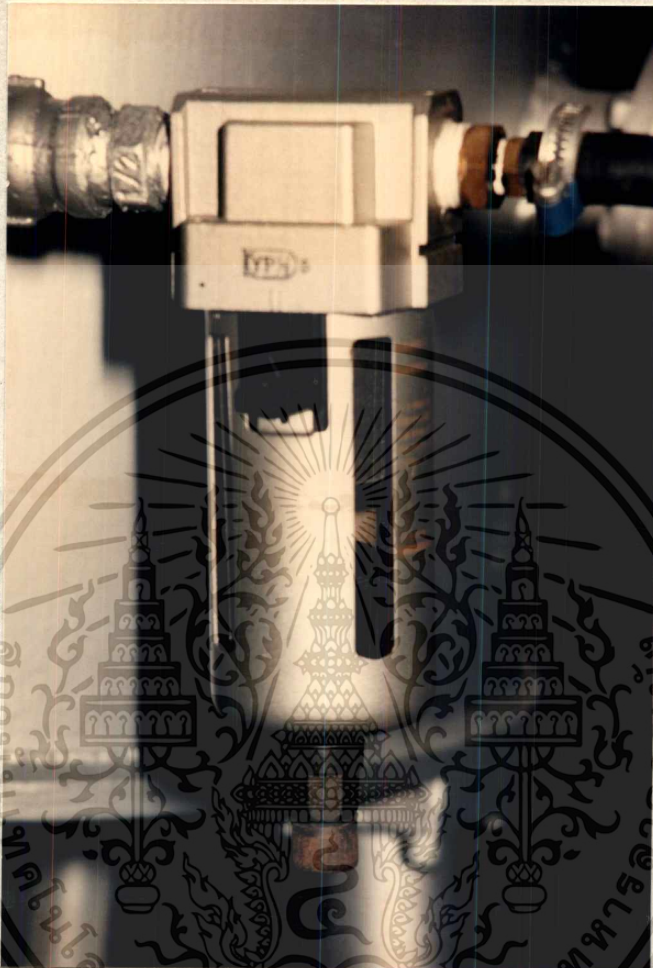


รูปแสดงขณะเกิดการเบรคความชื้นภายในแชมเบอร์



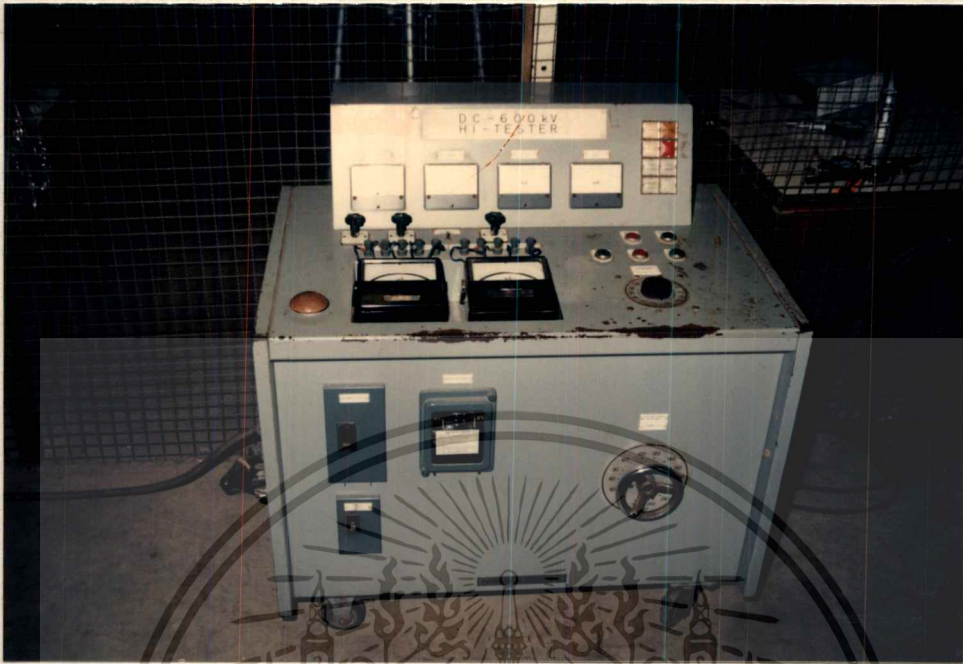
เอกสารนี้เป็นเอกสารที่สงวนไว้สำหรับการใช้งานเพื่อการศึกษาเท่านั้น ไม่อนุญาตให้นำไปใช้ประโยชน์ด้านการค้า  
ไม่ว่ากรณีใดๆทั้งสิ้น อีกทั้งห้ามมิให้ดัดแปลงเนื้อหา และต้องอ้างอิงถึงเจ้าของเอกสารทุกครั้งที่มีการนำไปใช้

### รูปแสดงตัวกรองก๊าซ (FILTER)



เอกสารนี้เป็นเอกสารที่สงวนไว้สำหรับการใช้งานเพื่อการศึกษาเท่านั้น ไม่อนุญาตให้นำไปใช้ประโยชน์ด้านการค้า  
ไม่ว่ากรณีใดๆทั้งสิ้น อีกทั้งห้ามมิให้ตัดแปลงเนื้อหา และต้องอ้างอิงถึงเจ้าของเอกสารทุกครั้งที่มีการนำไปใช้

## รูปแสดงเครื่องควบคุม DC HIGH VOLTAGE GENERATOR



รูปแสดง GALVANOMETER ที่ใช้ในการวัด



เอกสารนี้เป็นเอกสารที่สงวนไว้สำหรับการใช้งานเพื่อการศึกษาเท่านั้น ไม่อนุญาตให้นำไปใช้ประโยชน์ด้านการค้า  
ไม่ว่ากรณีใดๆทั้งสิ้น อีกทั้งห้ามมิให้ตัดแปลงเนื้อหา และต้องอ้างอิงถึงเจ้าของเอกสารทุกครั้งที่มีการนำไปใช้

## รูปแสดง DC HIGH VOLTAGE GENERATOR



เอกสารนี้เป็นเอกสารที่สงวนไว้สำหรับการใช้งานเพื่อการศึกษาเท่านั้น ไม่อนุญาตให้นำไปใช้ประโยชน์ด้านการค้า  
ไม่ว่ากรณีใดๆทั้งสิ้น อีกทั้งห้ามมิให้ดัดแปลงเนื้อหา และต้องอ้างอิงถึงเจ้าของเอกสารทุกครั้งที่มีการนำไปใช้



เอกสารนี้เป็นเอกสารที่สงวนไว้สำหรับการใช้งานเพื่อการศึกษาเท่านั้น ไม่อนุญาตให้นำไปใช้ประโยชน์ด้านการค้า  
ไม่ว่ากรณีใดๆทั้งสิ้น อีกทั้งห้ามมิให้ดัดแปลงเนื้อหา และต้องอ้างอิงถึงเจ้าของเอกสารทุกครั้งที่มีการนำไปใช้

การคำนวณหาแรงดันที่เริ่มเกิดการเบรคความในก๊าซซีเลียม

สูตรที่ใช้ในการคำนวณหาแรงดันที่เริ่มเกิดการเบรคความในก๊าซซีเลียม คือ

$$U_b = \left[ \frac{Bpd}{\ln \frac{Apd}{\ln(1/\Gamma + 1)}} \right]$$

เมื่อ  $U_b$  คือ แรงดันที่เริ่มเกิดการเบรคความ  
 $A$  และ  $B$  เป็นค่าคงตัวของก๊าซแต่ละชนิด (ซึ่งแสดงค่าไว้ตามตาราง  
 ที่ 3.1)  
 $P$  คือ ความดัน  
 $d$  คือ ระยะห่างระหว่างอิเล็กโตรด  
 $\Gamma$  คือ สัมประสิทธิ์การไอออเนชันที่สองทั้งหมด  
 (สำหรับในก๊าซซีเลียมมีค่าเท่ากับ 0.01)

ตัวอย่างการคำนวณหาแรงดันเบรคความในก๊าซซีเลียม ที่ความดัน ( $p$ ) เท่ากับ 100, 200  
 และ 300 Torr และมีระยะห่างระหว่างอิเล็กโตรด ( $d$ ) เท่ากับ 0.3 และ 0.9 cm

1. ต้องการหาแรงดันที่เริ่มเกิดการเบรคความในก๊าซซีเลียมที่ความดันเท่ากับ 100 Torr  
 และมีระยะห่างอิเล็กโตรดเท่ากับ 0.3 cm.

จากสูตร

$$U_b = \left[ \frac{Bpd}{\ln \frac{Apd}{\ln(1/\Gamma + 1)}} \right]$$

A และ B เป็นค่าคงตัวของก๊าซจากตารางที่ 3.1 จะมีค่าเท่ากับ  $3 \text{ cm}^{-1} \text{ Torr}^{-1}$  และ  $25 \text{ V cm}^{-1} \text{ Torr}^{-1}$  ตามลำดับ และจากโจทย์ที่กำหนดให้  $p$  มีค่าเท่ากับ  $100 \text{ Torr}$  และ  $d$  มีค่าเท่ากับ  $0.3 \text{ cm}$ . ค่าแกมมา ( $\Gamma$ ) ในก๊าซซีเลียมมีค่าเท่ากับ  $0.01$  เมื่อนำค่าต่าง ๆ แทนในสูตรจะได้

$$U_b = [25 \times 100 \times 0.3] / \ln (3 \times 100 \times 0.3 / \ln (1/0.01+1))$$

$$U_b = 252.49 \text{ V}$$

ดังนั้นแรงดันที่เริ่มเกิดการเบรคความในก๊าซซีเลียมที่  $p = 100 \text{ Torr}$  และ  $d = 0.3 \text{ cm}$ . จะเท่ากับ  $252.49 \text{ V}$  ทำเป็น  $\text{kV}$  โดยหารด้วย  $1,000$  จะได้เท่ากับ  $0.25 \text{ kV}$

2. ต้องการหาแรงดันที่เริ่มเกิดการเบรคความในก๊าซซีเลียมที่ความดันเท่ากับ  $200 \text{ Torr}$  และมีระยะห่างระหว่างอิเล็กโตรดเท่ากับ  $0.3 \text{ cm}$ .

จากสูตร

$$U_b = \left[ \frac{Bpd}{\ln \frac{Apd}{\ln(1/\Gamma + 1)}} \right]$$

A และ B เป็นค่าคงตัวของก๊าซจากตารางที่ 3.1 จะมีค่าเท่ากับ  $3 \text{ cm}^{-1} \text{ Torr}^{-1}$  และ  $25 \text{ V cm}^{-1} \text{ Torr}^{-1}$  ตามลำดับ และจากโจทย์ที่กำหนดให้  $p$  จะมีค่าเท่ากับ  $200 \text{ Torr}$  และ  $d$  มีค่าเท่ากับ  $0.3 \text{ cm}$ . ค่าแกมมา ( $\Gamma$ ) ในก๊าซซีเลียมมีค่าเท่ากับ  $0.01$  เมื่อนำค่าต่าง ๆ แทนในสูตรจะได้

$$U_b = [25 \times 200 \times 0.3] / \ln (3 \times 200 \times 0.3 / \ln (1/0.01+1))$$

$$U_b = 409.43 \text{ V}$$

ดังนั้นแรงดันที่เริ่มเกิดการเบรคความในก๊าซซีเลียมที่  $p = 100 \text{ Torr}$  และ  $d = 0.3 \text{ cm}$ . จะเท่ากับ  $409.43 \text{ V}$  ทำเป็น  $\text{kV}$  โดยหารด้วย  $1,000$  จะได้เท่ากับ  $0.41 \text{ kV}$

3. ต้องการหาแรงดันที่เริ่มเกิดการเบรคความในก๊าซซีเลียมที่ความดันเท่ากับ  $300 \text{ Torr}$  และมีระยะห่างระหว่างอิเล็กโตรดเท่ากับ  $0.3 \text{ cm}$ .

จากสูตร

$$U_b = \left[ \frac{Bpd}{\ln \frac{Apd}{\ln(1/\Gamma + 1)}} \right]$$

A และ B เป็นค่าคงตัวของก๊าซจากตารางที่ 3.1 จะมีค่าเท่ากับ  $3 \text{ cm}^{-1} \text{ Torr}^{-1}$  และ  $25 \text{ V cm}^{-1} \text{ Torr}^{-1}$  ตามลำดับ และจากโจทย์ที่กำหนดให้ p จะมีค่าเท่ากับ 300 Torr และ d มีค่าเท่ากับ 0.3 cm. ค่าแกมมา ( $\Gamma$ ) ในก๊าซซีเลียมมีค่าเท่ากับ 0.01 เมื่อนำค่าต่าง ๆ แทนในสูตรจะได้

$$U_b = [25 \times 300 \times 0.3] / \ln (3 \times 300 \times 0.3 / \ln (1/0.01+1))$$

$$U_b = 552.95 \text{ V}$$

ดังนั้นแรงดันที่เริ่มเกิดการเบรคควาน์ในก๊าซซีเลียมที่  $p = 100 \text{ Torr}$  และ  $d = 0.3 \text{ cm}$ . จะเท่ากับ 552.95 V ทำเป็น kV โดยหารด้วย 1,000 จะได้เท่ากับ 0.55 kV

4. ต้องการหาแรงดันที่เริ่มเกิดการเบรคควาน์ในก๊าซซีเลียมที่ความดันเท่ากับ 100 Torr และ มีระยะห่างระหว่างอิเล็กโตรดเท่ากับ 3.9 cm.

จากสูตร

$$U_b = \left[ \frac{Bpd}{\ln \frac{Apd}{\ln(1/\Gamma + 1)}} \right]$$

A และ B เป็นค่าคงตัวของก๊าซจากตารางที่ 3.1 จะมีค่าเท่ากับ  $3 \text{ cm}^{-1} \text{ Torr}^{-1}$  และ  $25 \text{ V cm}^{-1} \text{ Torr}^{-1}$  ตามลำดับ และจากโจทย์ที่กำหนดให้ p จะมีค่าเท่ากับ 100 Torr และ d มีค่าเท่ากับ 3.9 cm. ค่าแกมมา ( $\Gamma$ ) ในก๊าซซีเลียมมีค่าเท่ากับ 0.01 เมื่อนำค่าต่าง ๆ แทนในสูตรจะได้

$$U_b = [25 \times 100 \times 3.9] / \ln (3 \times 100 \times 3.9 / \ln (1/0.01+1))$$

$$U_b = 1761.38 \text{ V}$$

ดังนั้นแรงดันที่เริ่มเกิดการเบรคควาน์ในก๊าซซีเลียมที่  $p = 100 \text{ Torr}$  และ  $d = 3.9 \text{ cm}$ . จะเท่ากับ 1761.38 V ทำเป็น kV โดยหารด้วย 1,000 จะได้เท่ากับ 1.76 kV

5. ต้องการหาแรงดันที่เริ่มเกิดการเบรคความในก๊าซซีเลียมที่ความดันเท่ากับ 200 Torr และมีระยะห่างระหว่างอิเล็กโตรดเท่ากับ 3.9 cm.

จากสูตร

$$U_b = \left[ \frac{Bpd}{\ln \frac{Apd}{\ln(1/\Gamma + 1)}} \right]$$

A และ B เป็นค่าคงตัวของก๊าซจากตารางที่ 3.1 จะมีค่าเท่ากับ  $3 \text{ cm}^{-1} \text{ Torr}^{-1}$  และ  $25 \text{ V cm}^{-1} \text{ Torr}^{-1}$  ตามลำดับ และจากโจทย์ที่กำหนดให้ p จะมีค่าเท่ากับ 200 Torr และ d มีค่าเท่ากับ 3.9 cm. ค่าแกมมา ( $\Gamma$ ) ในก๊าซซีเลียมมีค่าเท่ากับ 0.01 เมื่อนำค่าต่าง ๆ แทนในสูตรจะได้

$$U_b = [25 \times 200 \times 3.9] / \ln (3 \times 200 \times 3.9 / \ln (1/0.01+1))$$

$$U_b = 3130.74 \text{ V}$$

ดังนั้นแรงดันที่เริ่มเกิดการเบรคความในก๊าซซีเลียมที่  $p = 200 \text{ Torr}$  และ  $d = 3.9 \text{ cm}$ . จะเท่ากับ 3130.74 V ทำเป็น kV โดยหารด้วย 1,000 จะได้เท่ากับ 3.13 kV

6. ต้องการหาแรงดันที่เริ่มเกิดการเบรคความในก๊าซซีเลียมที่ความดันเท่ากับ 300 Torr และมีระยะห่างระหว่างอิเล็กโตรดเท่ากับ 3.9 cm.

จากสูตร

$$U_b = \left[ \frac{Bpd}{\ln \frac{Apd}{\ln(1/\Gamma + 1)}} \right]$$

A และ B เป็นค่าคงตัวของก๊าซจากตารางที่ 3.1 จะมีค่าเท่ากับ  $3 \text{ cm}^{-1} \text{ Torr}^{-1}$  และ  $25 \text{ V cm}^{-1} \text{ Torr}^{-1}$  ตามลำดับ และจากโจทย์ที่กำหนดให้ p จะมีค่าเท่ากับ 300 Torr และ d มีค่าเท่ากับ 3.9 cm. ค่าแกมมา ( $\Gamma$ ) ในก๊าซซีเลียมมีค่าเท่ากับ 0.01 เมื่อนำค่าต่าง ๆ แทนในสูตรจะได้

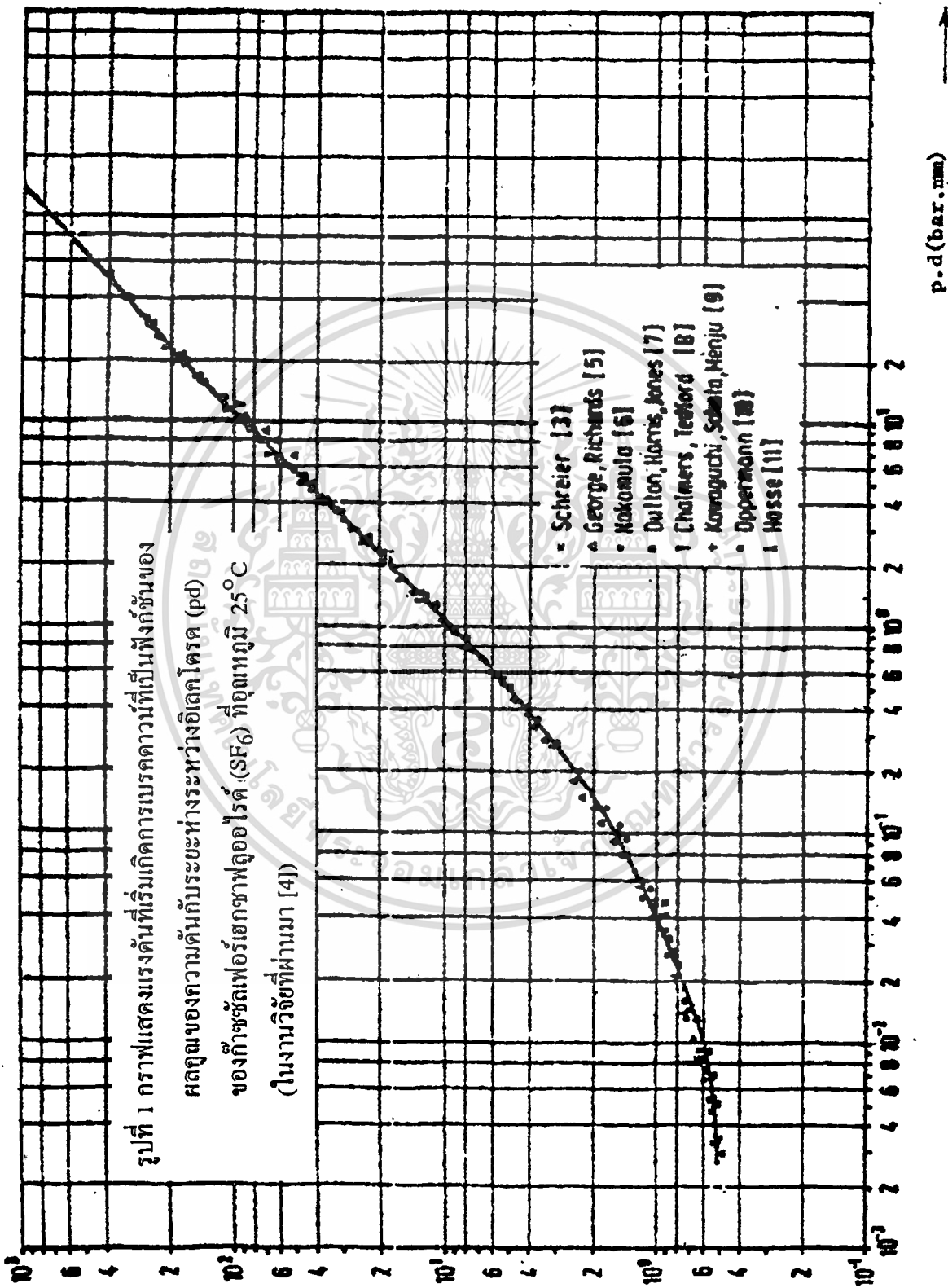
$$U_b = [25 \times 300 \times 3.9] / \ln (3 \times 300 \times 3.9 / \ln (1/0.01+1))$$

$$U_b = 4409.08 \text{ V}$$

คังนั้แรงคั้ที่เร้มเกคการเบรคควาน้ในกั้ชฮีเส้ยมที่  $p = 300 \text{ Torr}$  และ  $d = 3.9 \text{ cm}$ . จะเท่ากั้  $4409.08 \text{ V}$  ทำเป้น  $\text{kV}$  โดยหารคั้ด้วย  $1,000$  จะได้เท่ากั้  $4.41 \text{ kV}$



เอกสารนี้เป้นเอกสารที่สงวนไว้สำหรับการใช้งานเพื่อการศึกษาเท่านั้น ไม่อนุญาตให้นำไปใช้ประโยชน์ด้านการค้า  
ไม่ว่ากรณีใดๆทั้งสิ้น อีกทั้งห้ามมิให้ดัดแปลงเนื้อหา และต้องอ้างอิงถึงเจ้าของเอกสารทุกครั้งที่มีการนำไปใช้



รูปที่ 1 กราฟแสดงแรงดันที่เริ่มเกิดการบรรเทาตัวที่เป็นฟังก์ชันของผลคูณของความดันกับระยะห่างของไอเดค ไตรด (pd) ของก๊าซซัลเฟอร์เฮกซะฟลูออไรด์ (SF<sub>6</sub>) ที่อุณหภูมิ 25°C (ในงานวิจัยที่ผ่านมา [4])

เอกสารนี้เป็นเอกสารที่ <sup>u</sup>b สำหรับการใช้งานเพื่อการศึกษาเท่านั้น ไม่อนุญาตให้นำไปใช้ประโยชน์ด้านการค้า ไม่ว่ากรณีใดๆทั้งสิ้น อีกทั้งห้ามมิให้ตัดแปลงเนื้อหา และต้องอ้างอิงถึงเจ้าของเอกสารทุกครั้งที่มีการนำไปใช้

การทดสอบด้วยไฟฟ้าแรงสูงแบบกระแสตรงของ IEEE  
(Tests with Direct Voltage)

2.1 ข้อกำหนดในการทดสอบด้วยไฟฟ้าแรงสูงแบบกระแสตรง (Requirements of direct voltage tests)

ข้อกำหนดของแรงดันทดสอบ (Requirements of direct voltage tests) แรงดันทดสอบที่ป้อนให้แก่วัสดุทดสอบจะต้องเป็นแรงดันแบบกระแสตรงที่มีค่า ripple factor ไม่เกิน 5 % ยกเว้นจะมีการกำหนดตามมาตรฐานของอุปกรณ์ทดสอบต่างหาก และจะต้องคำนึงด้วยว่าเมื่อติดตั้งอุปกรณ์ทดสอบในวงจรทดสอบแล้ว จะมีผลต่อค่า ripple factor

2.2 ปริมาณที่ต้องทำการวัด, ความละเอียดในการวัด และข้อกำหนดของระบบการวัด

(Quantities to be measured, Accuracies required and Requirement of the measuring systems)

ปริมาณที่ต้องทำการวัดในการทดสอบด้วยไฟฟ้าแรงสูงกระแสตรงประกอบด้วย

- ค่าเฉลี่ยของแรงดันทดสอบ (mean value of the test voltage) ซึ่งจะต้องผิดพลาดไม่เกิน 3 %
- ขนาด peak-to-peak voltage ซึ่งจะต้องผิดพลาดไม่เกิน 10% ของขนาด ripple จริง หรือไม่เกิน 1 % ของค่าเฉลี่ยของแรงดันทดสอบ

ส่วนรายละเอียดของการวัดจะขึ้นอยู่กับระบบที่ทดสอบ โดยในตอนติดตั้งระบบการวัดจะต้องแสดงถึงรายละเอียดต่อไปนี้ของระบบคือ

1) ค่าสเกลแฟกเตอร์และช่วงการใช้งานอย่างถูกต้องของค่าดังกล่าว ค่าสเกลแฟกเตอร์ (Scale factors) ของระบบคือค่าแฟกเตอร์ตัวคูณซึ่งใช้คูณกับค่าเอาต์พุตที่อ่านได้เพื่อแสดงให้เห็นถึงอินพุตที่ป้อนให้แก่ระบบ โดยค่าแฟกเตอร์นี้อาจเป็นค่าคงที่ที่ค่าหนึ่งหรือแสดงเป็นช่วงความถี่ก็ได้

2) คุณสมบัติการตอบสนองของระบบ (Response characteristics) ซึ่งจะขึ้นอยู่กับชนิดของแรงดันหรือกระแสที่จะทำการวัด

3) อิทธิพลของวัตถุข้างเคียง ต่อสเกลแฟกเตอร์และต่อระบบการตอบสนองไม่ว่าวัตถุข้างเคียงจะอยู่ในสภาพที่ถูกกราวด์ (grounded) หรือถูก energized หรือกำลังนำกระแสค่าสูงๆอยู่ที่ตามทั้งนี้ระบบการวัดยังต้องบ่งบอกระยะปลอดภัยต่ำสุด (minimum clearance) ของวัตถุข้างเคียงด้วย

4) ผลของขนาดและช่วงการทำงานของแรงดัน และกระแสที่ป้อนให้แก่ระบบรวมทั้งสถานะแวดล้อมขณะทำการทดลองและความสกปรกของผิวหน้าวัสดุทดสอบ (surface ประโยชน์ด้านการค้าไม่ว่ากรณีใดๆทั้งสิ้น อีกทั้งห้ามมิให้ดัดแปลงเนื้อหา และต้องอ้างอิงถึงเจ้าของเอกสารทุกครั้งที่มีการนำไปใช้

contamination) ต่อคุณสมบัติที่วัดได้ของระบบ

5) ความสามารถของระบบการวัดในการทำงานที่ค่ากระแสและแรงดันพิกัดสูงสุดนอกจากนี้ในขณะที่ทำการทดลอง Performance tests ยังต้องบ่งบอกถึงข้อต่อไปนี

ก) อัตราส่วนแรงดันของตัวแบ่งระดับแรงดัน (Voltage ratio of the voltage divider) หรือค่าอิมพีแดนซ์ที่ใช้กับแรงดันสูง (High Voltage measuring impedance) ซึ่งต้องผิดพลาดไม่เกิน 1%

ข) ค่ากระแสที่ถูกดึงโดยตัวแบ่งระดับแรงดันหรืออิมพีแดนซ์แรงดันสูง ต้องไม่น้อยกว่า 0.05 มิลลิแอมป์

ค) คุณสมบัติการตอบสนองความถี่ของระบบที่ใช้วัดค่าแรงดัน ripple จะต้องถูกต้องแม่นยำเพียงพอในช่วง 10 % สำหรับการใช้งานที่ความถี่ตั้งแต่ความถี่มูลฐาน (fundamental frequency) ของแรงดัน ripple จนกระทั่งถึงความถี่ 5 เท่า ของความถี่มูลฐาน

## 2.3 ขบวนการในการทดสอบ (Test procedures )

### 2.3.1 การทดสอบช่วงระยะสั้น (Rated withstand voltage tests)

กระทำได้โดยการป้อนแรงดันแก่อุปกรณ์ทดสอบ โดยค่าแรงดันเริ่มแรกจะต้องมีค่าต่ำเพียงพอที่จะไม่ทำให้เกิดแรงดันเกิน (overvoltage) อันเนื่องมาจากการ switching transients หลังจากนั้นจึงค่อย ๆ เพิ่มแรงดันขึ้นอย่างช้า ๆ ขนาดที่กำหนดให้สามารถอ่านค่าที่วัด ได้อย่างละเอียดตามต้องการแต่การเพิ่มแรงดันอย่างช้า ๆ นี้ต้องไม่ทำให้ความเครียดของอุปกรณ์ทดสอบที่ระดับแรงดันทดสอบนานเกินความจำเป็น ซึ่งโดยปกติแล้วที่แรงดันเกิน 70 % ของแรงดันสุดท้ายที่ประมาณไว้จะนิยมเพิ่มแรงดันขึ้นด้วยอัตรา 2 % ของแรงดันทดสอบต่อวินาที และจะต้องรักษาระดับแรงดันนั้นไว้ประมาณ 1 นาที ถ้าวัสดุทดสอบสามารถทนทานระดับแรงดันนั้นได้โดยไม่เกิดการดิสชาร์จแบบ disruptive ขึ้นก็แสดงว่าวัสดุทดสอบนั้นผ่านการทดสอบช่วงระยะเวลาสั้น

### 2.3.2 การทดสอบแรงดันดิสชาร์จแบบ disruptive ที่แน่นอน (Assured disruptive discharge voltage tests)

เป็นการทดสอบค่าแรงดันดิสชาร์จแบบ disruptive ที่เกิดขึ้นจริงโดยขบวนการทดสอบก็เช่นเดียวกับการทดสอบช่วงระยะสั้น แต่ทำการเพิ่มแรงดันจนกระทั่งเกิดการดิสชาร์จแบบ disruptive ขึ้นที่วัสดุทดสอบ ก็จะได้แรงดันที่ทำให้เกิดการดิสชาร์จแบบ disruptive ที่แน่นอนตามต้องการ

## 2.4 ข้อควรระวังและที่อาจทำให้เกิดความผิดพลาดในการทดสอบ (Precautions and possible source of error )

1) เมื่อทำการทดสอบด้วยความต้านทานสูง ๆ โดยใช้แรงดันกระแสตรงควรระวัง  
เอกสารนี้เป็นเอกสารที่สงวนไว้สำหรับการใช้งานเพื่อการศึกษาเท่านั้น เมื่อนำไปใช้โดยไม่ได้รับอนุญาต  
ไม่ว่ากรณีใดๆทั้งสิ้น อีกทั้งห้ามมิให้ตัดแปลงเนื้อหา และต้องอ้างอิงถึงเจ้าของเอกสารทุกครั้งที่มีการนำไปใช้

ข้อผิดพลาดอันเนื่องมาจากกระแสโคโรน่า หรือกระแสรั่ว (leakage currents) ที่เกิดคร่อมผิวหน้าฉนวนที่สกปรกหรือชื้นได้ ดังนั้นในการทดสอบจึงควรใช้อิเล็กโตรดที่กลมมนที่สุด และผิวหน้าราบเรียบที่สุดเท่าที่จะเป็นไปได้

2) ข้อผิดพลาดในการทดสอบอาจจะมีผลเนื่องมาจากคุณสมบัติของตัวต้านทาน ซึ่งมักจะมีค่าความผิดพลาดไปบ้างที่ระดับแรงดันหรืออุณหภูมิทดสอบสูง ๆ หรือเนื่องมาจากเครื่องมือที่ใช้วัดเมื่อมีกระแสสูง ๆ ไหลผ่าน

3) สำหรับ Generating voltmeter และ Electrostatic voltmeter นั้นอาจจะมีข้อผิดพลาดอันเนื่องมาจากการ distortion ของสนามไฟฟ้าไปในอากาศหรือไปตามผิวหน้าของวัตถุฉนวนซึ่งจะมีค่าเพิ่มขึ้นตามประจุไฟฟ้าสถิตย์ที่เกิดขึ้น



## COMMISSION ÉLECTROTECHNIQUE INTERNATIONALE

(affiliée à l'Organisation Internationale de Normalisation — ISO)

RECOMMANDATION DE LA C.E.I.

## INTERNATIONAL ELECTROTECHNICAL COMMISSION

(affiliated to the International Organization for Standardization — ISO)

I. E. C. RECOMMENDATION

Publication 52

Deuxième édition — Second edition

1960

Recommandations pour la mesure des tensions  
 au moyen d'éclateurs à sphères (une sphère à la terre)

Recommendations for voltage measurement  
 by means of sphere-gaps (one sphere earthed)



Droits de reproduction réservés — Copyright - all rights reserved

Bureau Central de la Commission Electrotechnique Internationale

1, rue de Varembé  
Genève, Suisse

เอกสารนี้เป็นเอกสารที่สงวนไว้สำหรับการใช้งานเพื่อการศึกษาเท่านั้น ไม่อนุญาตให้นำไปใช้ประโยชน์ด้านการค้า  
 ไม่ว่ากรณีใดๆทั้งสิ้น อีกทั้งห้ามมิให้ดัดแปลงเนื้อหา และต้องอ้างอิงถึงเจ้าของเอกสารทุกครั้งที่มีการนำไปใช้

## CONTENTS

	Page
FOREWORD . . . . .	5
PREFACE . . . . .	5
Clause	
1. <i>Scope and Object</i> . . . . .	9
2. <i>Standard sphere-gap</i> . . . . .	9
2.1 Requirements for the spheres . . . . .	9
2.2 Construction of the shanks of the spheres . . . . .	11
2.3 Height of the spheres above the horizontal earth plane . . . . .	13
2.4 Clearance round the spheres . . . . .	13
2.5 Clearance round the spheres (table) . . . . .	13
3. <i>Connection of the sphere-gap</i> . . . . .	15
3.1 Earthing . . . . .	15
3.2 High-voltage conductor . . . . .	15
3.3 Protective series resistance in the measurement of alternating and direct voltages . . . . .	15
3.4 Protective series resistance in the measurement of impulse voltages . . . . .	17
4. <i>The use of the sphere-gap</i> . . . . .	17
4.1 Irradiation . . . . .	17
4.2 Voltage measurements . . . . .	17
5. <i>Sphere-gap disruptive discharge voltages</i> . . . . .	19
5.1 Numerical values in the tables . . . . .	19
5.2 Accuracy of the tables . . . . .	21
5.3 Influence of atmospheric conditions . . . . .	21
Appendix A — Range of experimental calibrations . . . . .	25
Appendix B — Procedure by which the values in Tables I and II have been derived from National Standards and other sources . . . . .	27
Table I . . . . .	29
Table II . . . . .	33

## INTERNATIONAL ELECTROTECHNICAL COMMISSION

RECOMMENDATIONS FOR VOLTAGE MEASUREMENT  
BY MEANS OF SPHERE-GAPS (ONE SPHERE EARTHED)

## FOREWORD

- 1) The formal decisions or agreements of the I.E.C. on technical matters, prepared by Technical Committees on which all the National Committees having a special interest therein are represented, express, as nearly as possible, an international consensus of opinion on the subjects dealt with.
- 2) They have the form of recommendations for international use and they are accepted by the National Committees in that sense.
- 3) In order to promote this international unification, the I.E.C. expresses the wish that all National Committees having as yet no national rules, when preparing such rules, should use the I.E.C. recommendations as the fundamental basis for these rules in so far as national conditions will permit.
- 4) The desirability is recognized of extending international agreement on these matters through an endeavour to harmonize national standardization rules with these recommendations in so far as national conditions will permit. The National Committees pledge their influence towards that end.

## PREFACE

The work of revising the first edition of I.E.C. Publication 52, which was issued in 1935, was commenced before the War, but was not resumed until 1954, when a draft prepared in 1939 was discussed at a meeting held in London of Sub-Committee 36-3: High Voltage Tests.

As a result of this meeting a new draft was circulated which was discussed in Paris in 1955. Work was then taken over by the newly-formed Technical Committee No. 42: High Voltage Testing Techniques, and successive drafts were discussed at Munich in 1956 and Stockholm in 1958. The Stockholm meeting resulted in a final draft being submitted to the National Committee for approval under the Six Months' Rule in December 1958.

The following National Committees voted explicitly in favour of publication:

Austria	Norway
Belgium	Poland
Canada	Sweden
Czechoslovakia	Switzerland
Denmark	Turkey
Finland	Union of Soviet Socialist Republics
France	United Kingdom
Germany	United States of America
Italy	Yugoslavia
Netherlands	

เอกสารนี้เป็นเอกสารที่สงวนไว้สำหรับการใช้งานเพื่อการศึกษาเท่านั้น ไม่อนุญาตให้นำไปใช้ประโยชน์ด้านการค้า  
ไม่ว่ากรณีใดๆทั้งสิ้น อีกทั้งห้ามมิให้ตัดแปลงเนื้อหา และต้องอ้างอิงถึงเจ้าของเอกสารทุกครั้งที่มีการนำไปใช้

As explained in Appendix B, the present Publication is a compromise which has been accepted by almost all National Committees and is a truly international Publication on the measurement of voltages by means of sphere-gaps. However, the tables are based on calibrations made under conditions which were not always recorded in detail and which may sometimes have departed significantly from those specified in this Publication. The National Committees are therefore asked to verify the calibrations under the conditions laid down in this document so as to provide information which can be taken into account in any revision of the tables.



เอกสารนี้เป็นเอกสารที่สงวนไว้สำหรับการใช้งานเพื่อการศึกษาเท่านั้น ไม่อนุญาตให้นำไปใช้ประโยชน์ด้านการค้า  
ไม่ว่ากรณีใดๆทั้งสิ้น อีกทั้งห้ามมิให้ดัดแปลงเนื้อหา และต้องอ้างอิงถึงเจ้าของเอกสารทุกครั้งที่มีการนำไปใช้

## RECOMMENDATIONS FOR VOLTAGE MEASUREMENT BY MEANS OF SPHERE-GAPS (ONE SPHERE EARTHED)

### 1. SCOPE AND OBJECT

These recommendations concern the construction and use of sphere-gaps for voltage measurement. The rules apply to the measurement of the peak value of:

- a) alternating voltages
- b) full standard impulses as defined in I.E.C. Publication 60 and impulses with longer tails
- c) direct voltages.

The peak values of the disruptive voltages in air for various spacings between the spheres are given in two tables.

Appendix A gives the limits of voltage and frequency over which the tables have been derived from experiments and can be presumed to be accurate within the tolerances specified in Clause 5.2.

Appendix B gives the procedure by which the values in the tables have been derived from previous National Standards and other sources.

### 2. STANDARD SPHERE-GAP

The standard sphere-gap is a peak voltage measuring device constructed and arranged in accordance with the rules in this document. It consists of two metal spheres of the same diameter ( $D$ ) with their shanks, operating gear, insulating supports, supporting frame and leads for connection to the point at which the voltage is to be measured. Standard values of  $D$  are 2 - 5 - 6.25 - 10 - 12.5 - 15 - 25 - 50 - 75 - 100 - 150 and 200 cm. The spacing between the spheres is designated  $S$ .

The points on the two spheres which are closest to each other are called the sparking points. In practice the disruptive discharge may occur between other neighbouring points.

Figures 1 and 2 show two arrangements, one of which is typical of sphere-gaps with a vertical axis and the other of sphere-gaps with a horizontal axis.

#### 2.1 Requirements for the spheres

##### 2.1.1 Tolerances on size and shape

The spheres shall be carefully made so that their surfaces are smooth and their curvature is as uniform as possible.

The requirements on their shapes are as follows:

##### *General Shape*

The diameter of each sphere shall nowhere differ by more than 2% from the nominal value.

### *Freedom from surface irregularities in the region of the sparking point*

The spheres shall be reasonably free from surface irregularities in the region of the sparking point. This region is defined by a circle such as would be drawn on the spheres by a pair of dividers set to an opening of  $0.3 \cdot D$  and centred on the sparking point.

The freedom from surface irregularities is checked by a spherometer of which the feet are between  $0.125 D$  and  $0.25 D$  apart.

The spherometer measures the distance  $h$  of its central point from the plane passing through the three feet of the instrument, which form an equilateral triangle of side  $a$ .

When the three feet and the central point are in contact with a perfectly spherical surface of radius  $\frac{D}{2}$  the following value is obtained for  $h$ :

$$h = \frac{D}{2} - \frac{1}{2} \sqrt{D^2 - \frac{4}{3} a^2}$$

or, with adequate accuracy.

$$h = \frac{D}{3} \left[ \left( \frac{a}{D} \right)^2 + \frac{1}{3} \left( \frac{a}{D} \right)^4 \right]$$

The measured values may differ from the above. When the feet of the spherometer are placed in various positions in the region defined above, the difference between the measured values of  $h$  and the value given in the formula shall nowhere exceed:

0.1 % of the diameter ( $D$ ) if this is less than or equal to 100 cm

0.2 % of the diameter ( $D$ ) if this is greater than 100 cm.

If a spherometer is not available, flat circular gauges may be used for an approximate evaluation of irregularities of the surface.

*Note:* The tolerances on size and shape need usually only be checked in the manner described above when the spheres are first supplied. It will normally be sufficient to make subsequent examinations by feeling the spheres or inspecting them visually.

#### 2.1.2 *State of the surfaces*

The surfaces of the spheres in the neighbourhood of the sparking points shall be free from any trace of varnish, grease, or other protective coating. They shall be clean and dry but need not be polished. If the spheres become excessively roughened or pitted in use they shall be re-burnished or replaced.

*Note:* If the relative humidity of the air exceeds about 90 %, moisture may condense on the surface and the measurements will then cease to be accurate.

## 2.2 Construction of the shanks of the spheres

### 2.2.1 *Vertical gap*

When the spheres are arranged vertically, the shank of the high-voltage sphere shall be free from sharp edges or corners and the diameter of the shank shall not exceed  $0.2 D$  over a length  $D$ . This requirement is made in order to reduce the influence of the high-voltage shank on the disruptive discharge voltage. If a stress distributor is used at the end of the shank its greatest dimension, perpendicular to the axis of the spheres, shall not exceed  $0.5 D$ . Such stress distributors shall be at least  $2 D$  from the sparking point of the high-voltage sphere.

The earthed shank and the operating gear have a smaller effect and their dimensions are therefore less important.

Figure 1 (page 36) gives the limits of size of the components of a typical vertical sphere-gap.

### 2.2.2 Horizontal gap

When the spheres are arranged horizontally the limiting dimensions of a typical sphere-gap are given in Figure 2 (page 37). They are the same for both sides of the gap.

*Note:* The sphere shanks shall be reasonably in line, whichever arrangement of gap be used.

### 2.3 Height of the spheres above the horizontal earth plane

The sphere-gap should be used above a horizontal earth plane such as a conducting network in or on the floor of the laboratory or a conducting surface on the support on which the sphere-gap is placed. The height  $A$  of the sparking point of the high-voltage sphere above such an earth plane shall be within the limits given in the table of Clause 2.5. This requirement applies both to vertical and horizontal gaps.

If the sphere-gap is mounted with the earthed sphere nearest to the ceiling and if other surfaces such as walls and the floor are at a considerably greater distance, then the ceiling may be regarded as the horizontal plane, from which the distance  $A$  is measured downwards.

### 2.4 Clearance round the spheres

The distance from the sparking point of the high-voltage sphere to any extraneous objects (such as walls, ceilings, transformer tanks, bushings, impulse generators, etc.) and also to the supporting framework for the spheres if this is made of conducting material, shall not be less than the value of  $B$  in the table of Clause 2.5. Except as permitted below,  $B$  should not be less than  $2 D$ , regardless of the value of  $S$ .

Supporting frameworks for the spheres made of insulating material are exempt from this stipulation provided that they are clean and dry and that the spheres are used for the measurement of alternating or impulse voltages only. The distance  $B$  between the sparking point of the high-voltage sphere and the framework may then be less than is prescribed in the table of Clause 2.5, but it must not be below  $1.6 D$ .

### 2.5 Clearance round the spheres (table)

Sphere diameter $D$ cm	Minimum value of $A$	Maximum value of $A$	Minimum value of $B$
up to 6.25	$7 D$	$9 D$	$14 S$
10 - 15	$6 D$	$8 D$	$12 S$
25	$5 D$	$7 D$	$10 S$
50	$4 D$	$6 D$	$8 S$
75	$4 D$	$6 D$	$8 S$
100	$3.5 D$	$5 D$	$7 S$
150	$3 D$	$4 D$	$6 S$
200	$3 D$	$4 D$	$6 S$

*Note 1.* The requirements in the above table relate to approved sphere-gaps within the meaning of these recommendations. Sometimes, however, the test conditions render it impossible to make the values of  $A$  and  $B$  comply with the minimum requirements of the table. Such sphere-gaps may also be regarded as approved if it can be demonstrated during systematic tests in the actual testing plant and under the actual test conditions that the disruptive voltages do not significantly deviate from those in these recommendations.

เอกสารนี้เป็นเอกสารที่สงวนไว้สำหรับการใช้งานเพื่อการศึกษาเท่านั้น ไม่อนุญาตให้นำไปใช้ประโยชน์ด้านการค้า  
ไม่ว่ากรณีใดๆทั้งสิ้น อีกทั้งห้ามมิให้ดัดแปลงเนื้อหา และต้องอ้างอิงถึงเจ้าของเอกสารทุกครั้งที่มีการนำไปใช้

*Note 2.* At small sphere-gap spacings earthed objects of small size in the neighbourhood of the gap affect the results insignificantly, but at greater spacings the presence of large areas such as walls, even at the distance  $B$ , have an important effect. The sphere-gap should therefore be erected in an open laboratory with not more than one wall at the distance  $B$  and the other walls at greater distances. The calibrations given in Tables I and II have been based on experiments made under these conditions and they will be seriously in error if the sphere-gap is placed, say, in a cylindrical container of radius  $B$ , except when the spacing is very small.

*Note 3.* For the measurement of very high voltages it may be necessary to increase  $A$  and  $B$  above the minimum values given in the table of Clause 2.5, as these are not always sufficient to prevent disruptive discharge to earthed objects, especially those with sharp edges or corners.

### 3. CONNECTION OF THE SPHERE-GAP

#### 3.1 Earthing

One sphere shall preferably be connected directly to earth, but may be connected through a resistor for special purposes. In the interests of personal safety, however, such resistors should be of very low values.

#### 3.2 High-voltage conductor

The high-voltage conductor, including any series resistor not in the shank itself, shall be connected to a point on the shank at least  $2D$  away from the sparking point of the high-voltage sphere.

Within the region where the distance to the sparking point of the high-voltage sphere is less than  $B$ , the live conductor (including the series resistor if any) must not pass through the plane normal to the axis of the sphere-gap and situated at a distance  $2D$  from the sparking point of the high-voltage sphere: see Figures 1 and 2 where the plane is shown.

#### 3.3 Protective series resistance in the measurement of alternating and direct voltages

Precautions should be taken to minimize pitting of the spheres and to prevent superimposed oscillations which may cause erratic disruptive discharges. For this purpose a resistance of 100 000 ohms to one megohm should be inserted in series with the sphere-gap. This range of resistance values applies to measurements of direct voltages and of alternating voltages at power frequencies. For alternating voltages of higher frequencies, where the effect of the voltage drop in the resistance due to the charging current of the gap may become appreciable, this resistance should be suitably reduced.

The resistor is to be placed as near as possible to the gap, usually in series with the high-voltage sphere. It should not be placed in the common connection from the voltage source to the sphere-gap and to the test object.

When brush discharges are present in the test circuit, series resistance is specially important in order to reduce the effect of the consequent transient over-voltage on the operation of the sphere-gap. When these discharges are not present either in the test circuit or in the test specimen, the resistance may be reduced to a value fixed by the permissible burning of the spheres by disruptive discharges.

เอกสารนี้เป็นเอกสารที่สงวนไว้สำหรับการใช้งานเพื่อการศึกษาเท่านั้น ไม่อนุญาตให้นำไปใช้ประโยชน์ด้านการค้า  
ไม่ว่ากรณีใดๆทั้งสิ้น อีกทั้งห้ามมิให้ดัดแปลงเนื้อหา และต้องอ้างอิงถึงเจ้าของเอกสารทุกครั้งที่มีการนำไปใช้

### 3.4 Protective series resistance in the measurement of impulse voltages

The purpose of the series resistance when measuring impulse voltages is to reduce the rate of voltage chopping, which may introduce undesirable stresses in the test object. Another purpose which is especially applicable to spheres of large diameters is to eliminate oscillations in the sphere-gap circuit which may cause a higher voltage to occur between the spheres than on the test specimen. For spheres of smaller diameter this phenomenon is generally of minor importance.

The value of the resistance should not exceed 500 ohms. It is essential for the reduction of oscillations that it should be of low inductance (not more than 30  $\mu$ H). For the position of the resistor in the circuit see Clause 3.3.

## 4. THE USE OF THE SPHERE-GAP

### 4.1 Irradiation

The disruptive discharge voltage of a sphere-gap is affected by the ionization in the gap between the spheres at the moment of application of the voltage.

The values given in the tables apply to measurements made without irradiation, apart from any random ionization already present, except in

- a) the measurement of voltages below 50 kV peak, whatever the sphere diameter;
- b) the measurement of voltages with spheres of 12.5 cm diameter and less, whatever the voltage.

For measurements under conditions a) and b) extra irradiation is recommended and is sometimes essential if accurate and consistent results are to be obtained. This is of special importance in the measurement of impulse voltages and for all types of voltages when very small spacings are used.

The irradiation may be obtained by a capsule containing radio-active material having an activity of not less than 0.2 millicurie and preferably of about 0.6 millicurie inserted in the high-voltage sphere near the sparking point. Another method is the irradiation of the gap by a quartz tube mercury-vapour lamp having a minimum rating of 35 watts and a current of at least one ampere. The lamp should be placed at about the distance  $B$  given in the table of Clause 2.5 and the light should fall on the sparking points of the spheres.

In the measurement of impulse voltages, the irradiation provided by the discharge in the gaps of the impulse generator has also been found satisfactory.

*Note 1.* The usual precautions should be taken in handling radio-active materials, which should be kept in a lead container except when in actual use.

*Note 2.* One curie is defined as the activity of one gramme of radium, which is equivalent to  $3.7 \cdot 10^{10}$  disintegrated atoms per second.

### 4.2 Voltage measurements

The procedure usually consists in establishing a relation between a high voltage, as measured by the sphere-gap, and the indication of a voltmeter, an oscillograph or other device connected in the control circuit of the equipment.

Unless the contrary can be shown, this relation ceases to be valid if the circuit is altered in any respect other than a slight change of the spacing of the spheres. The voltage measured by the sphere-gap is derived from the spacing.

The procedure in establishing the relation varies with the type of voltage to be measured, as follows:

#### 4.2.1 Measurement of direct and alternating voltages

The voltage shall be applied with an amplitude low enough not to cause disruptive discharge during the switching transient and it is then raised sufficiently slowly for the low-voltage indicator to be read accurately at the instant of disruptive discharge of the gap.

Alternatively, a constant voltage may be applied across the gap and the spacing between the spheres slowly reduced until disruptive discharge occurs.

If there is dust or fibrous material in the air, numerous low and erratic disruptive discharges may occur, especially when direct voltages are being measured, and it may be necessary to carry out a large number of tests before consistent results can be obtained.

The final measurement should be the mean of three successive readings agreeing within 3%.

#### 4.2.2 Measurement of impulse voltages

In order to obtain the 50% disruptive discharge voltage of a sphere-gap, the spacing of the gap, or the charging voltage of the impulse generator, shall be adjusted in steps corresponding to not more than 2% of the expected disruptive discharge value. Six applications of the impulse shall be made at each step. The interval between applications shall not be less than 5 seconds. The value giving 50% probability of disruptive discharge is preferably obtained by interpolation between at least two gap or voltage settings, one resulting in two disruptive discharges or less, and the other in four disruptive discharges or more.

Another, less accurate, method is to adjust the settings until 4 to 6 disruptive discharges are obtained in a series of 10 successive applications.

## 5. SPHERE-GAP DISRUPTIVE DISCHARGE VOLTAGES

### 5.1 Numerical values in the tables

The disruptive discharge voltages for various spacings between the spheres are given in Tables I and II.

Table I gives disruptive voltages (50% values in impulse tests) in kilovolts peak for:

- alternating voltages
- direct voltages of both polarities
- full negative standard impulses as defined in I.E.C. Publication 60 and negative impulses with longer tails.

This table is not valid for the measurement of impulses below about 10 kV.

Table II gives 50% disruptive discharge voltages in kilovolts peak for full positive standard impulses as defined above and positive impulses with longer tails.

*Note 1.* Appendix A gives the range of voltages over which the tables have been derived from experiment and can be presumed to be accurate within the limits given in Clause 5.2.

*Note 2.* The tables may also be used without appreciable additional error for the measurement of impulses having longer than the standard front times.

## 5.2 Accuracy of the tables

### 5.2.1 Alternating and impulse voltages

For spacings up to  $0.5 D$  the tables are considered to be accurate within  $\pm 3\%$ . Values in the tables for spacings between  $0.5 D$  and  $0.75 D$  are regarded as of doubtful accuracy and for that reason are put in brackets.

*Note:* As it may be difficult to measure and adjust the gap with sufficient accuracy if the ratio of spacing to diameter is very small, it is recommended that the spacing should not be less than  $0.05 D$ .

### 5.2.2 Direct voltages

The measurement of direct voltages is generally subject to larger errors than that of alternating or impulse voltages. Such errors are usually caused by dust or fibres in the air. There is also a tendency for abnormally low disruptive discharge values to be obtained if the voltage is maintained for a long time.

It is considered that in the absence of excessive dust the results will be accurate within  $\pm 5\%$  provided that the spacing is not greater than about  $0.4 D$ .

*Note:* As it may be difficult to measure and adjust the gap with sufficient accuracy if the ratio of spacing to diameter is very small, it is recommended that the spacing should not be less than  $0.05 D$ .

## 5.3 Influence of atmospheric conditions

### 5.3.1 Atmospheric conditions valid for the tabulated values

The tabulated values are valid for:

- an ambient temperature of  $20^{\circ}\text{C}$
- an atmospheric pressure of 1 013 millibars (760 mm Hg at  $0^{\circ}\text{C}$ )

### 5.3.2 Correction for air density

Disruptive discharge voltages corresponding to a given spacing under atmospheric conditions other than those specified above are obtained by multiplying the values in Tables I and II by a correction factor  $k$ . This factor is a function of the relative air density  $d$ , defined by:

$$d = \frac{b}{1\ 013} \times \frac{273 \pm 20}{273 \pm t} = 0.289 \times \frac{b}{273 \pm t}$$

where  $b$  is the atmospheric pressure in millibars, and  $t$  the temperature in degrees Centigrade.

If  $b$  is given in mm Hg at  $0^{\circ}\text{C}$ , the formula is replaced by:

$$d = \frac{b}{760} \times \frac{273 \pm 30}{273 \pm t} = 0.386 \times \frac{b}{273 \pm t}$$

The relation between the air density and the correction factor is given in the table of Clause 5.3.3. The correction factor is equal to the relative air density (i.e.  $k = d$ ) for values of  $d$  between 0.95 and 1.05.

### 5.3.3 Air density correction factor (table)

Relative air density $d$	Correction factor $k$
0.70	0.72
0.75	0.77
0.80	0.82
0.85	0.86
0.90	0.91
0.95	0.95
1.00	1.00
1.05	1.05
1.10	1.09
1.15	1.13

### 5.3.4 Humidity

The disruptive discharge voltage of a sphere-gap increases with increasing humidity of the air. The numerical value of the effect is uncertain but it is unlikely to be more than 2 or 3% over the range of humidities normally encountered in laboratories. Because of this uncertainty, no correction factor for humidity can be given at present. In any case, the humidity of the air in the various laboratories where the experimental calibrations were made was not usually recorded.

See Clause 2.1.2 for a note on the danger from condensation of moisture on the surfaces of the spheres.

## APPENDIX A

## RANGE OF EXPERIMENTAL CALIBRATIONS

Tables I and II are partly derived from experiments reported in the references listed below. There is no experimental proof of their accuracy at voltages higher than the values given in the list.

## Experimental calibrations of the sphere-gap

Kind of voltage	Highest voltage kV peak	Reference
<i>Alternating voltage of power frequency</i>	1 700	Transactions A.I.E.E. Vol. 71 (1952), Part III, page 455
<i>Alternating voltage of power frequency</i>	1 400	J.I.E.E. Vol. 82, (1938), page 655
<i>Direct voltage —</i>	800	Zeit. techn. Phys. 18 (1937), page 209
<i>Direct voltage —</i>	1 300	Transactions A.I.E.E. Vol. 71 (1952) Part III, page 455
<i>Impulse voltage —</i>	2 580	E.T.Z. Vol. 60 (1939), page 92 (see Note 1 below)
<i>Impulse voltage —</i>	2 410	J.A.I.E.E. Vol. 46 (1927), page 1 314
<i>Alternating voltage of high frequency</i>	See Note 2 below	Arch. Elektr. Vol. 14 (1924), page 491
<i>Undamped alternating voltage of high frequency</i>		Arch. Elektr. Vol. 24 (1930), page 525
		Arch. Elektr. Vol. 25 (1931), page 322
		Arch. Elektr. Vol. 26 (1932), page 123
<i>Damped alternating voltage of high frequency</i>	idem	Ann. Phys. 19 (1906), page 1 016
		Arch. Elektr. Vol. 16 (1926), page 496
		Arch. Elektr. Vol. 20 (1928), page 99

*Note 1.* This reference contains a summary of the calibrations with damped and undamped high-frequency voltages made over a range of voltages and frequencies up to 1939. The other references in the list give the details of most of these individual calibrations.

*Note 2.* From the information in the references, which is incomplete and sometimes conflicting, it appears that Table I can be used without serious error for the measurement of undamped alternating voltages at frequencies up to 20 kHz(kc.s), but only up to about 15 kV peak. At higher frequencies this voltage is reduced.

The references also show that Table I can be used for the measurement of damped alternating voltages at frequencies up to 500 kHz(kc.s), but again with the restriction that the voltage should not exceed 15 kV peak.

## APPENDIX B

PROCEDURE BY WHICH THE VALUES IN TABLES I AND II  
HAVE BEEN DERIVED FROM NATIONAL STANDARDS AND OTHER SOURCES

At the meeting of Technical Committee No. 42 in Munich in 1956, it was agreed that new tables should be prepared which could be accepted internationally.

Apart from certain exceptions which are noted below, the disruptive discharge voltages in the new tables were to be the mean of:

- 1) the values which were accepted by the I.E.C. in July 1939;
- 2) the values in A.S.A. Standard C 68.1 (1953) (after adjustment for temperature).

The calculation of the mean resulted in a few anomalies; in particular the disruptive discharge voltages of small gaps varied rather irregularly as the sphere diameter was increased.

These anomalies have been removed as far as was possible without introducing other anomalies.

The exceptions mentioned above are listed below:

- 1) No data are given in the A.S.A. Standard for 2, 5, 10 and 15 cm spheres.  
The I.E.C. figures of 1939 for 5, 10 and 15 cm spheres have therefore been included in the present tables without any changes other than the minor adjustments referred to above.
- 2) The figures for 2 cm spheres in the I.E.C. document of 1939, which were not applicable to positive impulses, were later found to be inaccurate at spacings up to 1 cm. A new calibration has therefore been inserted, based on J.I.E.E., vol. 95 (1948), Part II, page 309, but the values are not applicable to the measurement of impulses of either polarity below 10 kV. See Proc. I.E.E., Part II, Vol. 101, (1954), page 438, for evidence on this latter point.
- 3) The I.E.C. data of 1939 for voltages above 1 400 kV are regarded as being less reliable than the most recently measured values in the U.S.A. and these latter have therefore been adopted (see A.S.A. C 68.1, 1953 and Transactions A.I.E.E., vol. 71 (1952), Part III, page 455).

The figures in the tables have been rounded off as follows:

up to 50 kV	to the nearest 0.1 kV
over 50 and up to 100 kV	to the nearest 0.5 kV
over 100 and up to 500 kV	to the nearest 1 kV
over 500 and up to 1 000 kV	to the nearest 5 kV
over 1 000 kV	to the nearest 10 kV

TABLE I

## SPHERE-GAP WITH ONE SPHERE EARTHED

Peak values of disruptive discharge voltages in kilovolts

(50% values for impulse tests):

Valid for: — alternating voltages

— full negative standard impulses and impulses with longer tails

— direct voltages of either polarity.

Atmospheric reference conditions: 20°C and 1 013 millibars (760 mm Hg at 0°C).

Sphere gap spacing cm	Sphere diameter cm											
	2	5	6.25	10	12.5	15	25	50	75	100	150	200
0.05	2.8											
0.10	4.7											
0.15	6.4											
0.20	8.0	8.0										
0.25	9.6	9.6										
0.30	11.2	11.2										
0.40	14.4	14.3	14.2									
0.50	17.4	17.4	17.2	16.8	16.8	16.8						
0.60	20.4	20.4	20.2	19.9	19.9	19.9						
0.70	23.2	23.4	23.2	23.0	23.0	23.0						
0.80	25.8	26.3	26.2	26.0	26.0	26.0						
0.90	28.3	29.2	29.1	28.9	28.9	28.9						
1.0	30.7	32.0	31.9	31.7	31.7	31.7	31.7					
1.2	(35.1)	37.6	37.5	37.4	37.4	37.4	37.4					
1.4	(38.5)	42.9	42.9	42.9	42.9	42.9	42.9					
1.5	(40.0)	45.5	45.5	45.5	45.5	45.5	45.5					
1.6		48.1	48.1	48.1	48.1	48.1	48.1					
1.8		53.0	53.5	53.5	53.5	53.5	53.5					
2.0		57.5	58.5	59.0	59.0	59.0	59.0	59.0	59.0			
2.2		61.5	63.0	64.5	64.5	64.5	64.5	64.5	64.5	64.5		
2.4		65.5	67.5	69.5	70.0	70.0	70.0	70.0	70.0	70.0		
2.6		(69.0)	72.0	74.5	75.0	75.5	75.5	75.5	75.5	75.5		
2.8		(72.5)	76.0	79.5	80.0	80.5	81.0	81.0	81.0	81.0		
3.0		(75.5)	79.5	84.0	85.0	85.5	86.0	86.0	86.0	86.0	86.0	
3.5		(82.5)	(87.5)	95.0	97.0	98.0	99.0	99.0	99.0	99.0	99.0	
4.0		(88.5)	(95.0)	105	108	110	112	112	112	112	112	
4.5			(101)	115	119	122	125	125	125	125	125	
5.0			(107)	123	129	133	137	138	138	138	138	138
5.5				(131)	138	143	149	151	151	151	151	151
6.0				(138)	146	152	161	164	164	164	164	164

Note 1. The tables are not valid for the measurement of impulse voltages below about 10 kV.

Note 2. The figures in brackets, which are for spacings of more than 0.5 D, are of doubtful accuracy.

เอกสารนี้เป็นเอกสารที่สงวนไว้สำหรับการใช้งานเพื่อการศึกษาเท่านั้น ไม่อนุญาตให้นำไปใช้ประโยชน์ด้านการค้า  
ไม่ว่ากรณีใดๆทั้งสิ้น อีกทั้งห้ามมิให้ตัดแปลงเนื้อหา และต้องอ้างอิงถึงเจ้าของเอกสารทุกครั้งที่มีการนำไปใช้

TABLE I (continued)

Sphere gap spacing cm	Sphere diameter cm											
	2	5	6.25	10	12.5	15	25	50	75	100	150	200
6.5				(144)	(154)	161	173	177	177	177	177	
7.0				(150)	(161)	169	184	189	190	190	190	
7.5				(155)	(168)	177	195	202	203	203	203	
8.0					(174)	(185)	206	214	215	215	215	
9.0					(185)	(198)	226	239	240	241	241	
10					(195)	(209)	244	263	265	266	266	266
11						(219)	261	286	290	292	292	292
12						(229)	275	309	315	318	318	318
13							(289)	331	339	342	342	342
14							(302)	353	363	366	366	366
15							(314)	373	387	390	390	390
16							(326)	392	410	414	414	414
17							(337)	411	432	438	438	438
18							(347)	429	453	462	462	462
19							(357)	445	473	486	486	486
20							(366)	460	492	510	510	510
22								489	530	555	560	560
24								515	565	595	610	610
26								(540)	600	635	655	660
28								(565)	635	675	700	705
30								(585)	665	710	745	750
32								(605)	695	745	790	795
34								(625)	725	780	835	840
36								(640)	750	815	875	885
38								(665)	(775)	845	915	930
40								(670)	(800)	875	955	975
45									(850)	945	1050	1080
50									(895)	1010	1130	1180
55									(935)	(1060)	1210	1260
60									(970)	(1110)	1280	1340
65										(1160)	1340	1410
70										(1200)	1390	1480
75										(1230)	1440	1540
80											(1490)	1600
85											(1540)	1660
90											(1580)	1720
100											(1660)	1840
110											(1730)	(1940)
120											(1800)	(2020)
130												(2100)
140												(2180)
150												(2250)

เอกสารนี้เป็นเอกสารที่สงวนไว้สำหรับการใช้งานเพื่อการศึกษาเท่านั้น ไม่อนุญาตให้นำไปใช้ประโยชน์ด้านการค้า  
ไม่ว่ากรณีใดๆทั้งสิ้น อีกทั้งห้ามมิให้ดัดแปลงเนื้อหา และต้องอ้างอิงถึงเจ้าของเอกสารทุกครั้งที่มีการนำไปใช้

TABLE II

## SPHERE-GAP WITH ONE SPHERE EARTHED

Peak values of disruptive discharge voltages in kilovolts (50% values)

Valid for full positive standard impulses and impulses with longer tails.

Atmospheric reference conditions: 20°C and 1 013 millibars (760 mm Hg at 0°C).

Sphere gap spacing cm	Sphere diameter cm											
	2	5	6.25	10	12.5	15	25	50	75	100	150	200
0.05												
0.10												
0.15												
0.20												
0.25												
0.30	11.2	11.2										
0.40	14.4	14.3	14.2									
0.50	17.4	17.4	17.2	16.8	16.8	16.8						
0.60	20.4	20.4	20.2	19.9	19.9	19.9						
0.70	23.2	23.4	23.2	23.0	23.0	23.0						
0.80	25.8	26.3	26.2	26.0	26.0	26.0						
0.90	28.3	29.2	29.1	28.9	28.9	28.9						
1.0	30.7	32.0	31.9	31.7	31.7	31.7	31.7					
1.2	(35.1)	37.8	37.6	37.4	37.4	37.4	37.4					
1.4	(38.5)	43.3	43.2	42.9	42.9	42.9	42.9					
1.5	(40.0)	46.2	45.9	45.5	45.5	45.5	45.5					
1.6		49.0	48.5	48.1	48.1	48.1	48.1					
1.8		54.5	54.0	53.5	53.5	53.5	53.5					
2.0		59.5	59.0	59.0	59.0	59.0	59.0	59.0	59.0			
2.2		64.0	64.0	64.5	64.5	64.5	64.5	64.5	64.5			
2.4		69.0	69.0	70.0	70.0	70.0	70.0	70.0	70.0			
2.6		(73.0)	73.5	75.5	75.5	75.5	75.5	75.5	75.5			
2.8		(77.0)	78.0	80.5	80.5	80.5	81.0	81.0	81.0			
3.0		(81.0)	82.0	85.5	85.5	85.5	86.0	86.0	86.0	86.0		
3.5		(90.0)	(91.5)	97.5	98.0	98.5	99.0	99.0	99.0	99.0	99.0	
4.0		(97.5)	(101)	109	110	111	112	112	112	112		
4.5			(108)	120	122	124	125	125	125	125		
5.0			(115)	130	134	136	138	138	138	138	138	
5.5				(139)	145	147	151	151	151	151	151	151
6.0				(148)	155	158	163	164	164	164	164	164
6.5				(156)	(164)	168	175	177	177	177	177	177
7.0				(163)	(173)	178	187	189	190	190	190	190
7.5				(170)	(181)	187	199	202	203	203	203	203
8.0					(189)	(196)	211	214	215	215	215	215
9.0					(203)	(212)	233	239	240	241	241	241

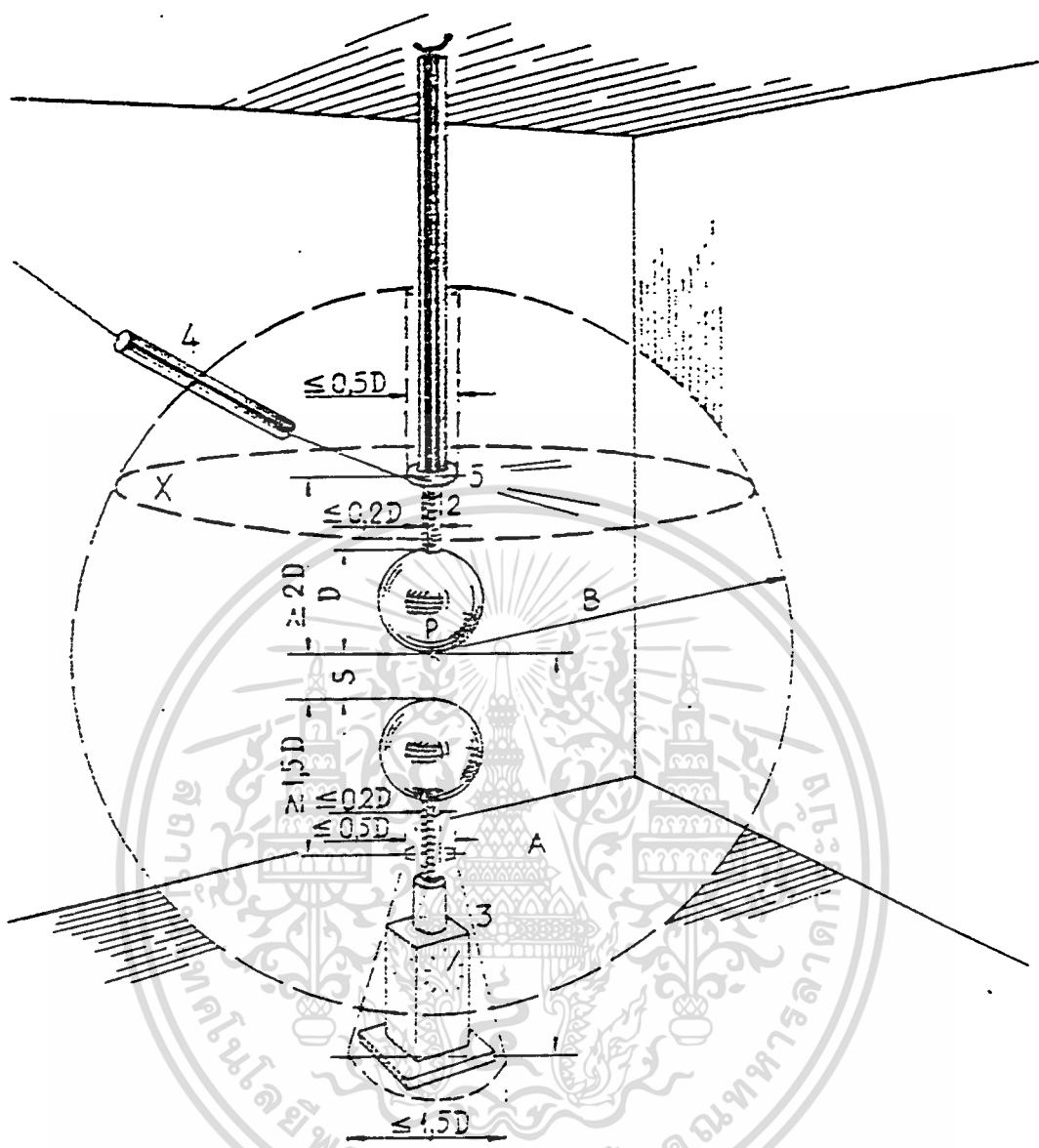
Note: The figures in brackets, which are for spacings of more than 0.5 D, are of doubtful accuracy.

เอกสารนี้เป็นเอกสารที่สงวนไว้สำหรับการใช้งานเพื่อการศึกษาเท่านั้น ไม่อนุญาตให้นำไปใช้ประโยชน์ด้านการค้า  
ไม่ว่ากรณีใดๆทั้งสิ้น อีกทั้งห้ามมิให้ตัดแปลงเนื้อหา และต้องอ้างอิงถึงเจ้าของเอกสารทุกครั้งที่มีการนำไปใช้

TABLE II (continued)

Sphere gap spacing cm	Sphere diameter cm											
	2	5	6.25	10	12.5	15	25	50	75	100	150	200
10					(215)	(226)	254	263	265	266	266	266
11						(238)	273	287	290	292	292	292
12						(249)	291	311	315	318	318	318
13							(308)	334	339	342	342	342
14							(323)	357	363	366	366	366
15							(337)	380	387	390	390	390
16							(350)	402	411	414	414	414
17							(362)	422	435	438	438	438
18							(374)	442	458	462	462	462
19							(385)	461	482	486	486	486
20							(395)	480	505	510	510	510
22								510	545	555	560	560
24								540	585	600	610	610
26								570	620	645	655	660
28								(595)	660	685	700	705
30								(620)	695	725	745	750
32								(640)	725	760	790	795
34								(660)	755	795	835	840
36								(680)	785	830	880	885
38								(700)	(810)	865	925	935
40								(715)	(835)	900	965	980
45									(890)	980	1060	1090
50									(940)	1040	1150	1190
55									(985)	1100	1240	1290
60									(1020)	(1150)	1310	1380
65										(1200)	1380	1470
70										(1240)	1430	1550
75										(1280)	1480	1620
80											(1520)	1690
85											(1580)	1760
90											(1630)	1820
100											(1720)	1930
110											(1790)	(2030)
120											(1860)	(2120)
130												(2200)
140												(2280)
150												(2350)

เอกสารนี้เป็นเอกสารที่สงวนไว้สำหรับการใช้งานเพื่อการศึกษาเท่านั้น ไม่อนุญาตให้นำไปใช้ประโยชน์ด้านการค้า  
ไม่ว่ากรณีใดๆทั้งสิ้น อีกทั้งห้ามมิให้ตัดแปลงเนื้อหา และต้องอ้างอิงถึงเจ้าของเอกสารทุกครั้งที่มีการนำไปใช้



- 1. Support isolant.
- 2. Tige support de la sphere.
- 3. Mécanisme de manœuvre avec dimensions maximales.
- 4. Connexion à haute tension avec résistance en série.
- 5. Electrode de répartition de champ, avec dimensions maximales.
- P. Point d'étincelle de la sphere haute tension.
- A. Hauteur de P au-dessus du plan de terre.
- B. Rayon de l'espace qui doit être dégagé de tout objet étranger.
- X. Plan que les organes du repere 4 ne doivent pas traverser à moins d'une distance B de P.

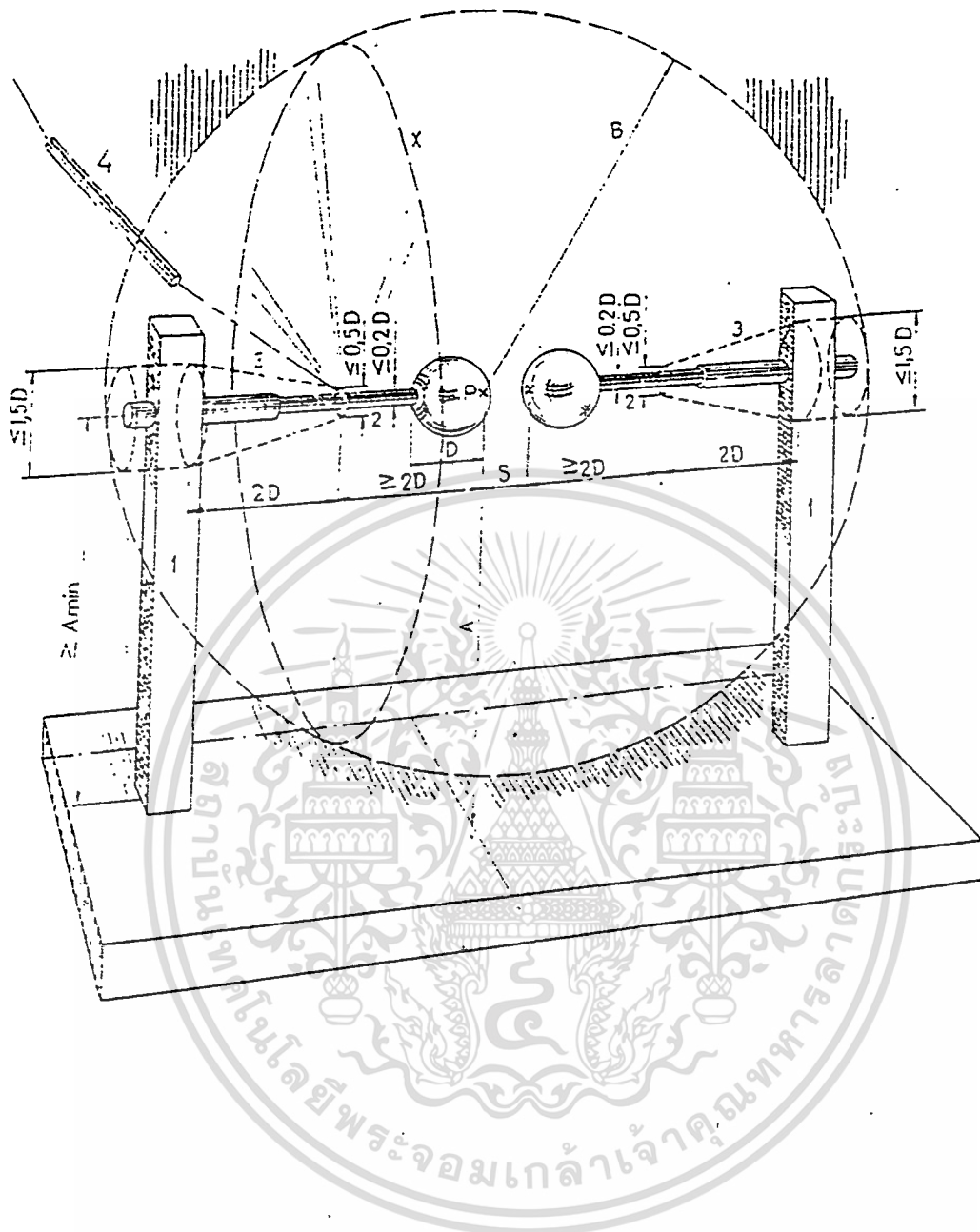
Note: La figure est dessinée à l'échelle pour un éclateur à spheres de 100 cm et un écartement égal au rayon.

- 1. Insulating support.
- 2. Sphere shank.
- 3. Operating gear, showing maximum dimensions.
- 4. High-voltage connection with series resistor.
- 5. Stress distributor, showing maximum dimensions.
- P. Sparking point of high-voltage sphere.
- A. Height of P above earth plane.
- B. Radius of space free from external structures.
- X. Item 4 not to pass through this plane within a distance B from P.

Note. The figure is drawn to scale for a 100 cm sphere-gap at radius spacing.

Fig. 1. Eclateur à sphères vertical.  
Vertical sphere-gap.

เอกสารนี้เป็นเอกสารที่สงวนไว้สำหรับการใช้งานเพื่อการศึกษาเท่านั้น ไม่อนุญาตให้นำไปใช้ประโยชน์ด้านการค้า  
ไม่ว่ากรณีใดๆทั้งสิ้น อีกทั้งห้ามมิให้ดัดแปลงเนื้อหา และต้องอ้างอิงถึงเจ้าของเอกสารทุกครั้งที่มีการนำไปใช้



1. Support isolant.
  2. Tige support de la sphere.
  3. Mécanisme de manoeuvre avec dimensions maximales.
  4. Connexion à haute tension avec résistance en série.
- P. Point d'étincelle de la sphere haute tension.  
 A. Hauteur de P au-dessus du plan de terre.  
 B. Rayon de l'espace qui doit être dégagé de tout objet étranger.  
 X. Plan que les organes du repère 4 ne doivent pas traverser à moins d'une distance B de P.

Note: La figure est dessinée à l'échelle pour un éclateur à sphères de 25 cm et un écartement égal au rayon.

1. Insulating support.
  2. Sphere shank.
  3. Operating gear, showing maximum dimensions.
  4. High-voltage connection with series resistor.
- P. Sparking point of high-voltage sphere.  
 A. Height of P above earth plane.  
 B. Radius of space free from external structures.  
 X. Item 4 not to pass through this plane within a distance B from P.

Note: The figure is drawn to scale for a 25 cm sphere gap at radius spacing.

Fig. 2. Eclateur à sphères horizontales.  
 Horizontal sphere-gap.

เอกสารนี้เป็นเอกสารที่สงวนไว้สำหรับการใช้งานเพื่อการศึกษาเท่านั้น ไม่อนุญาตให้นำไปใช้ประโยชน์ด้านการค้า  
 ไม่ว่าจะกรณีใดๆ ทั้งสิ้น อีกทั้งห้ามมิให้ดัดแปลงเนื้อหา และต้องอ้างอิงถึงเจ้าของเอกสารทุกครั้งที่มีการนำไปใช้

## ประวัติผู้เขียน

ชื่อผู้เขียน	นายณรงค์ชัย สุ่มงาม
วัน/เดือน/ปีเกิด	วันที่ 10 มีนาคม พ.ศ. 2512
สถานที่เกิด	กรุงเทพมหานคร
วุฒิการศึกษาระดับปริญญาตรี	คณะวิศวกรรมศาสตร์สาขาวิศวกรรมไฟฟ้ากำลัง
สถานที่สำเร็จการศึกษา	มหาวิทยาลัยศรีปทุม
ปีที่สำเร็จการศึกษา	ปีการศึกษา 2532
ผลงานทางวิชาการที่ได้รับการตีพิมพ์	1 ระบบสุญญากาศและการทดสอบการบีบ อากาศออกจากแชมเบอร์(Chamber)เสมือน 2 การศึกษาคุณสมบัติของก๊าซในการเป็น ฉนวนไฟฟ้า
รางวัลหรือทุนที่เคยได้รับ	1 ทุนงบประมาณแผ่นดิน 2 ทุนสนับสนุนการทำวิทยานิพนธ์
ประสบการณ์การทำงาน	พนักงาน บริษัทแสงสุวรรณ จำกัด